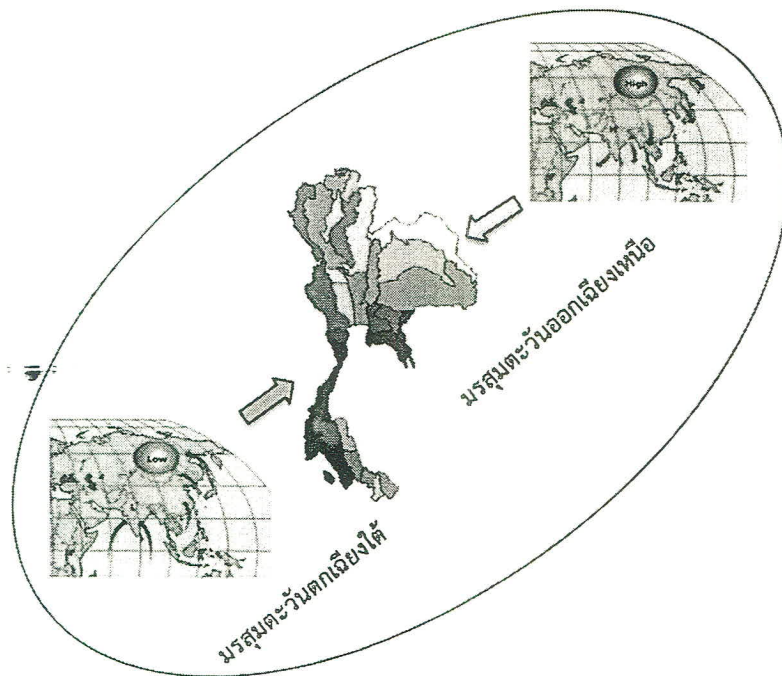


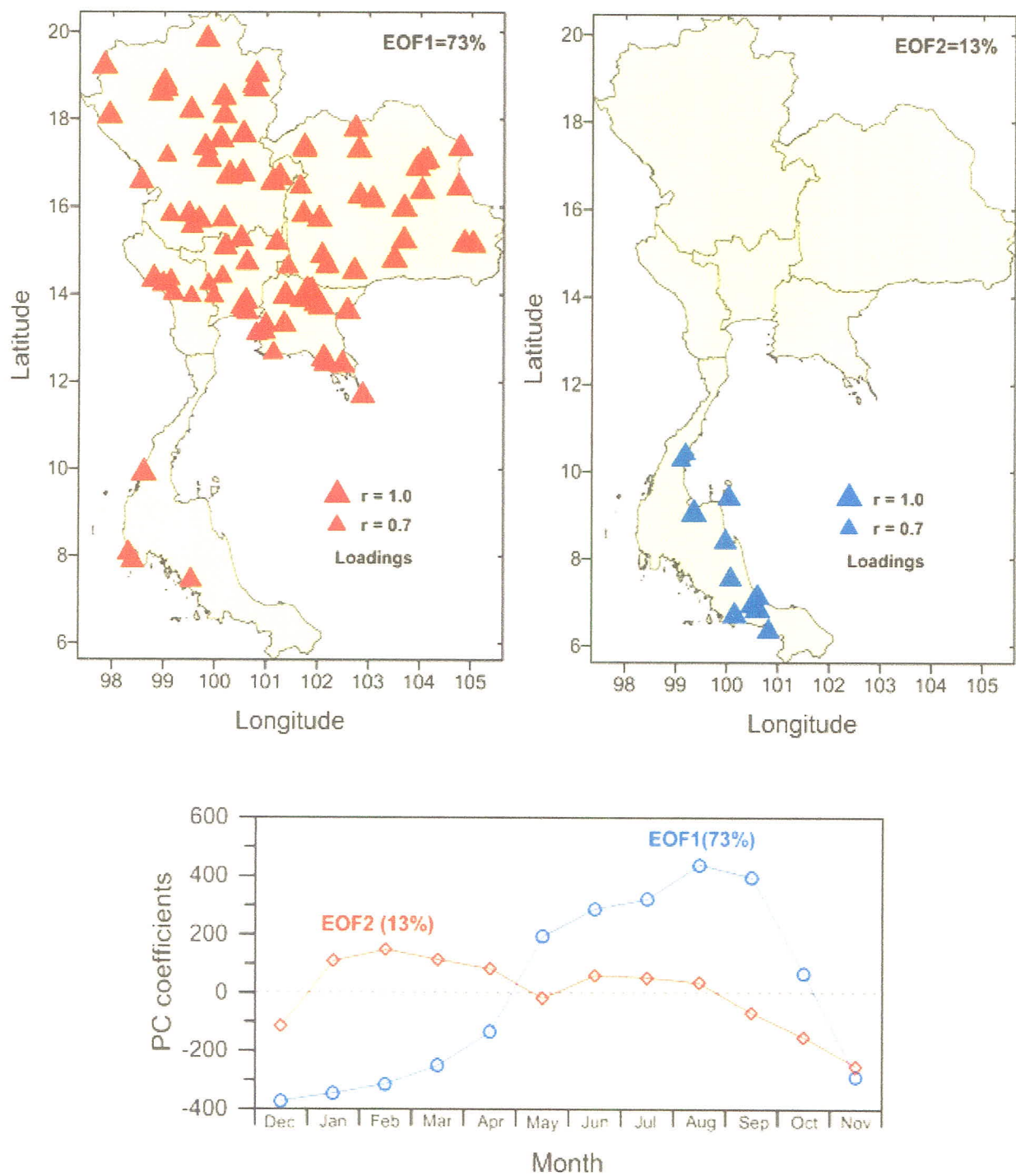
บทที่ 2 ทบทวนเอกสารงานวิจัย

2.1 รูปแบบและความแปรปรวนของลมฟ้าอากาศในพื้นที่ประเทศไทย

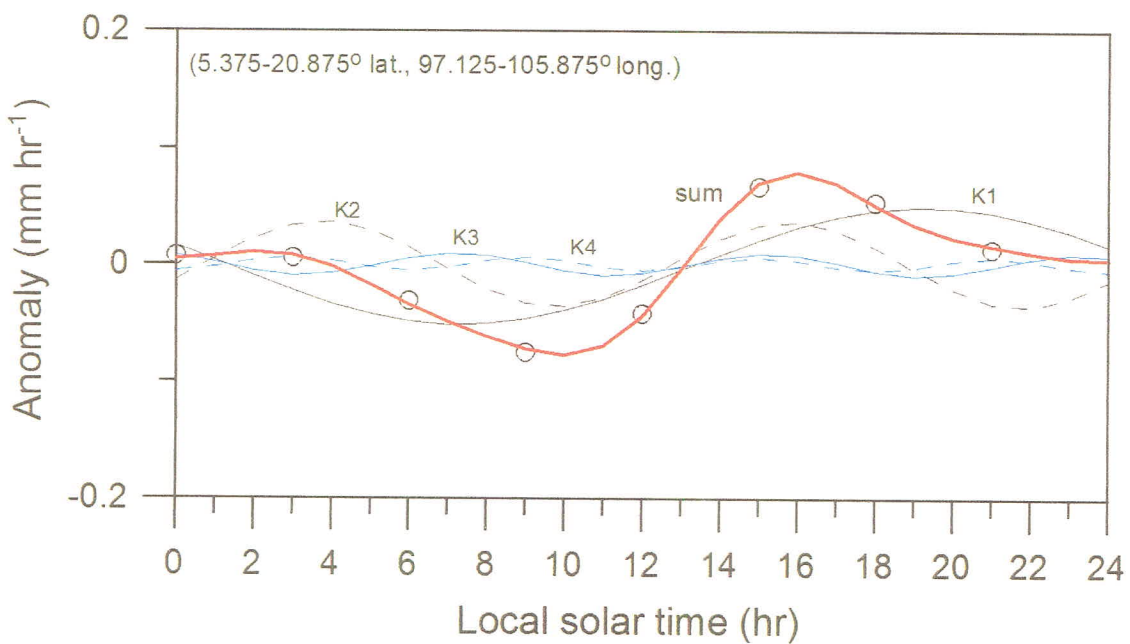
ด้วยประเทศไทยตั้งอยู่ใจกลางคาบสมุทรอินโดจีน ที่แบ่งน่านน้ำออกเป็นมหาสมุทรอินเดียและมหาสมุทรแปซิฟิกและใกล้เส้นศูนย์สูตร ส่งผลให้ประเทศไทยมีสภาพลมฟ้าอากาศแบบมรสุมเขตร้อน มีฝนตกชุกตลอดทั้งปีประกอบกับมีความชื้นสัมพัทธ์ในอากาศสูง โดยสภาพภูมิประเทศซึ่งมีลักษณะที่หลากหลายตั้งแต่เทือกเขาสูงสลับที่รับหุบเขาทางตอนเหนือ พื้นที่รับน้ำท่วมถึงขนาดใหญ่ทางภาคกลาง ถึงแม่น้ำแคบๆ ทางตอนใต้ เป็นปัจจัยเสริมที่ทำให้มีลมฟ้าอากาศในแต่ละภาคของประเทศไทย ผันแปรในควบเวลาต่างๆ ซึ่งมีลักษณะที่แตกต่าง กันบางพื้นที่ อาทิ เช่น ภาคใต้มีเทือกเขาซึ่งอยู่ติดกับกลางของพื้นที่ที่วงศ์ตัดขาดจากกับภาคสมุทร เป็นปัจจัยทางภูมิประเทศที่ส่งผลต่อความแตกต่างของฤดูกาลอย่างชัดเจนระหว่างฝั่งอันดามันและฝั่งอ่าวไทย ทั้งนี้ ความแปรปรวนตามฤดูกาลของลมฟ้าอากาศในประเทศไทย อยู่ภายใต้อิทธิพลของลมมรสุมฤดูร้อน (มรสุมตะวันตกเฉียงใต้) และลมมรสุมฤดูหนาว (มรสุมตะวันออกเฉียงเหนือ) (รูปที่ 2.1) ซึ่งเป็นความผันแปรรอบปีที่ระบบลมพัดเปลี่ยน ทิศทาง อันเนื่องมาจากการแตกต่างเชิงพอลศาสตร์ของฟลักซ์ความชื้น ความร้อนและโมเมนตัมระหว่างพื้นที่วิปมหาสมุทรและชั้นบรรยากาศ รวมทั้งการเปลี่ยนแปลงตามฤดูกาลของรังสีดวงอาทิตย์ (Trenberth et al., 2000; Wang et al., 2005; Wang and Ding, 2008)



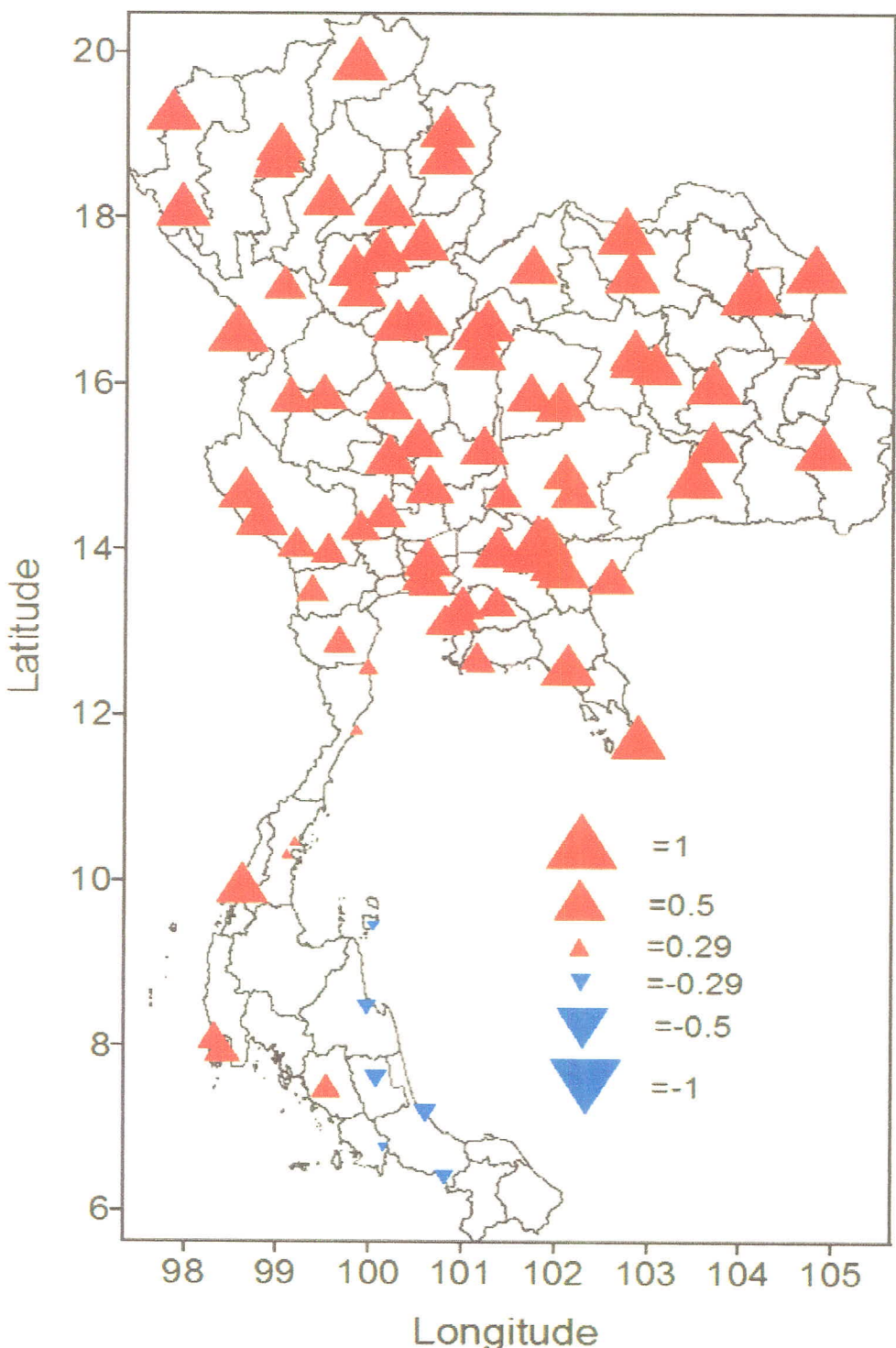
รูปที่ 2.1 แสดงพื้นที่ประเทศไทยกับอิทธิพลของลมมรสุมตะวันตกเฉียงใต้และลมมรสุมตะวันออกเฉียงเหนือ



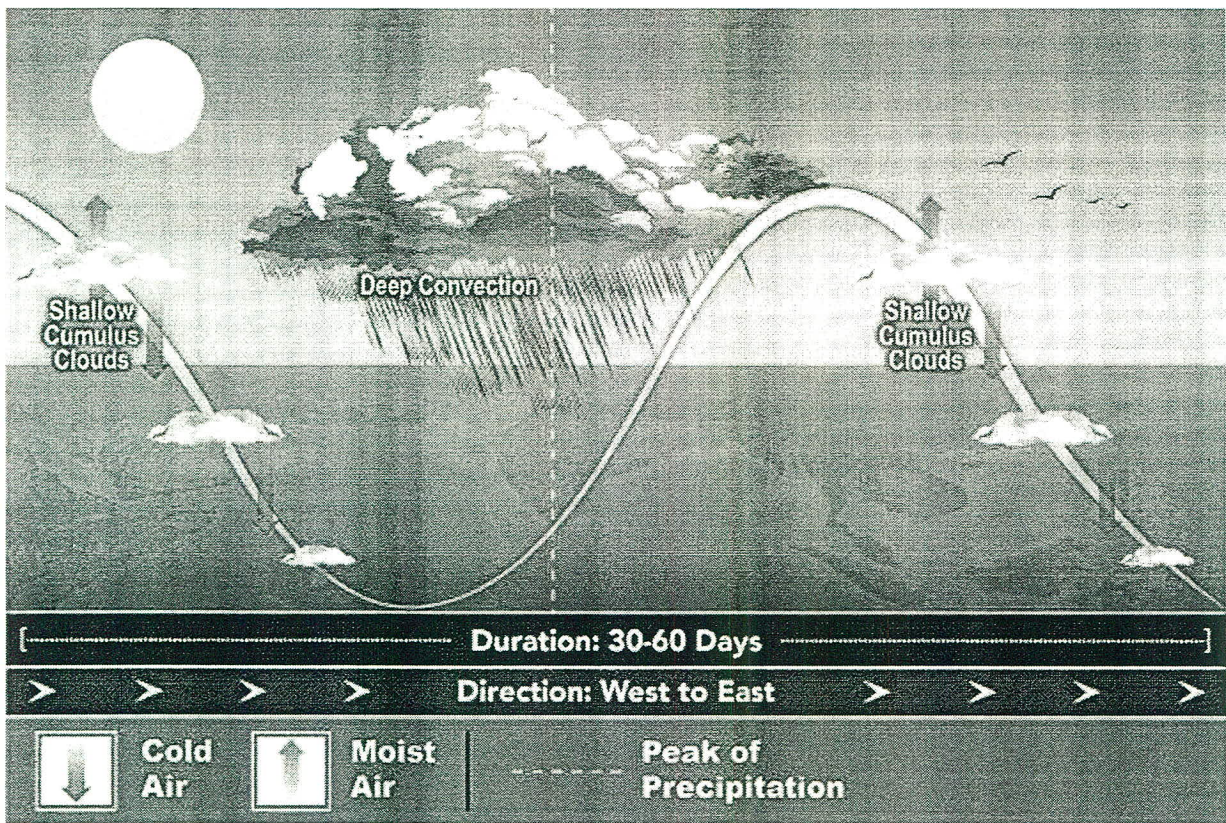
รูปที่ 2.2 ความแปรปรวนเชิงพื้นที่และเวลาของปริมาณฝนรอบปีในประเทศไทย ซึ่งวิเคราะห์ด้วยเทคนิคฟังก์ชันตั้งจากเชิงประจักษ์ (Empirical Orthogonal Function; EOF)



รูปที่ 2.3 แสดงวงจรรอบวันของหยาดน้ำฟ้าเฉลี่ยจากทุกกริดในบริเวณพื้นที่ประเทศไทย (5.375° - 20.875° latitude, 97.125° - 105.875° longitude) (วงกลมสีดำ) และวงจรรอบวันของหยาดน้ำฟ้าเฉลี่ยที่ประมาณด้วยพังก์ชัน ยาร์มอนิก ลำดับที่ 1 (เส้นสีดำ) ลำดับที่ 2 (เส้นประสีดำ) ลำดับที่ 3 (เส้นสีน้ำเงิน) ลำดับที่ 4 (เส้นประสีน้ำเงิน) และผลรวมของลำดับที่ 1 ถึง 4 (สีแดง)
ที่มาของข้อมูล: อุชา ยัมพรี และคณะ (2555)



รูปที่ 2.4 ดัชนี Monsoon Precipitation Index (MPI) ในประเทศไทย โดย MPI คำนวณจาก Annual Range Precipitation (MJJAS – NDJFM)/Annual Mean Precipitation



รูปที่ 2.5 ปรากฏการณ์ Madden Julian Oscillation (MJO) ซึ่งแสดงการเคลื่อนตัวของกลุ่มเมฆอย่างเป็นระบบ เหนือเส้นศูนย์สูตรจากมหาสมุทรอินเดียสู่มหาสมุทรแปซิฟิกตะวันตกในเวลา 30-60 วัน
ที่มาของข้อมูล: Geografi Nusantara (<http://keith-travelsinindonesia.blogspot.com/2012/03/april-showers-bring-may-flowers-but.html>)

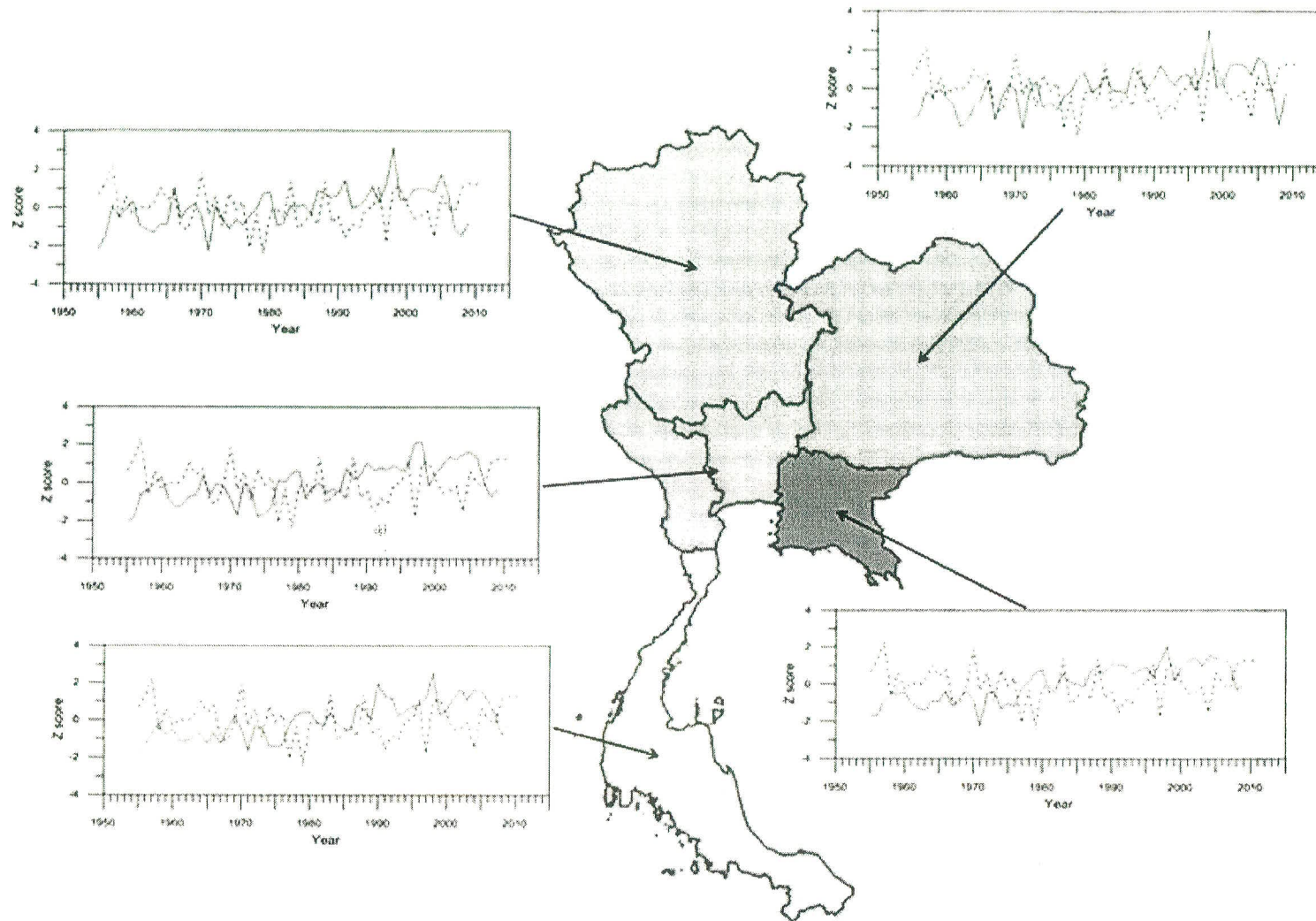
นอกจากระบบลมรุ่มและปรากฏการณ์ MJO แล้ว ความผันแปรของระบบภูมิอากาศในระดับภูมิภาค และระดับโลก เช่น ปรากฏการณ์เอ็นโซ่และปรากฏการณ์อินเดียโอเชียนไดโพลซึ่งเกิดจากการเปลี่ยนแปลงที่ผิดปกติแบบควบคู่ระหว่างการไหลเวียนของมวลกระแสน้ำอุ่นในมหาสมุทรแปซิฟิกและมหาสมุทรอินเดียบริเวณเส้นศูนย์สูตรและการไหลเวียนของชั้นบรรยากาศผิวพื้น (Saji et al., 1999; Diaz et al., 2001; Juneng and Tangang, 2005) ยังเป็นปัจจัยที่ส่งผลต่อความแปรปรวนระหว่างปีและระยะยาวของสภาพภูมิอากาศในประเทศไทย (รูปที่ 2.6) ผลการศึกษาของ Singhrattna et al. (2005), Limsakul et al. (2007) และ Limsakul and Goes (2008) พบว่า ความแปรปรวนระหว่างปีของอุณหภูมิและฝนในพื้นที่ส่วนใหญ่ของประเทศไทย มีความสัมพันธ์อย่างมีนัยสำคัญกับปรากฏการณ์เอ็นโซ่ โดยสรุป พบว่าอุณหภูมิ มีแนวโน้มสูงกว่าปกติแต่ปริมาณฝนต่ำกว่าปกติ ในช่วงที่เกิดเหตุการณ์ El Niño ในขณะที่ อุณหภูมิ มีแนวโน้มต่ำกว่าปกติแต่ปริมาณฝนสูงกว่าปกติ ในช่วงที่เกิดเหตุการณ์ La Niña ราชนัฐ ภารสถาพรกุล (2552) พบว่า ปรากฏการณ์อินเดียโอเชียนไดโพล อาจมีอิทธิพลต่อปริมาณน้ำฝนรวมรายปีของประเทศไทย แต่ทว่าอิทธิพลของปรากฏการณ์อินเดียโอเชียนไดโพล มีความแปรผันตามสถานการณ์ของปรากฏการณ์เอ็นโซ่ กล่าวคือ เป็นตัวกลาง

2.2 การเปลี่ยนแปลงสภาพภูมิอากาศและสภาวะความรุนแรงของลมฟ้าอากาศในพื้นที่ประเทศไทย

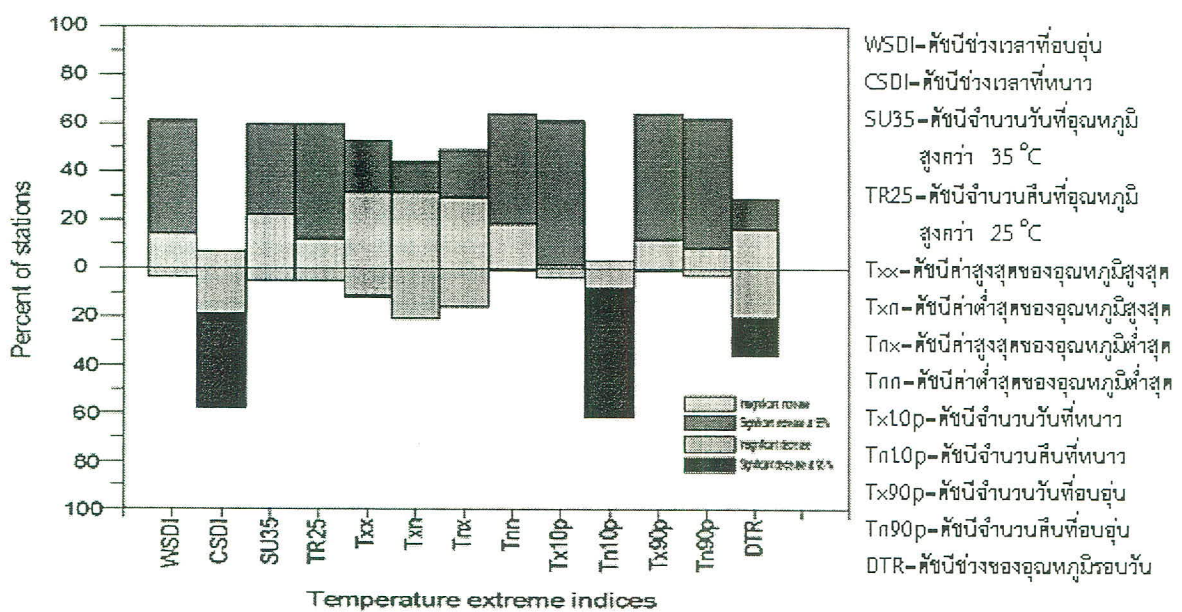
อุณหภูมิในภาพรวมของประเทศไทย มีแนวโน้มการเปลี่ยนแปลงในระยะยาวที่เพิ่มขึ้นอย่างมีนัยสำคัญทางสถิติที่ระดับความเชื่อมั่นมากกว่า 99% ($p<0.01$) ในรอบ 55 ปีที่ผ่านมา (ค.ศ. 1955-2009) อุณหภูมิสูงสุด อุณหภูมิเฉลี่ยและอุณหภูมิต่ำสุดรายปี มีแนวโน้มเพิ่มขึ้น 0.86, 0.95 และ 1.45°C ซึ่งอัตราการเปลี่ยนแปลงต่อทศวรรษ มีค่าเท่ากับ 0.16, 0.17 และ 0.26°C ตามลำดับ (อัศมน ลิมสกุล และแสงจันทร์ ลิมจิรากล, 2554) ทั้งนี้ อุณหภูมิต่ำสุดรายปี มีแนวโน้มเพิ่มขึ้นในอัตราที่สูงกว่าอุณหภูมิสูงสุดและอุณหภูมิเฉลี่ยรายปี ส่วนหนึ่งจากการขยายตัวของเมืองและการเปลี่ยนแปลงการใช้ประโยชน์ที่ดิน (Limjirakan and Limsakul, 2012a) ค่าเฉลี่ยรายปีของเปอร์เซ็นต์ความชื้นสัมพันธ์และอุณหภูมิปรากฏ (Apparent temperature) ในประเทศไทย มีแนวโน้มเพิ่มขึ้นอย่างมีนัยสำคัญ ($p<0.01$) เช่นกันในอัตรา 2.2% และ 0.71°C ในรอบ 42 ปี (1965-2006) ตามลำดับ (อัศมน ลิมสกุล และแสงจันทร์ ลิมจิรากล, 2554) ในขณะที่อัตราการระเหยของน้ำที่ตรวจวัดด้วยวัดการระเหยในประเทศไทย ในช่วงปี ค.ศ. 1970-2009 กลับลดลงในอัตรา 7.7 mm per annum (Limjirakan and Limsakul, 2012b) อย่างไรก็ตาม เมื่อพิจารณาปริมาณฝนสะสมรายปีของประเทศไทยในรอบ 57 ปีที่ผ่านมา (1955-2011) ไม่พบแนวโน้มการเปลี่ยนแปลงในระยะยาวที่ชัดเจน ซึ่งความแปรปรวนระยะสั้นที่เกี่ยวโยงกับความผันแปรของระบบลมร้อนแอร์และปรากฏการณ์เอ็นโซ เป็นรูปแบบที่โดดเด่นของการเปลี่ยนแปลงของฝนในประเทศไทย (Limsakul, 2013) รูปที่ 2.7 แสดงแนวโน้มการเปลี่ยนแปลงของอุณหภูมิเฉลี่ยและปริมาณฝนสะสมรายปีรายภาค ซึ่งทำการสังเคราะห์เพิ่มเติมจากผลการศึกษาของอัศมน ลิมสกุล และแสงจันทร์ ลิมจิรากล (2554) และ Limsakul (2013) เพื่อให้เห็นการเปลี่ยนแปลงในแต่ละภูมิภาคของประเทศไทย

ผลการวิเคราะห์สภาวะความรุนแรงของอุณหภูมิและฝนในประเทศไทยของ Limjirakan and Limsakul (2012a) และ Limsakul (2013) ด้วยดัชนีหลักที่พัฒนาและเสนอแนะโดยผู้เชี่ยวชาญภายใต้โครงการ Joint World Meteorological Organization (WMO) Commission for Climatology (CCI)/World Climate Research Program (WCRP) Climate Variability and Predictability (CLIVAR) Project's Expert Team on Climate Change Detection, Monitoring and Indices (WMO-CCI/WCRP/CLIVAR/ETCCDMI) ซึ่งแสดงลักษณะต่างๆ ของสภาวะความรุนแรงของภูมิอากาศในแต่ละภาค คือ ความรุนแรงและระยะเวลาของเหตุการณ์น้ำ (Perterson, 2005) พบว่า ดัชนีสภาวะความรุนแรงของอุณหภูมิในประเทศไทยหลายดัชนี มีแนวโน้มการเปลี่ยนแปลงอย่างมีนัยสำคัญ ในรอบ 40 ปีที่ผ่านมา (1970-2009) โดยรูปแบบการเปลี่ยนแปลงมีลักษณะคล้ายคลึงกันเกือบทุกภูมิภาค ซึ่งสอดคล้องกับแนวโน้มการร้อนขึ้นของประเทศไทย (Limjirakan and Limsakul, 2012a) ทั้งนี้ แนวโน้มการเพิ่มขึ้นอย่างมีนัยสำคัญของสภาวะความรุนแรงของอุณหภูมิในประเทศไทย ประกอบด้วย ดัชนีช่วงระยะเวลาที่อบอุ่น ดัชนีจำนวนวันที่อุณหภูมิสูงกว่า 35°C ดัชนีจำนวนวันคืนที่อุณหภูมิสูงกว่า 25°C ดัชนีค่าสูงสุดรายเดือนของอุณหภูมิสูงสุดและต่ำสุดประจำวัน ดัชนีค่าต่ำสุดรายเดือนของอุณหภูมิสูงสุดและต่ำสุดประจำวัน ดัชนีจำนวนวันและคืนที่อบอุ่น ในขณะที่ แนวโน้มการลดลงอย่างมีนัยสำคัญของสภาวะความรุนแรงของอุณหภูมิในประเทศไทย ปรากฏในดัชนีจำนวนวันและคืนที่หนาวและดัชนีช่วงระยะเวลาที่หนาว (รูปที่ 2.8) ทั้งนี้ แนวโน้มของสภาวะความรุนแรงของอุณหภูมิที่เกิดขึ้นในลักษณะที่สอดคล้อง และมีรูปแบบการเปลี่ยนแปลงในทิศทางเดียวกันในบริเวณกว้างทั่วประเทศนี้ แสดงถึงการขยายตัวเพิ่มขึ้นอย่างมีนัยสำคัญของค่าเฉลี่ย (mean state) และเหตุการณ์ความรุนแรงที่อยู่บริเวณปลายด้านบนของการแจกรังของอุณหภูมิ (รูปที่ 2.9)

สภาวะความรุนแรงของฝนในประเทศไทย มีรูปแบบและแนวโน้มการเปลี่ยนแปลงที่ซับซ้อน ซึ่งดัชนีสภาวะความรุนแรงของฝนมีลักษณะการเปลี่ยนแปลงเกิดขึ้นทั้งสองทิศทาง กล่าวคือ การเพิ่มขึ้นและการลดลงในอัตราที่แตกต่างกันในแต่ละพื้นที่ จากผลการศึกษาของ Limsakul (2013) ที่วิเคราะห์ข้อมูลฝนรายวันในประเทศไทยในรอบ 57 ปีที่ผ่านมา (1955-2011) พบว่า แนวโน้มของดัชนีสภาวะความรุนแรงของฝนในประเทศไทยมีลักษณะการเปลี่ยนแปลงที่คล้ายคลึงและสอดคล้องกันในเชิงพื้นที่น้อยกว่าดัชนีสภาวะความรุนแรงของอุณหภูมิอย่างไรก็ตาม ผลการศึกษา สามารถบ่งชี้แนวโน้มการเปลี่ยนแปลงของลักษณะสภาวะความรุนแรงของฝนบางประการที่น่าสนใจและมีนัยสำคัญต่อการบริหารจัดการทรัพยากรน้ำและภัยพิบัติ ทั้งนี้ การเปลี่ยนแปลงอย่างมีนัยสำคัญในภาพรวมของประเทศไทย ประกอบด้วย จำนวนวันฝนตกและระยะเวลาที่ฝนต่ออย่างเนื่องมีแนวโน้มลดลง ในขณะที่ ความแรงของฝนและปริมาณฝนจากเหตุการณ์ฝนตกหนักกลับเพิ่มขึ้น โดยการเปลี่ยนแปลงที่ชัดเจนเกิดขึ้นในภาคกลาง ภาคตะวันออกและภาคใต้ การเปลี่ยนแปลงของดัชนีสภาวะความรุนแรงของฝนดังกล่าว บ่งชี้ถึงความถี่ของเหตุการณ์ฝนตกในพื้นที่ส่วนใหญ่ของประเทศไทยลดน้อยลง แต่ความแรงของฝนและเหตุการณ์ฝนตกหนักกลับเพิ่มขึ้น ซึ่งแสดงถึงการขยายตัวไปทางด้านขวาของฟังก์ชันการแจกแจงความน่าจะเป็น (Probability Distribution Function; PFD) ของฝน ซึ่งส่งผลต่อการเพิ่มขึ้นของเหตุการณ์ความรุนแรงที่อยู่บริเวณปลายด้านบน (รูปที่ 2.10) นอกจากนี้ ผลการศึกษาของ Limsakul (2013) ยังสอดคล้องกับผลการศึกษาของ Limjirakan et al. (2010) ซึ่งพบว่า กรุงเทพมหานครซึ่งเป็นเมืองขนาดใหญ่ที่ตั้งอยู่บริเวณที่ราบทลุ่มปากแม่น้ำเจ้าพระยา กำลังประสบกับการเพิ่มขึ้นของปริมาณฝนรวมรายปีอย่างมีนัยสำคัญ การเปลี่ยนแปลงสภาวะสุดท้ายของฝนที่สอดคล้องกับการเพิ่มขึ้นของปริมาณฝนรวมรายปี คือ การเพิ่มขึ้นของความถี่และความแรงของเหตุการณ์ฝนตกหนัก นอกจากนี้ ความแรงของฝนในพื้นที่กรุงเทพมหานครมีแนวโน้มเพิ่มขึ้นอย่างมีนัยสำคัญในช่วง 5-6 เดือนแรกที่ผ่านมา

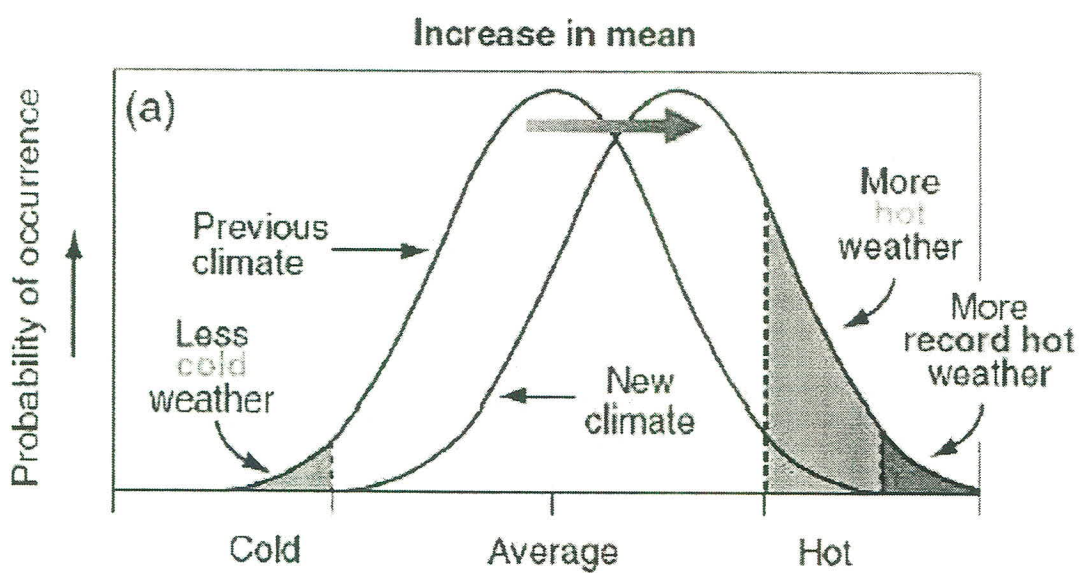


รูปที่ 2.7 แนวโน้มการเปลี่ยนแปลงของอุณหภูมิเฉลี่ย (เส้นสีแดง) และปริมาณฝนสะสมรายปีเฉลี่ย (เส้นประสีน้ำเงิน) รายการซึ่งนำเสนอในรูปของค่า Z scores ที่อนุกรมข้อมูล normalize ด้วยค่าเฉลี่ยและค่าเบี่ยงเบนมาตรฐาน

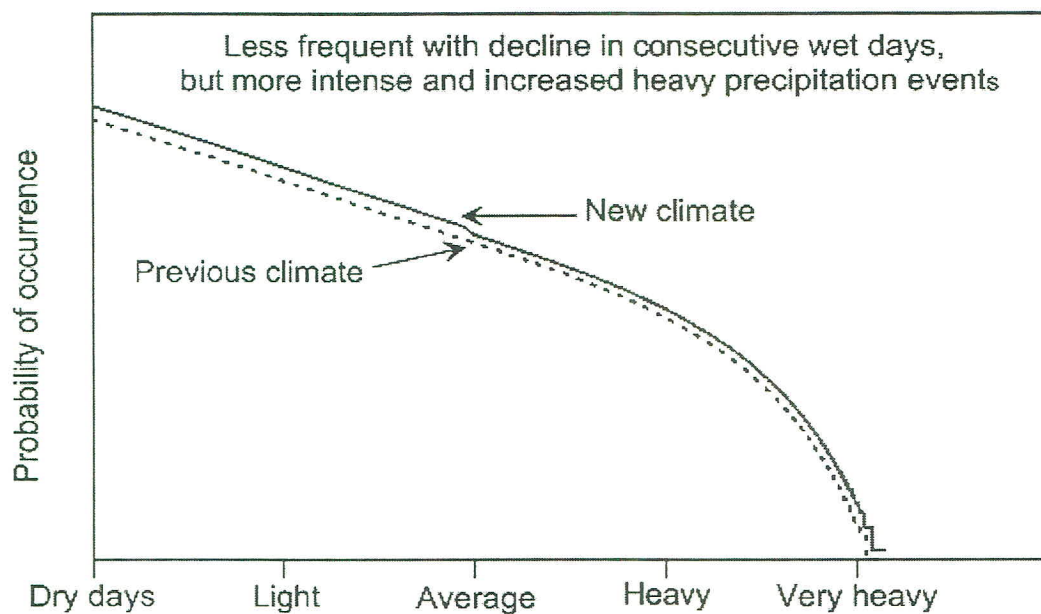


รูปที่ 2.8 เปอร์เซ็นต์ของจำนวนสถานีที่แสดงสัดส่วนแนวโน้มการเปลี่ยนแปลงของดัชนีสภาพอากาศ ความรุนแรงของ อุณหภูมิในประเทศไทย ในช่วง ปี ค.ศ. 1970-2006

ที่มาของข้อมูล: อัศมน ลิ่มสกุล และแสงจันทร์ ลิ่มจิรากาน, 2554



รูปที่ 2.9 พังก์ชั่นการแจกแจงความน่าจะเป็น (Probability Distribution Function; PFD) ของอุณหภูมิใน ประเทศไทยที่ค่าเฉลี่ยในช่วงปัจจุบันยับตัวไปทางด้านขวาของการแจกแจง ซึ่งส่งผลการเพิ่มขึ้นของเหตุการณ์ ความรุนแรงที่อยู่บริเวณปลายด้านบน



รูปที่ 2.10 เปรียบเทียบฟังก์ชันการแจกแจงความน่าจะเป็น (Probability Distribution Function; PFD) ของฝนในอดีตและปัจจุบันของประเทศไทย ซึ่ง PDF ของฝนขยายตัวไปทางด้านขวาของการแจกแจง ส่งผลต่อการเพิ่มขึ้นของเหตุการณ์ฝนตกหนักและความแรงของฝน

2.3 ภัยพิบัติทางภูมิอากาศและผลกระทบในประเทศไทย

ประเทศไทย นับเป็นประเทศหนึ่งในภูมิภาคตะวันออกเฉียงใต้ที่มีความล่อแหลมต่อการเปลี่ยนแปลงสภาพภูมิอากาศและสภาวะความรุนแรงลงฟ้าอากาศ เนื่องจากการดำเนินชีวิตของประชาชนส่วนใหญ่และการพัฒนาประเทศในภาพรวม ยังมีความจำเป็นต้องพึ่งพาฐานทรัพยากรและผลผลิต ที่มีความปราบบางสูงต่อลมฟ้าอากาศ เช่น ทรัพยากรน้ำ ผลผลิตทางการเกษตร ตลอดจนทรัพยากรชายฝั่ง อีกทั้งเมืองขนาดใหญ่ซึ่งเป็นศูนย์กลางการพัฒนาด้านเศรษฐกิจและการค้าและประชากรที่ตั้งตระหง่านอย่างหนาแน่น อยู่บริเวณที่ราบลุ่มปากแม่น้ำและชายฝั่ง (IGES, 2006; World Bank, 2008; Yusuf and Francisco, 2009) ภัยธรรมชาติที่เกิดขึ้นในประเทศไทย มีอยู่หลายรูปแบบซึ่งภัยพิบัติทางภูมิอากาศที่สำคัญและสามารถสร้างความเสียหายได้เป็นอย่างมาก ได้แก่ ภัยแล้ง วาตภัย และอุทกภัยซึ่งเกิดจากพายุหมุนเขตร้อนและพายุฝนฟ้าคะนองรุนแรง

2.3.1 วาตภัย อุทกภัย และดินโคลนคลุ่มครองสำคัญที่เกิดขึ้นในประเทศไทย

จากการสืบค้นและรวบรวมข้อมูลจากแหล่งข้อมูลต่างๆ เช่น กรมอุตุนิยมวิทยา กรมป้องกันและบรรเทาสาธารณภัย กรมทรัพยากรธรณ์ สถาบันสารสนเทศทรัพยากรน้ำและการเกษตร สำนักงานพัฒนาเทคโนโลยีและอาชีวศึกษา และข้อมูลจากเว็บไซต์ต่างๆ พบว่า เหตุการณ์วาตภัย อุทกภัย และดินโคลนคลุ่มครองสำคัญที่เกิดขึ้นในประเทศไทยตั้งแต่ ปี พ.ศ. 2531-2553 ทั้งสิ้น 16 เหตุการณ์ ดังสรุปในตารางที่ 2.1

ตารางที่ 2.1 วาตภัย อุทกภัย และดินโคลนคลุ่มครองสำคัญที่เกิดขึ้นในประเทศไทยตั้งแต่ ปี พ.ศ. 2531-2553

| เหตุการณ์ | พ.ศ. | ความเสียหายและผลกระทบ |
|-------------------------|------|--|
| 1. ภัยพิบัติกะทุน | 2531 | อ.พิปูน จ.นครศรีธรรมราช มีผู้บาดเจ็บและเสียชีวิตประมาณ 230 คน บ้านเรือนเสียหาย 1,500 หลัง พื้นที่การเกษตรเสียหาย 6,150 ไร่ คิดเป็นมูลค่าประมาณ 1,000 ล้านบาท |
| 2. พายุไต้ฝุ่นเกย์ | 2532 | อ.เมืองประจำคือริบันธ์ บางสะพานน้อย และบางสะพานและ อ.ท่าแซะ ประทิว จังหวัดชุมพร มีผู้เสียชีวิต 446 คน บาดเจ็บ 154 คน บ้านเรือนเสียหายกว่า 38,000 หลัง มูลค่าความเสียหายกว่า 11,000 ล้านบาท |
| 3. พายุดีเปรสชั่นอีรา | 2533 | จ.อุบลราชธานี ถนนเสียหาย 3,891 สาย สะพาน 332 แห่ง เหนือ ฝ่าย 242 แห่ง โรงเรียน 43 แห่ง พื้นที่เกษตรกรรม 4,133,281 ไร่ มูลค่าความเสียหาย 6,011,353,756 บาท |
| 4. พายุไต้ฝุ่นเฟรด | 2534 | น้ำท่วมเป็นบริเวณกว้างในภาคตะวันออกเฉียงเหนือ และภาคเหนือ ก่อให้เกิดความเสียหายอย่างมาก |
| 5. พายุเขตร้อนฟอร์เรสต์ | 2535 | จ.พังงา นครศรีธรรมราช และสุราษฎร์ธานี สร้างความเสียหายให้แก่บ้านเรือนและไร่นาประเมินค่าความเสียหายมากกว่า 3,000 ล้านบาท |

ตารางที่ 2.1 วัตถุภัย อุทกภัย และดินโคลนถล่ม ที่เกิดขึ้นในประเทศไทยตั้งแต่ ปี พ.ศ. 2531-2553 (ต่อ)

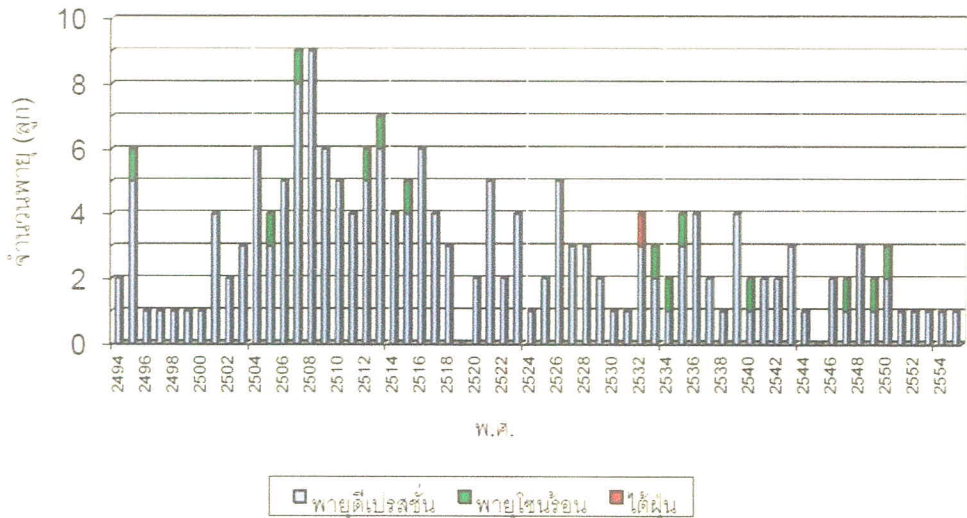
| เหตุการณ์ | พ.ศ. | ความเสียหายและผลกระทบ |
|--|------|---|
| 6. น้ำท่วม | 2538 | ที่ราบลุ่ม 2 ฝั่งแม่น้ำเจ้าพระยา พื้นที่ที่ถูกน้ำท่วมมากที่สุด ได้แก่ พื้นที่เกษตรกรรมด้านฝั่งตะวันตกของแม่น้ำเจ้าพระยา ตอนล่าง |
| 7. พายุไต้ฝุ่นลินดา | 2540 | จ.ประจวบคีรีขันธ์ เพชรบุรี สมุทรสงคราม ราชบุรี และกาญจนบุรีประชาชนได้รับผลกระทบ 461,263 คน บ้านเรือนเสียหาย 9,248 หลัง มูลค่าความเสียหาย 213,054,675 บาท |
| 8. อุทกภัยหาดใหญ่ | 2543 | จ.สงขลา น้ำท่วมสูงในบริเวณตัวเมืองชั้นใน ความเสียหายเป็นมูลค่ากว่า 10,000 ล้านบาท จำนวนผู้เสียชีวิตตามประกาศจากทางราชการ 35 คน โดยจำนวนผู้เสียชีวิตจริง ข้อมูลอย่างไม่เป็นทางการ สูงถึง 233 คน ไม่รวมชาวต่างประเทศ |
| 9. น้ำท่วม ดินโคลนถล่ม | 2544 | บ้านน้ำก้อ เพชรบูรณ์น้ำท่วม ดินโคลนและต้นไม้ซัดบ้านเรือนพังทลายเหตุการณ์ครั้งนี้ได้ทำให้มีผู้เสียชีวิตถึง 147 คน |
| 10. ดินโคลนถล่มแม่รำมาด | 2547 | จ.ตาก ผู้คนสูญหายไปกับสายน้ำและจมใต้ทะเลโคลนจำนวนมากบ้านถูกพัดหายไปทั้งหลังนับร้อยผู้เสียชีวิต 4 รายชาวบ้าน 6,019 คน จาก 2,113 ครอบครัวได้รับความเดือดร้อน |
| 11. น้ำท่วม | 2548 | - อ.เมืองเชียงใหม่ ปริมาณน้ำท่า่แหล่งสู่แม่น้ำปิงจำนวนมาก จนเกินความสามารถในการรองรับน้ำของลำน้ำได้ ในช่วงที่น้ำไหลในแม่น้ำผ่านตัวเมืองเชียงใหม่ได้เกิดการเอ่อลั้นลิ่งเข้าท่วมในพื้นที่ลุ่มน้ำเขตเมืองทำความเสียหายอย่างมาก - จ.สงขลา นครศรีธรรมราช ปัตตานี นราธิวาส พัทลุง ตรัง ยะลา และสตูลประชาชนเดือดร้อน 1.6 ล้านคน มีผู้เสียชีวิต 25 ราย |
| 12. อุทกภัยและโคลนถล่มภาคเหนือตอนล่าง | 2549 | มีผู้เสียชีวิตถึง 75 คน จากจำนวนผู้เสียชีวิตและสูญหายทั้งหมด 116 ราย |
| 13. พายุไต้ฝุ่นเกกิมา พายุไซโคลน AKASH พายุโซนร้อน FRANCISCO | 2550 | น้ำท่วมฉับพลันและน้ำป่าไหลหลากในบางพื้นที่ของภาคเหนือ และภาคตะวันออกเฉียงเหนือพื้นที่ประสบภัย 5,848,328 ไร่ใน 49 จังหวัด มีผู้เสียชีวิต 17 คน บ้านเรือนเสียหาย 3,265 หลัง มูลค่าความเสียหายประมาณ 1 พันล้านบาท |
| 14. พายุไซโคลนนาร์กีส พายุโซนร้อนเมฆลา พายุโซนร้อนนูล | 2551 | จ.เชียงราย นครราชสีมา ตาก และระนอง น้ำป่าไหลหลากเข้าท่วมบ้านเรือนและพื้นที่การเกษตร |

ตารางที่ 2.1 ราตรภัย อุทกวัย และดินโคลนถล่ม ที่เกิดขึ้นในประเทศไทยตั้งแต่ ปี พ.ศ. 2531-2553 (ต่อ)

| เหตุการณ์ | พ.ศ. | ความเสียหายและผลกระทบ |
|---------------|------|--|
| 15. พายุกิสนา | 2552 | มีฝนตกหนักถึงหนักมากบางพื้นที่โดยเฉพาะบริเวณภาคตะวันออกเฉียงเหนือและภาคกลาง โดยมีน้ำท่วมบริเวณจังหวัดอุบลราชธานีและศรีสะเกษ |
| 16. อุทกวัย | 2553 | ฝนตกหนักในหลายพื้นที่ ในช่วงเดือนตุลาคม-พฤษจิกายน หลายพื้นที่เกิดน้ำท่วมนีบบลัน น้ำป่าไหลหลากจังหวัดประสบภัยทั้งสิ้น 74 จังหวัดรายภูมิเดือดร้อน 13,485,963 คน พื้นที่เกษตรเสียหาย 10,909,561 ไร่ผู้เสียชีวิตจากเหตุอุทกวัย แล้วทั้งหมด 266 ราย |

นอกจากนี้ กรมอุตุนิยมวิทยา (2556) ได้จัดทำข้อมูลสถิติพายุหมุนเขตร้อนที่เคลื่อนเข้าสู่ประเทศไทยรายเดือน ในระหว่างปี พ.ศ. 2494-2555 โดยพบว่า ในรอบ 62 ปี ประเทศไทยได้รับอิทธิพลจากยุหมุนเขตร้อนทั้งสิ้น 187 ลูก โดยเฉพาะในเดือนตุลาคมเป็นเดือนที่มีความถี่สูงสุดที่ได้รับอิทธิพลจากพายุหมุนเขตร้อน ทั้งสิ้น 52 ลูก หรือคิดเป็นร้อยละ 27.8 รองลงมาคือ เดือนกันยายน 47 ลูก คิดเป็นร้อยละ 25.1 และเดือนพฤษจิกายน 31 ลูก คิดเป็นร้อยละ 16.6 ทั้งนี้ในเดือนมกราคม-มีนาคม ไม่พบพายุหมุนเขตร้อนเข้าสู่ประเทศไทย (รูปที่ 2.11 และ 2.12)

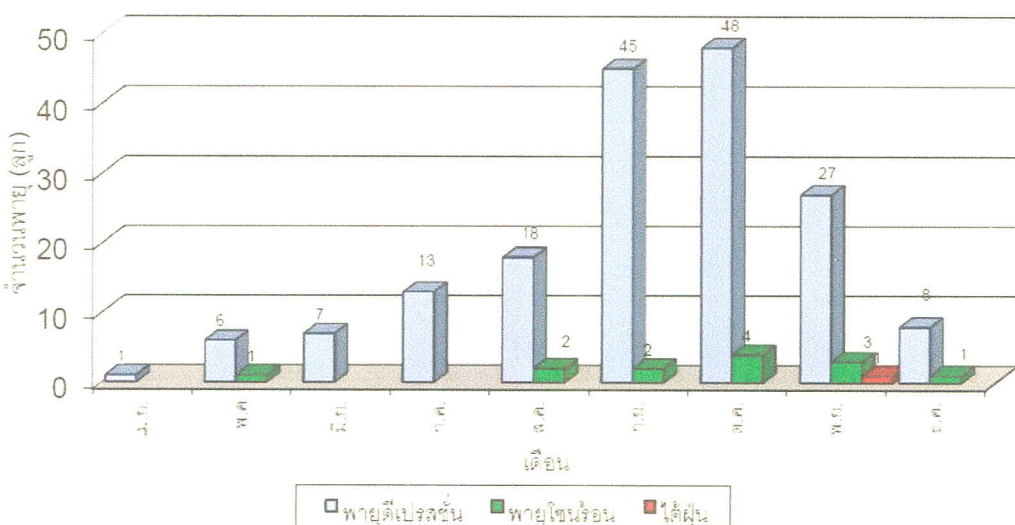
สถิติพายุหมุนเขตร้อนที่เคลื่อนเข้าสู่ประเทศไทย (พ.ศ. 2494-2555)



รูปที่ 2.11 สถิติพายุหมุนเขตร้อนที่เคลื่อนเข้าสู่ประเทศไทยปี พ.ศ. 2494-2555

ทมา: กรมอุตุนิยมวิทยา (2556)

สถิติพายุหมุนเขตร้อนที่เคลื่อนเข้าสู่ประเทศไทย (พ.ศ. 2494-2555)



รูปที่ 2.12 สถิติพายุหมุนเขตร้อนที่เคลื่อนเข้าสู่ประเทศไทยปี พ.ศ. 2494-2555 (รายเดือน)

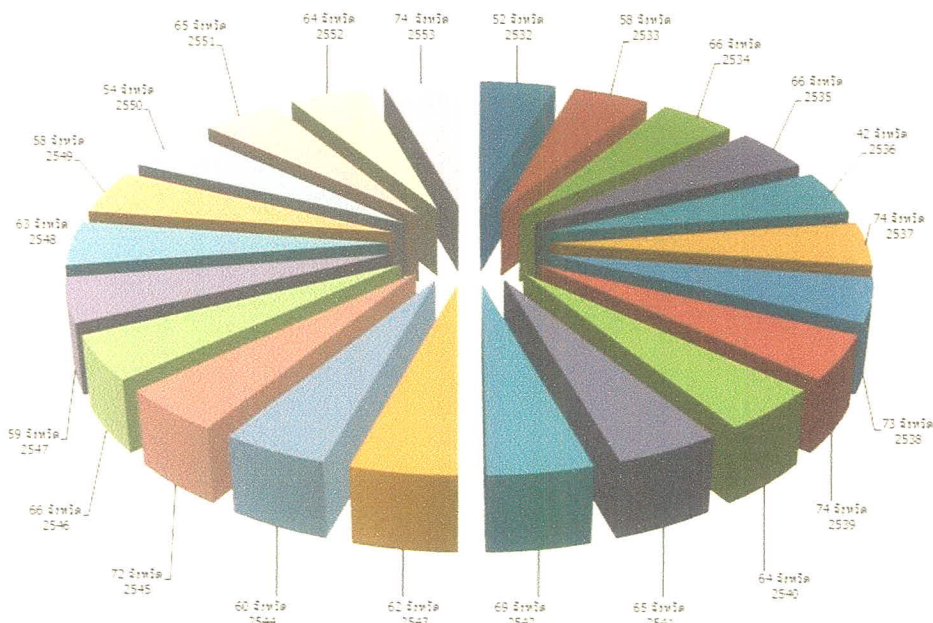
ทมา: กรมอุตุนิยมวิทยา (2556)

2.3.2 สติภัยพิบัติ (อุทกภัย/ภัยแล้ง) ที่เกิดขึ้นในประเทศไทย พ.ศ. 2532-2553

ทศวรรษที่ผ่านมาเป็นช่วงเวลาที่ภัยพิบัติเกิดขึ้นเป็นจำนวนมาก สร้างความเสียหายทั้งต่อชีวิตทรัพย์สิน ระบบเศรษฐกิจ สังคม และสิ่งแวดล้อมคิดเป็นมูลค่ามหาศาล สำหรับประเทศไทยกำลังพัฒนาภัยพิบัติเป็นอุปสรรคสำคัญในการพัฒนาที่จะทำให้ชีวิตความเป็นอยู่ของสังคมมนุษย์ดีขึ้น ในอนาคตแนวโน้มการเกิดภัยพิบัติและผลกระทบต่างๆ จะทวีความรุนแรงมากขึ้น เนื่องจากการเปลี่ยนแปลงสภาพภูมิอากาศ นอกจากนั้น การขยายตัวของประชากรและการเติบโตของเมืองในช่วงที่ผ่านมา เป็นการขยายพื้นที่การตั้งถิ่นที่อยู่อาศัยและพื้นที่ประกอบกิจกรรมทางเศรษฐกิจเข้าไปในเขตพื้นที่เสี่ยงต่อภัยพิบัติมากขึ้น ทำให้แนวโน้มความสูญเสียและการรับมือกับภัยพิบัติมีความซับซ้อนยิ่งขึ้น สำหรับประเทศไทย มีประสบการณ์ในการเผชิญภัยธรรมชาติตามฤดูกาลปัจจุบัน แต่อยู่ในขอบเขตที่จำกัดและอยู่ในภาวะที่สามารถจัดการได้ นอกเหนือนี้ ชุมชนในพื้นที่ยังได้เรียนรู้และส่งเสริมภูมิปัญญาเพื่อปรับวิถีชีวิตให้สามารถอยู่ร่วมกับความแปรปรวนของธรรมชาติตามฤดูกาลได้เป็นอย่างดี อย่างไรก็ตาม ในช่วง 10 ปีที่ผ่านมา ประเทศไทยต้องประสบกับภัยพิบัติที่รุนแรงขึ้นมากขึ้นและส่งผลกระทบต่อเศรษฐกิจของประเทศมากขึ้นโดยลำดับ (สำนักงานคณะกรรมการพัฒนาการเศรษฐกิจและสังคมแห่งชาติ, 2554)

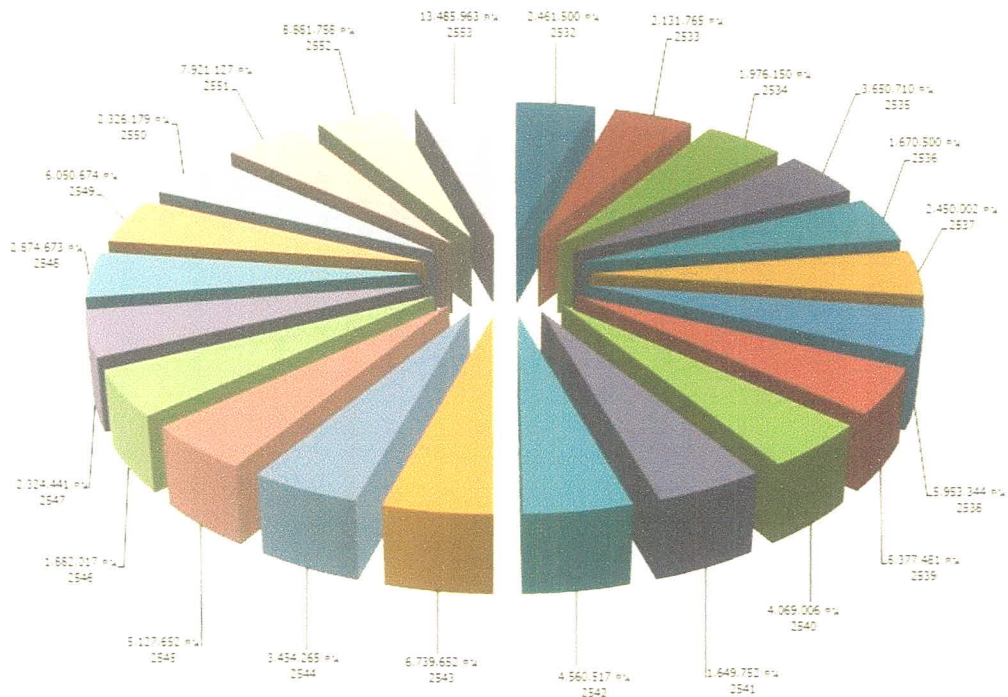
(1) อุทกภัย ในประเทศไทย พ.ศ. 2532-2553

จากการวิเคราะห์ข้อมูลที่รวบรวมจากการป้องกันและบรรเทาสาธารณภัย (2553) พบว่า เกิดเหตุการณ์อุทกภัยทั้งสิ้น 220 ครั้ง ในรอบ 22 ปี มีพื้นที่ประสบภัยโดยเฉลี่ย 64 จังหวัด ในแต่ละปีมีจังหวัดได้รับผลกระทบจากอุทกภัยไม่ต่ำกว่า 42 จังหวัด (รูปที่ 2.13) 361 อำเภอ 1,331 ตำบล 5,281 หมู่บ้านต่อปี

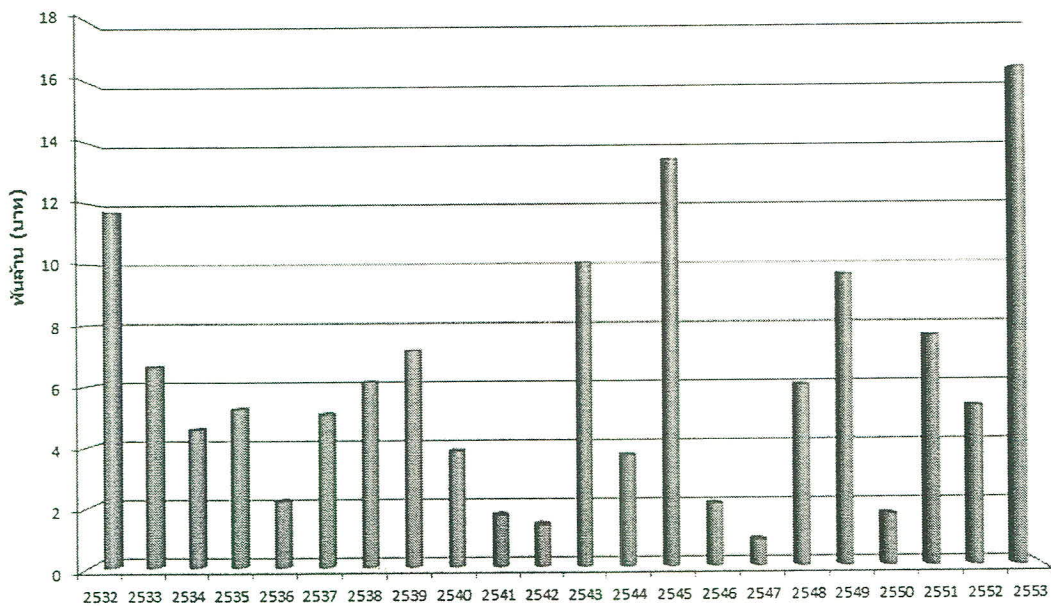


รูปที่ 2.13 จำนวนจังหวัดที่ได้รับผลกระทบจากอุทกภัยในประเทศไทยปี พ.ศ. 2532-2553

รูปที่ 2.14 แสดงจำนวนราษฎรผู้ประสบอุทกภัยในประเทศไทย ในช่วงปี พ.ศ. 2532–2553 มีประมาณ 98.3 ล้านคน โดยในปี 2553 มีราษฎรผู้ประสบอุทกภัยสูงสุดจำนวน 13.4 ล้านคน คิดเป็นร้อยละ 13.7 ของจำนวนราษฎรผู้ประสบอุทกภัย ในขณะที่ปี 2541 มีราษฎรผู้ประสบอุทกภัยน้อยที่สุดจำนวน 1.6 ล้านคน และเมื่อพิจารณาในเรื่องของมูลค่าความเสียหายจากสถานการณ์อุทกภัยมีมูลค่าสูงถึง 132,107 ล้านบาท ในแต่ละปี มูลค่าความเสียหายจากสถานการณ์อุทกภัยไม่ต่ำกว่า 850 ล้านบาท โดยมูลค่าเสียหายของสถานการณ์อุทกภัยในปี 2532, 2543, 2545 และ 2553 คิดเป็น 39% ของมูลค่าความเสียหายทั้งหมด และมูลค่าเสียหายของสถานการณ์อุทกภัยหลังปี ค.ศ. 2000 (2543) มีสัดส่วนถึง 58% ของมูลค่าความเสียหายทั้งหมด (รูปที่ 2.15)



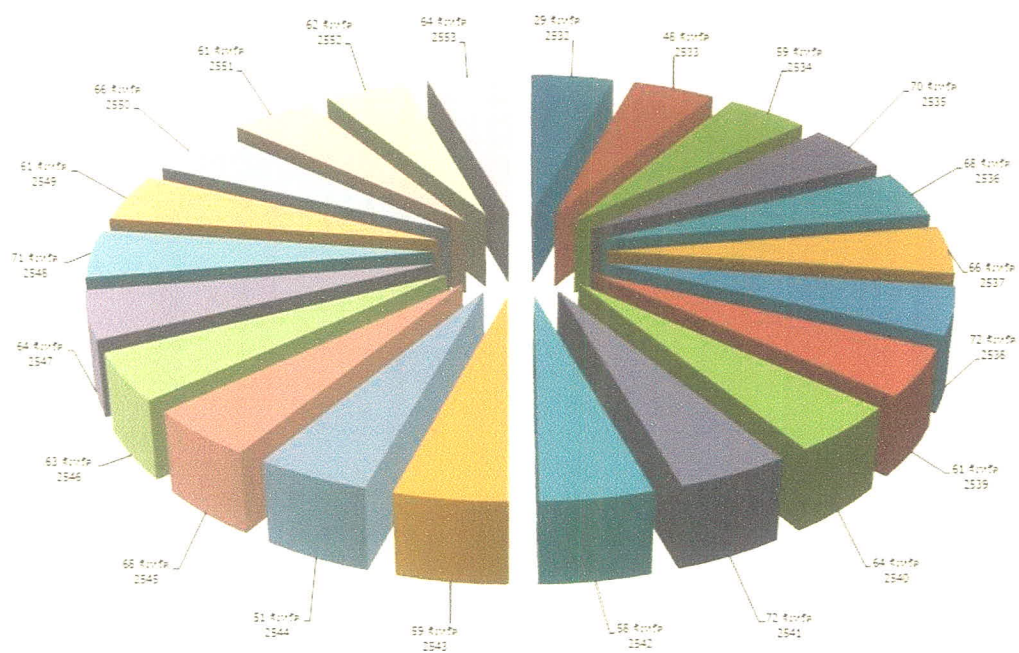
รูปที่ 2.14 จำนวนราษฎรผู้ประสบอุทกภัยในประเทศไทย ในช่วงปี พ.ศ. 2532–2553



รูปที่ 2.15 นิยมค่าความเสียหายจากสถานการณ์อุทกภัยในประเทศไทย พ.ศ. 2532–2553

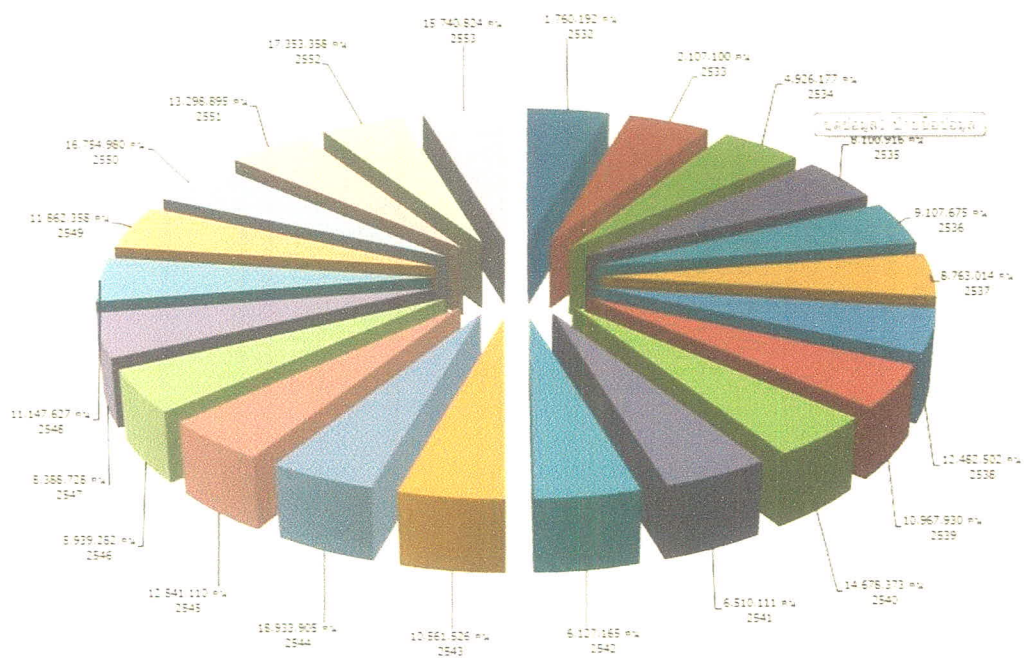
(2) ภัยแล้ง ในประเทศไทย พ.ศ. 2532-2553

จากการวิเคราะห์ข้อมูลที่รวบรวมจากการป้องกันและบรรเทาสาธารณภัย (2553) พบว่า ในแต่ละปีมีจังหวัดได้รับผลกระทบจากอุทกภัยไม่ต่ำกว่า 29 จังหวัด ซึ่งในปี 2538 มีจำนวนจังหวัดได้รับผลกระทบจากภัยแล้งสูงสุดจำนวน 72 จังหวัด รองลงมาคือ ปี 2548 และ 2535 ที่จำนวน 71 และ 70 จังหวัดตามลำดับ เมื่อมองในระดับอำเภอ พบว่า ในรอบ 22 ปี มีจำนวนอำเภอได้รับผลกระทบสูงสุด 772 อำเภอ และมีไม่ต่ำกว่า 1,490 ตำบล 6,628 หมู่บ้าน ที่ได้รับผลกระทบจากภัยแล้ง (รูปที่ 2.16)

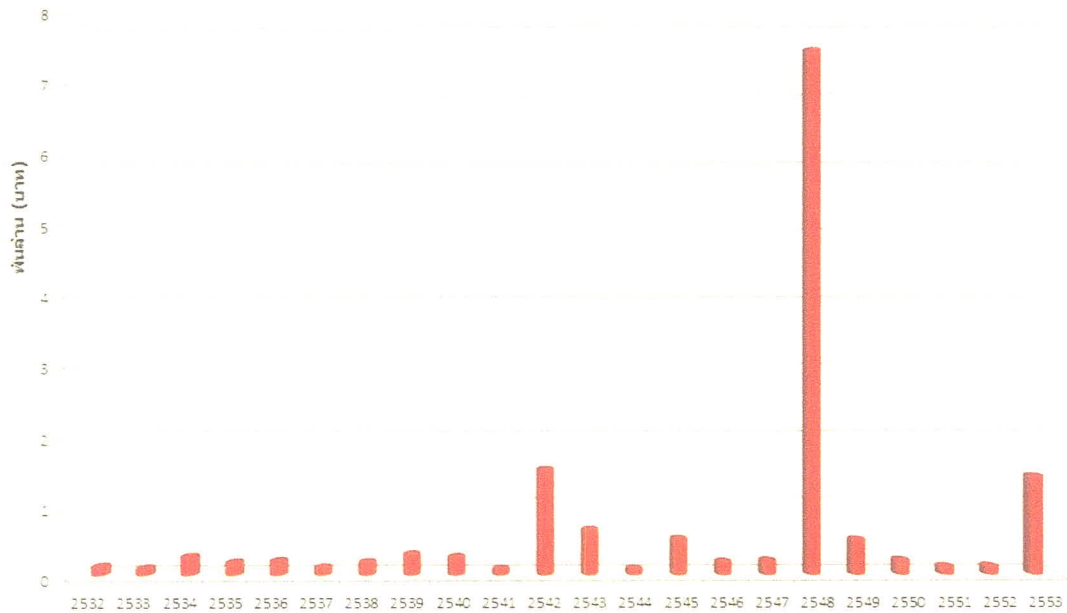


รูปที่ 2.16 จำนวนจังหวัดที่ได้รับผลกระทบจากภัยแล้งในประเทศไทยปี พ.ศ. 2532-2553

รูปที่ 2.17 แสดงจำนวนราษฎรผู้ประสบภัยแล้งในประเทศไทย ในช่วงปี พ.ศ. 2532-2553 มีประมาณ 228 ล้านคน โดยในปี 2544 มีราษฎรผู้ประสบภัยแล้งสูงสุดจำนวน 18.9 ล้านคน ในขณะที่ปี 2532 มีราษฎรผู้ประสบภัยแล้งน้อยที่สุดจำนวน 1.7 ล้านคน และเมื่อพิจารณาในแต่ละปีมูลค่าความเสียหายจากสถานการณ์ภัยแล้งมีมูลค่าสูงถึง 14,729 ล้านบาท ในแต่ละปีมูลค่าความเสียหายจากสถานการณ์ภัยแล้งไม่ต่ำกว่า 69 ล้านบาท โดยมูลค่าเสียหายของสถานการณ์ภัยแล้งในปี 2548 คิดเป็น 51.4% ของมูลค่าความเสียหายทั้งหมด (รูปที่ 2.18)



รูปที่ 2.17 จำนวนราชฎร์ประสบภัยแล้งในประเทศไทย พ.ศ. 2532-2553



รูปที่ 2.18 มูลค่าความเสียหายจากสถานการณ์ภัยแล้งในประเทศไทย พ.ศ. 2532-2553

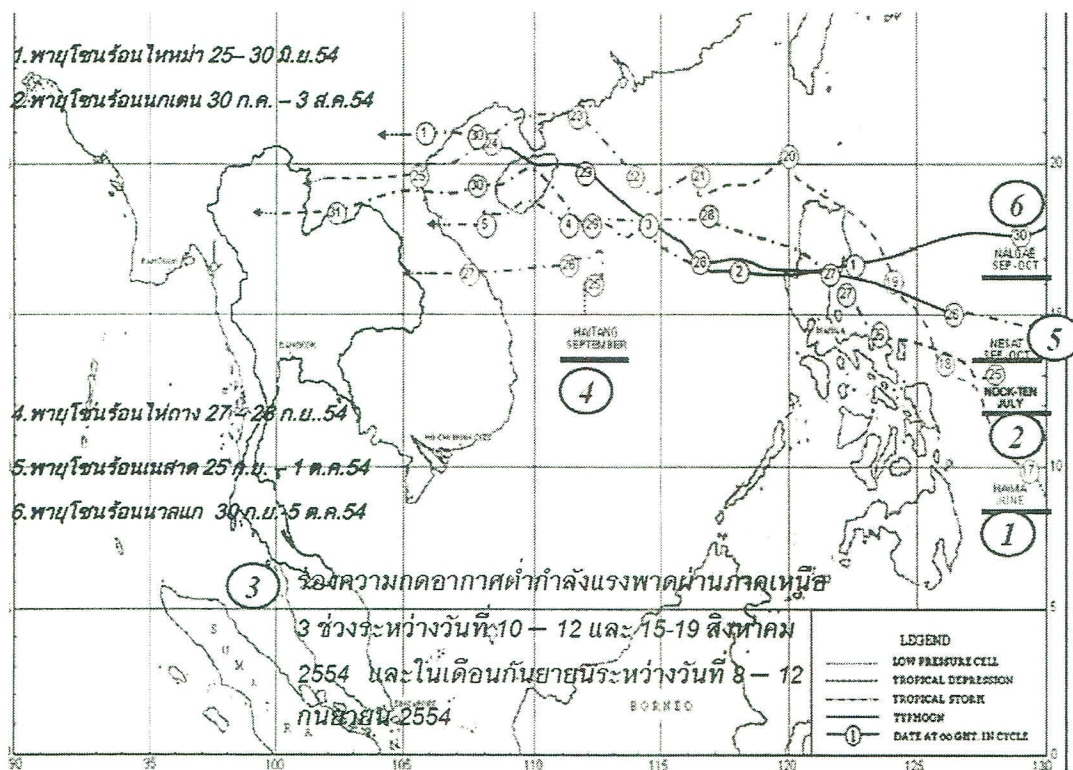
2.3.3 มหาอุทกวัย ปี พ.ศ. 2554

นับตั้งแต่เดือนธันวาคมปีจุบัน ประเทศไทยประสบกับสภาพอากาศเกิดอุทกวัยที่รุนแรงหลายครั้งด้วยกัน ซึ่งมูลค่าความเสียหายแต่ละปีเป็นจำนวนหลักพันล้านถึงหลักหมื่นล้าน โดยสถิติย้อนหลัง 20 ปี ตั้งแต่ปี 2532-2553 ประเทศไทยได้รับความเสียหายจากอุทกวัยเป็นมูลค่ารวม 1.3 แสนล้าน โดยความเสียหายครอบคลุมทั้งด้านชีวิต และทรัพย์สิน อาทิ ราชภูมิเดือดร้อนและเสียชีวิตอาชาร โรงเรียน สิ่งสาธารณูปโภค ฯลฯ ที่การเกษตรได้รับความเสียหาย

ประเทศไทยในอดีต โดยเฉพาะในช่วงหน้าฝนระหว่างเดือนกรกฎาคมถึงกันยายน ได้รับผลกระทบอย่างรุนแรงหลายครั้ง และเหตุที่มีการบันทึกข้อมูล พบว่า เหตุการณ์อุทกวัยเมื่อปี พ.ศ. 2485 (สมัยรัชกาลที่ 7) มีระดับน้ำท่วมสูงสุดโดยวัดระดับที่สะพานพุทธยอดฟ้าจุฬาโลกได้ 2.3 เมตร รถกา. ซึ่งในขณะนั้นยังไม่มีการสร้างอ่างเก็บน้ำต่างๆ เช่น เขื่อนภูมิพล (พ.ศ. 2507) และเขื่อนสิริกิติ์ (พ.ศ. 2514) ภายหลังมีการสร้างอ่างเก็บน้ำในพื้นที่ต้นน้ำแล้วยังมีเหตุการณ์น้ำท่วมครั้งสำคัญตามมาหลายครั้งได้แก่ ในปี พ.ศ. 2521, 2523, 2526 และ 2538 โดยเฉพาะในปี พ.ศ. 2526 และ 2538 มีปริมาณน้ำมากกว่าปีอื่นๆ ทำให้มีน้ำท่วมขังเป็นบริเวณกว้าง โดยระดับน้ำที่สะพานพุทธยอดฟ้าจุฬาโลก วัดได้ประมาณ 2.13 และ 2.25 เมตร รถกา.

วิกฤตอุทกวัยที่เริ่มมาตั้งแต่ปลายเดือนกรกฎาคม 2554 ส่งผลให้พื้นที่ในภาคกลางและภาคเหนือต้องลุน ภาคอีสานได้รับผลกระทบรุนแรง ครอบคลุม 64 จังหวัด ประเมินมูลค่าความเสียหายหลายแสนล้านบาท และยิ่งไปกว่านั้นยังเป็นครั้งแรกในประวัติศาสตร์ไทยที่น้ำท่วมเข้าท่ามโซนเศรษฐกิจและนิคมอุตสาหกรรมสำคัญ ความเสียหายจึงร้ายแรงและส่งผลกระทบเป็นวงกว้างต่อภาคเศรษฐกิจต่างๆ (สารวิช วงศ์อนันต์นนท์, 2554)

ในปี พ.ศ. 2554 ประเทศไทย ต้องเผชิญกับพายุโนร์มัน 5 ลูกด้วยกัน (รูปที่ 2.19) ตั้งแต่ปลายเดือนมิถุนายนจนถึงต้นตุลาคม (พายุ “ไหหน่า” ระหว่าง 24-26 มิถุนายน พายุ “นกเตน” ระหว่าง 30 กรกฎาคม – 3 สิงหาคม พายุ “ไห่ถาง” ระหว่าง 27-28 กันยายน พายุ “เนสาด” 25 กันยายน – 1 ตุลาคม และ พายุ “นาเลเก” 30 กันยายน – 5 ตุลาคม) ร่วมด้วยร่องความกดอากาศต่ำกำลังแรงก็พัดผ่านอยู่บนแนวภาคเหนือตอนบน-ตอนล่างนานนับเดือน จึงเกิดฝนตกหนักที่ภาคเหนือเป็นเวลานาน เป็นปีที่ภาคเหนือมีฝนตกโดยเฉลี่ยรวมทั้งปีมากถึง 1,687 มิลลิเมตร มากกว่าค่าเฉลี่ยทั้งปี (1,218 มิลลิเมตรต่อปี) ถึง 40% เป็นปรากฏการณ์ที่ไม่เคยปรากฏมาก่อนในอดีต เป็นเหตุให้น้ำท่วมปริมาณมากในแม่น้ำปิง ยม น่าน ใหม่มาสนใจที่จังหวัดนครสวรรค์ตั้งแต่นั้นมา เจ้าพระยาอย่างต่อเนื่อง แม่น้ำเจ้าพระยาได้รับน้ำจำนวนมากเกินความจุแม่น้ำ จึงล้นทั้งสองฝั่งไปทั่วพื้นที่ลุ่มต่ำได้รับความเสียหายเป็นบริเวณกว้างตั้งแต่จังหวัดนครสวรรค์ตลอดสองฝั่งแม่น้ำเจ้าพระยาลงมาจนถึงบริเวณกรุงเทพมหานคร (ปราโมทย์ ไม้กลัด, 2555)



รูปที่ 2.19 พาดูโซนร้อน 5 ลูก ที่ส่งผลกระทบต่อประเทศไทยในช่วงปลายเดือนมิถุนายนจนถึงต้นตุลาคม ที่มา: ทองเปโลว กองจันทร์ (2555)

นอกจากนี้ World Bank (2012) ได้ประเมินมูลค่าความเสียหายจากอุทกภัยปี 2554 ตามรายภาคส่วนต่างๆ พbmuluค่าความเสียหายประมาณ 1.4 ล้านล้านบาท โดยเฉพาะในภาคส่วนด้านการผลิต ที่อยู่อาศัย และภาคขนส่ง เป็นภาคส่วนที่มีมูลค่าความเสียหายสูงสุด 3 ลำดับแรก (รูปที่ 2.20)

| Sub Sector | Disaster Effects | | | Ownership | |
|------------------------------------|------------------|----------------|------------------|----------------|------------------|
| | Damage | Losses | Total | Public | Private |
| Infrastructure | | | | | |
| Water Resources Management | 8,715 | - | 8,715 | 8,715 | - |
| Transport | 23,538 | 6,938 | 30,476 | 30,326 | 150 |
| Telecommunication | 1,290 | 2,558 | 3,848 | 1,597 | 2,251 |
| Electricity | 3,186 | 5,716 | 8,901 | 5,385 | 3,517 |
| Water Supply and Sanitation | 3,497 | 1,984 | 5,481 | 5,481 | - |
| Productive | | | | | |
| Agriculture, Livestock and Fishery | 5,666 | 34,715 | 40,381 | - | 40,381 |
| Manufacturing | 513,881 | 493,258 | 1,007,139 | - | 1,007,139 |
| Tourism | 5,134 | 89,673 | 94,808 | 403 | 94,405 |
| Finance & Banking | - | 115,276 | 115,276 | 74,076 | 41,200 |
| Social | | | | | |
| Health | 1,684 | 2,133 | 3,817 | 1,627 | 2,190 |
| Education | 13,051 | 1,798 | 14,849 | 10,614 | 4,235 |
| Housing | 45,908 | 37,889 | 83,797 | - | 83,797 |
| Cultural Heritage | 4,429 | 3,076 | 7,505 | 3,041 | 4,463 |
| Cross Cutting | | | | | |
| Environment | 375 | 176 | 551 | 212 | 339 |
| TOTAL | 630,354 | 795,191 | 1,425,544 | 141,477 | 1,284,066 |

Source: DALA estimates, NESDB, and Ministry of Industry

Note: Losses for each sector include higher expenditures due to floods

รูปที่ 2.20 Summary of damage and losses by sector in Thai baht, millions

ที่มา: World Bank (2012)

การวิเคราะห์และสรุปสาเหตุการเกิดอุทกภัยปี 2554 สามารถจำแนกออกเป็น 2 สาเหตุ 4 ปัจจัย โดยพบว่า สาเหตุการเกิดอุทกภัยปี 2554 มีที่มาสาเหตุจากธรรมชาติส่วนหนึ่งและสาเหตุจากมนุษย์อีกส่วนหนึ่ง โดยสาเหตุจากธรรมชาติจะพบว่า การเปลี่ยนแปลงสภาพภูมิอากาศส่งผลให้มีปริมาณฝนเพิ่มขึ้นจากพายุ 5 ลูกในรอบ 1 ปี ร่วมกับร่องความกดอากาศต่ำกำลังแรง ส่งผลให้ปริมาณฝนเพิ่มขึ้นสูงกว่าค่าเฉลี่ยถึงร้อยละ 39 บริเวณตอนบนของประเทศไทย และเมื่อปริมาณฝนเพิ่มขึ้นย่อมส่งผลต่อปริมาณน้ำท่าที่ต้องเพิ่มสูงขึ้นเช่นเดียวกัน โดยแม่น้ำสายหลักจากภาคเหนือไหลมาร่วมกันที่ จ.นครสวรรค์ ส่งผลให้มีปริมาณน้ำไหลผ่าน 36,961 ล้านลบ.ม.มากกว่าปี 2538 ถึง 9,890 ล้าน ลบ.ม. ส่งผลให้น้ำเข้าท่วมพื้นที่โดยรอบซึ่งสภาพพื้นที่ลุ่มน้ำภาคกลางส่วนใหญ่

เป็นพื้นที่เสี่ยงต่อการเกิดน้ำท่วม ประกอบกับสภาพภูมิประเทศตอนบนของพื้นที่ลุ่มน้ำมีความลาดเทมาก ส่วนตอนล่างเป็นพื้นที่ลุ่มต่ำเอื้อต่อการเกิดน้ำท่วมขึ้น ดังตารางที่ 2.2

ตารางที่ 2.2 สาเหตุการเกิดอุทกภัยปี 2554

| สาเหตุการเกิดอุทกภัย ปี 2554 | |
|---|--|
| สาเหตุจากธรรมชาติ | สาเหตุจากมนุษย์ |
| <p>1. การเปลี่ยนแปลงสภาพภูมิอากาศ</p> <ul style="list-style-type: none"> - ส่งผลให้มีปริมาณฝนตกมากตั้งแต่เดือนกันยายน-ตุลาคม ซึ่งสูงกว่าค่าเฉลี่ยประมาณ 39% ในพื้นที่ภาคเหนือ และ 22% ในภาคกลางโดยได้รับอิทธิพลจากพายุโซนร้อน ให้หม่า นาเกเตน ให้ถูก น้ำตก น้ำแล้ง และร่อง ความกดอากาศต่ำกำลังแรงที่พัดผ่านภาคเหนือใน 3 ช่วง 10-12, 15-19 สิงหาคม 8-12 กันยายน | <p>1. การเปลี่ยนแปลงการใช้ประโยชน์ที่ดิน</p> <ul style="list-style-type: none"> - สภาพการใช้ประโยชน์ที่ดินเปลี่ยนแปลงไปจากอดีต อาทิ พื้นที่ป่าไม้เปลี่ยนเป็นชุมชน พื้นที่เกษตรกรรมเปลี่ยนเป็นเขตอุตสาหกรรมและหมู่บ้านบ้านจัดสรร ทำให้พื้นที่รองรับน้ำท่วมตามธรรมชาติ หรือ แก้ไข ซึ่งเป็นพื้นที่เกษตรกรรม มีไม้เพียงพอที่จะรองรับปริมาณน้ำจำนวนมากได้ |
| <p>2. ปริมาณน้ำท่ามากกว่าปกติ</p> <ul style="list-style-type: none"> - ปริมาณน้ำ สูงสุดที่เหลือต่อเนื่องตั้งแต่เดือนสิงหาคม-กันยายนเดือนตุลาคม 2554 และนารวมกันที่ จ. นครสวรรค์ ซึ่งมีปริมาณน้ำสูงสุด 4,686 ลบ.ม./วินาที และมีปริมาณน้ำไหลผ่าน 36,961 ล้านลบ.ม. มากกว่าปี 2538 ถึง 9,890 ล้าน ลบ.ม. | <p>2. การบริหารจัดการน้ำด้านการพัฒนาแหล่งน้ำ</p> <ul style="list-style-type: none"> - ศักยภาพแหล่งน้ำเพื่อการเก็บกักน้ำช่วงน้ำหลากไม่พอ รองรับปริมาณน้ำหลักปริมาณมากกว่าค่าปกติได้ - เครื่องมือบริหารจัดการน้ำใช้การไม่ได้ตามต้องการ ในช่วงน้ำหลาก และไม่เพียงพอต่อความต้องการ เช่น ประตูระบายน้ำ อาคารบังคับน้ำ และเครื่องสูบน้ำ |
| <p>3. ลักษณะทางกายภาพและภูมิประเทศ</p> <ul style="list-style-type: none"> - สภาพพื้นที่ลุ่มน้ำภาคกลางส่วนใหญ่เป็นพื้นที่เสี่ยงต่อการเกิดน้ำท่วม ประกอบกับสภาพภูมิประเทศตอนบนของพื้นที่ลุ่มน้ำมีความลาดเทมาก ส่วนตอนล่างเป็นพื้นที่ลุ่มต่ำ เอื้อต่อการเกิดน้ำท่วมขึ้น - สภาพลำน้ำต่อตอนบนของพื้นที่ลุ่มน้ำมีความกว้างมากกว่าลำน้ำต่อตอนล่าง ซึ่งไม่เอื้อต่อการระบายน้ำ ทำให้น้ำท่วมขึ้นในพื้นที่ตอนกลางเป็นระยะเวลานาน | <p>3. การสร้างระบบป้องกันตนเอง</p> <ul style="list-style-type: none"> - บุคคล/ชุมชน/เมือง ทำคันกันน้ำป้องกันตนเอง น้ำจังระบายน้ำได้ช้าและท่วมขึ้นเป็นเวลานาน - การสูบน้ำออกไปเพิ่ม ปริมาณน้ำในพื้นที่อื่น <p>4. การขยายตัวของชุมชน/เศรษฐกิจ</p> <ul style="list-style-type: none"> - สร้างชุมชน บนพื้นที่น้ำท่วมขึ้นในอดีต - ระบบสาธารณูปโภค ถนน รากล้าและกีดขวางทางน้ำ และการไฟฟ่องน้ำตามธรรมชาติ |

เมื่อพิจารณาสาเหตุของการเกิดอุทกภัยที่เกิดจากมนุษย์ ก็จะพบความสัมพันธ์เชื่อมโยงกันอย่างชัดเจน นั่นคือ การเปลี่ยนแปลงรูปแบบการใช้ประโยชน์ที่ดิน พื้นที่ป่าไม้เปลี่ยนเป็นชุมชน พื้นที่เกษตรกรรมเปลี่ยนเป็นเขตอุตสาหกรรมและหมู่บ้านบ้านจัดสรร ทำให้พื้นที่รองรับน้ำท่วมตามธรรมชาติ หรือแก้ไข ซึ่งเป็นพื้นที่เกษตรกรรม มีไม้เพียงพอที่จะรองรับปริมาณน้ำจำนวนมากได้ นอกจากนี้จะพบปัญหาด้านเครื่องมือบริหารจัดการน้ำที่ไม่สามารถสนับสนุนความต้องการใช้งานในช่วงน้ำหลากได้ เช่น ประตูระบายน้ำพัง เสียหาย เครื่องสูบน้ำไม่เพียงพอ เป็นต้น อีกหนึ่งปัจจัยสำคัญที่เอื้อหนุนให้ผลกระทบจากอุทกภัยมีระยะเวลาที่ยาวนานมากขึ้น คือ กลวิธีการ การสร้างระบบป้องกันตนเองของบุคคล/ชุมชน/เมือง ที่ดำเนินการจัดทำคันกันน้ำป้องกันตัวเอง ส่งผลให้อัตราการ

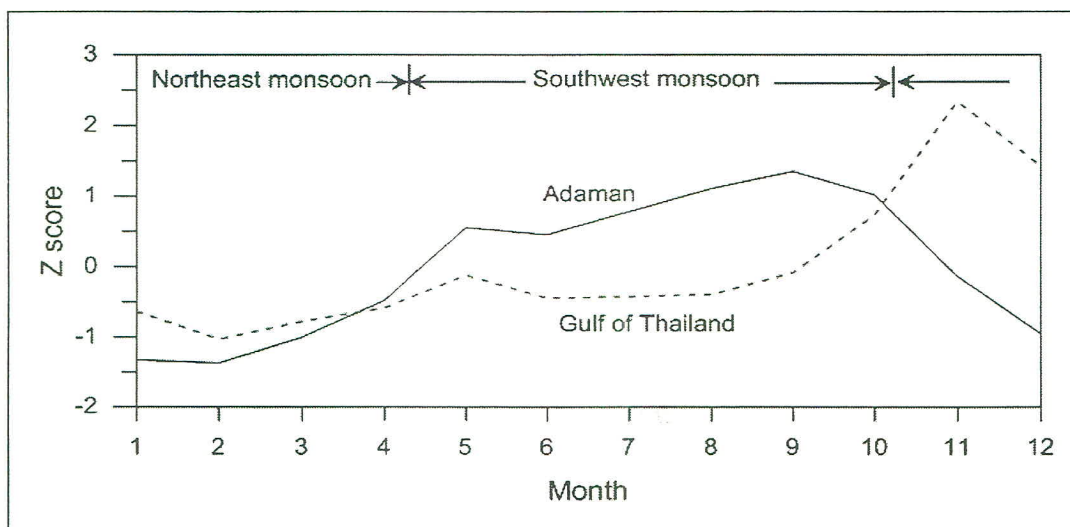
ให้ลดตามธรรมชาติของน้ำในแหล่งน้ำที่มีความสำคัญ คือ การขยายตัวของชุมชน/เศรษฐกิจ เมื่อจำนวนประชากรเพิ่มมากขึ้น อัตราการขยายตัวของชุมชนและเศรษฐกิจย่อมสูงขึ้นตาม การปลูกสร้างสถานที่อยู่อาศัยหรือโรงงานอุตสาหกรรมในพื้นที่ที่น้ำท่วมซ้ำซากในอดีตย่อมมีความเสี่ยงสูงต่อการได้รับผลกระทบจากอุทกภัย ในขณะที่ชุมชนและอุตสาหกรรมขยายตัว ระบบสาธารณูปโภคขั้นพื้นฐานก็ต้องขยายตัวตาม เช่น ถนน เพิ่มมากขึ้น ก็จะเป็นการขวางเส้นทางไหลของน้ำ เป็นต้น (ทองเปลา กองจันทร์, 2555)

ปัจจุบันและต่อเนื่องในอนาคต ประเทศไทยมีการกิจกรรมแก้ปัญหาน้ำท่วมและอุทกภัยมากมายที่ต้องทำในหลายยุทธศาสตร์ให้เหมาะสมกับสภาพปัญหาและท้องถิ่นซึ่งมีความแตกต่างกัน แต่เราไม่มีหน่วยงานระดับนโยบาย และหน่วยงานปฏิบัติเป็นเจ้าภาพรับผิดชอบเรื่องการจัดการน้ำท่วมและอุทกภัยอย่างชัดเจนเลย จึงถึงเวลาที่ผู้บริหารประเทศไทยต้องวิเคราะห์ถึงองค์กรและระบบการบริหารจัดการ เพื่อความหวังให้การแก้ปัญหาต่างๆ ดำเนินไปอย่างมีเอกภาพสามารถขับเคลื่อนมาตรการแก้ปัญหาตามที่กล่าวข้างต้นนั้นให้บังเกิดผลสำเร็จอย่างเป็นรูปธรรมในทุกห้องที่มีปัญหา หากมีการขับเคลื่อนดำเนินการตามยุทธศาสตร์ และมาตรการที่กล่าวถึงอย่างเป็นระบบให้บรรลุการกันได้อย่างชัดเจนแล้ว อนาคตไม่นานเกินรอเราควรแก้ปัญหาทุกด้านให้บรรเทาเบาบางลงได้อย่างแน่นอน (ปราโมทย์ ไม้กลัด, 2555)

2.4 พื้นที่ภาคใต้และลักษณะทางสภาพภูมิอากาศ

พื้นที่ภาคใต้มีลักษณะสภาพภูมิอากาศที่ค่อนข้างแตกต่างจากภาคอื่นๆ สืบเนื่องจากลักษณะทางภูมิประเทศที่ขวางด้วยทะเลทั้งสองด้าน และแนวเทือกเขาระหว่างตัวขานกับคาบสมุทรซึ่งแบ่งภาคใต้ออกเป็นสองฝั่ง ด้วยปัจจัยจำเพาะทางภูมิประเทศดังกล่าว ผนวกกับพลวัตรตามธรรมชาติในระดับ Meso-scale ของ Convective system ที่ปฏิสัมพันธ์กับ Gravity wave, Density current และ Local circulation ที่มีการเคลื่อนตัวในลักษณะ Diurnal propagation ในพื้นที่ชายฝั่งและพื้นที่บริเวณเทือกเขา (Teo et al., 2011) ทำให้ถูกผลกระทบจากอุทกภัยอย่างรุนแรงของฝนในภาคเวลาระหว่างปีและระยะยาวนั้น Limsakul et al. (2010) พบว่า ในช่วง 30 ปีที่ผ่านมา บริเวณชายฝั่งทะเลอันดามัน มีการเปลี่ยนแปลงที่มีนัยสำคัญซึ่งประกอบด้วย การลดลงของปริมาณฝนรวมรายปีและความแรง รวมถึงความถี่ของเหตุการณ์ฝนตกหนัก ในขณะที่ สภาวะความรุนแรงของฝนบริเวณชายฝั่งตะวันตกของอ่าวไทย มีการเปลี่ยนแปลงที่ตรงกันข้าม ในลักษณะที่เพิ่มขึ้นของความแรงของฝนซึ่งเกี่ยวโยงกับการลดลงอย่างมีนัยสำคัญของจำนวนวันฝนตก การเปลี่ยนแปลงดังกล่าว อาจส่งผลให้ภาคใต้หั้งสองฝั่งมีความเสี่ยงเพิ่มขึ้นจากภัยพิบัติทางภูมิอากาศในรูปแบบที่แตกต่างกัน กล่าวคือ สภาวะแห้งแล้งและขาดแคลนน้ำในฝั่งอันดามันแต่อาจเกิดน้ำท่วมฉับพลันในฝั่งอ่าวไทย นอกจากนี้ อุศมน ลิ่มสกุล และคณะ (2553) พบว่า ปริมาณฝนสะสมและจำนวนวันฝนตกในช่วงเดือนธันวาคม-กุมภาพันธ์ของพื้นที่ภาคใต้ฝั่งอันดามัน มีแนวโน้มเพิ่มขึ้นอย่างมีนัยสำคัญ ในอัตราเฉลี่ย 15% และ 9.8% ต่อทศวรรษ (เมื่อเปรียบเทียบกับค่าเฉลี่ยในช่วง 1975-2009) ตามลำดับโดยการเปลี่ยนแปลงดังกล่าวนี้ อาจเชื่อมโยงกับความแปรปรวนของภูมิอากาศในระดับภูมิภาคโดยเฉพาะอย่างยิ่ง ผลกระทบคือน้ำล้ออากาศเย็นช่วงมรสุมตะวันออกเฉียงเหนือ ที่พัดพาจากไซบีเรียและความกด

อากาศสูงจากประเทศจีน ซึ่งมีการเปลี่ยนแปลงในเรื่องความรุนแรงและความถี่ของการเกิดที่เพิ่มขึ้นในช่วงทศวรรษที่ผ่านมา (Chen et al., 2004; D'Arrigo et al., 2005; Panagiotopoulos et al., 2005; Wang et al., 2009)



รูปที่ 2.21 ความแปรปรวนตามฤดูกาลของปริมาณน้ำฝนในพื้นที่บริเวณฝั่งอันดามันและฝั่งอ่าวไทย ซึ่งแสดงในรูป Z score ของค่าเฉลี่ยระยะยาตรา (ค.ศ. 1970-2009)

2.5 ผลกระทบของความแปรปรวนและการเปลี่ยนแปลงสภาพภูมิอากาศต่อภาคเกษตรของประเทศไทย

2.5.1 บริบทภาคการเกษตรและพืชเศรษฐกิจของประเทศไทย

ประเทศไทยมีเนื้อที่ใช้ประโยชน์ทางการเกษตร 149,246,428 ไร่ หรือคิดเป็นร้อยละ 47 ของพื้นที่ทั้งประเทศ โดยภาคตะวันออกเฉียงเหนือมีพื้นที่ใช้ประโยชน์ทางการเกษตรสูงสุดคิดเป็นร้อยละ 43 ของพื้นที่ใช้ประโยชน์ทางการเกษตรทั้งหมด รองลงมา คือ ภาคเหนือ ภาคกลาง และภาคใต้ ตามลำดับ (สำนักงานเศรษฐกิจการเกษตร, 2554)

สำนักนโยบายและแผนพัฒนาการเกษตร (2555) ได้รายงานภาวะเศรษฐกิจการเกษตรในปี 2555 โดยสรุป พบว่า ขยายตัวประมาณร้อยละ 4.0 เมื่อเทียบกับปีที่ผ่านมา เนื่องจากการผลิตสินค้าเกษตรโดยทั่วไปกลับเข้าสู่ภาวะปกติภายหลังสถานการณ์น้ำท่วมครั้งใหญ่ในช่วงปลายปี 2554 ประกอบกับสภาพพื้นที่อากาศที่เอื้ออำนวย แม้ว่าจะพบการระบาดของแมลงศัตรูพืชโรคระบาดในพืชในบางพื้นที่แต่สามารถควบคุมได้ดี ซึ่งสาขาน้ำมืออัตราการขยายตัวร้อยละ 5.5 เมื่อเทียบกับปี 2554 แม้ว่าในปีนี้จะมีสถานการณ์ภัยพิบัติด้านการเกษตรทั้งภัยแล้ง ฝนทึบช่วงและอุทกภัยเกิดขึ้นในบางพื้นที่ของประเทศไทย แต่ไม่ได้สร้างความเสียหายกับภาคเกษตรมากนัก ผลผลิตพืชสำคัญที่เพิ่มขึ้น ได้แก่ ข้าวนาปี ข้าวนา บรังมัน สำปะหลัง ยางพารา และปาล์มน้ำมัน รวมถึงผลไม้ ซึ่งเป็นผลมาจากการภูมิอากาศที่เอื้ออำนวยต่อการเจริญเติบโตของพืช การระบาดของโรคและแมลงศัตรูพืชไม่รุนแรงอยู่ในระดับที่ควบคุมได้ ประกอบกับผลผลิตพืชบางชนิดที่มีการขยายพื้นที่ปลูกในช่วงระยะเวลาปีที่ผ่านมา เริ่มทยอย

ให้ผลผลิตมากขึ้น รวมทั้งการดูแลเอาใจใส่ที่ดีของเกษตรกร สำหรับผลผลิตข้าวเพิ่มขึ้นจากแรงงานทางด้านราคา ทำให้เกษตรกรขยายพื้นที่เพาะปลูกเพิ่มขึ้น

ด้านราคาสินค้าพืชที่เพิ่มขึ้น ได้แก่ ข้าวข้าวโพดเลี้ยงสัตว์ อ้อยโรงงาน โดยราคาข้าวเป็นไปตามมาตรการยกระดับราคากาแฟในประเทศไทย ด้านข้าวโพดเลี้ยงสัตว์ อยู่ในช่วงที่มีความต้องการใช้เพื่อเป็นวัตถุดิบอาหารสัตว์ เพิ่มขึ้นและอ้อยโรงงานเป็นไปตามความต้องการและราคาในตลาดโลก สำหรับยางพารา ปาล์มน้ำมัน มันสำปะหลัง สับปะรดและผลไม้ มีราคาลดลง โดยราคายางพารา ปาล์มน้ำมัน สับปะรด ลดลงตามวิกฤติเศรษฐกิจโลก ราคามันสำปะหลัง ลดลงจากการรับจำนำสามารถเปิดจุดรับจำนำได้น้อยทำให้เกษตรกรต้องจำนำยังมันสำปะหลัง ลดลงจากการรับซื้อมันสำปะหลังในราคาน้ำมัน สำหรับยางพารา ลดลงจากผลผลิตที่ออกสูงตลาดมาก

ด้านการส่งออกสินค้าที่มีปริมาณและมูลค่าส่งออกเพิ่มขึ้น ได้แก่ มันสำปะหลังและผลิตภัณฑ์น้ำตาลและผลิตภัณฑ์และผลไม้ซึ่งเป็นไปตามความต้องการของตลาดต่างประเทศที่ยังคงมีอย่างต่อเนื่อง สำหรับข้าวโพดเลี้ยงสัตว์ น้ำมันปาล์ม และสับปะรดกระปอง มีปริมาณและมูลค่าการส่งออกลดลงเมื่อเทียบกับปีที่ผ่านมา โดยข้าวมีความต้องการจากต่างประเทศลดลง เนื่องจากผู้นำเข้าหันไปนำเข้าข้าวจากเวียดนามและอินเดียที่ราคาถูกกว่าไทย ขณะที่ น้ำมันปาล์ม มีสาเหตุจากราคาในตลาดโลกต่ำกว่าราคาน้ำมันปาล์มในประเทศไทย ให้มีการส่งออกและยางพารา มูลค่าการส่งออกลดลงจากการส่งออกที่ตกต่ำ เพราะปัญหาเศรษฐกิจโลก

พืชเศรษฐกิจหลักที่สำคัญของประเทศไทย ได้แก่ ข้าว มันสำปะหลัง อ้อย ข้าวโพดเลี้ยงสัตว์ ยางพารา ปาล์มน้ำมัน ผลไม้ พืชผักและไม้ดอก ซึ่งการทบทวนเอกสารในหัวข้อ 2.5.1 นี้ จะนำเสนอข้อมูลเชิงสถิติจากองค์กรอาหารและเกษตรแห่งสหประชาชาติที่ปรับปรุงข้อมูลสำนักงานเศรษฐกิจการเกษตร ซึ่งเป็นข้อมูลล่าสุด ณ มกราคม 2556 ประกอบด้วยข้อมูลเนื้อที่ ผลผลิต ผลผลิตต่อไร่ ราคาน้ำมัน และมูลค่าของผลผลิตตามราคาน้ำมันที่เกษตรกรขายได้ในช่วงระหว่างปี 2546–2556 จำแนกออกเป็นพืชเศรษฐกิจหลัก 6 ประเภท (ข้าว ข้าวโพดเลี้ยงสัตว์ มันสำปะหลัง อ้อย ปาล์มน้ำมัน และยางพารา) ไม้ผล 3 ประเภท (ทุเรียน ลองกอง และมังคุด) ซึ่งมีรายละเอียด ดังนี้

(1) ข้าวรวม (นาปีและนาปรัง) จากข้อมูลสำนักงานเศรษฐกิจการเกษตร พบร้า ในปี 2554 ประเทศไทยสามารถผลิตข้าวได้ 38,091 ล้านตัน จัดเป็นลำดับที่ 6 ของโลก รองลงมาจากประเทศไทย อินเดีย อินโดนีเซีย บังคลาเทศ และเวียดนาม ตามลำดับ ในปี 2555 เนื้อที่เพาะปลูกข้าวในประเทศไทย มีประมาณ 79,754 ล้านไร่ มีเนื้อที่เก็บเกี่ยว 75,754 ล้านไร่ สร้างผลผลิตข้าว 36,854 ล้านตัน คิดเป็น 490 กิโลกรัมต่อไร่ ราคายาโดยเฉลี่ยต่อตันที่ 12,398 บาท สร้างมูลค่าของผลผลิตตามที่เกษตรกรขายได้ 456,920 ล้านบาท ซึ่งเป็นสถิติสูงสุดในรอบ 10 ปี ตารางที่ 2.3 และรูปที่ 2.22 แสดงข้าวรวม (นาปี และนาปรัง) เนื้อที่เพาะปลูก ผลผลิต และผลผลิตต่อไร่

ตารางที่ 2.3 เนื้อที่ พลผลิต และมูลค่าของข้าวรวม ในช่วงระหว่างปี 2546–2555

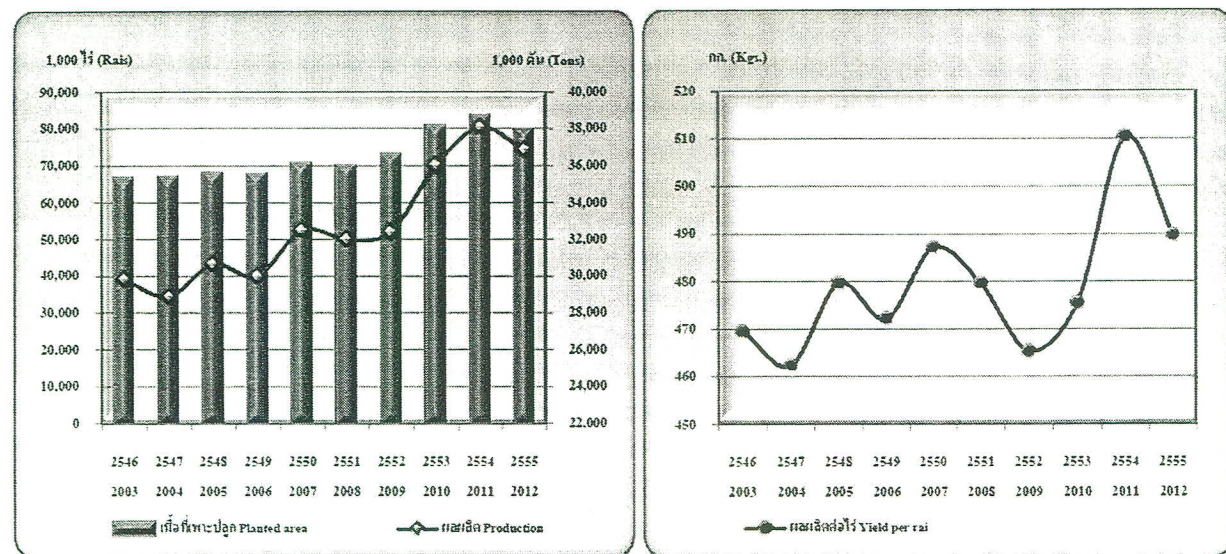
| ปี | เนื้อที่เพาะปลูก (1,000 ไร่) Planted area | เนื้อที่เก็บเกี่ยว (1,000 ไร่) Harvested area | ผลผลิต (1,000 ตัน) Production | ผลผลิตต่อไร่ (กก.) Yield per rai | ราคา ที่เกษตรกร ขายได้ (บาท/ตัน) Farm price | มูลค่าของผลผลิต ตามราคาที่ เกษตรกรขายได้ (ล้านบาท) Farm value | |
|-----|---|---|-------------------------------------|--|---|---|---------|
| | (1,000 rais) | (1,000 rais) | (1,000 tons) | (Kgs.) | (Baht per ton) | (Million baht) | |
| | (r) | 2546 | 66,404 | 63,524 | 29,823 | 469 | 5,569 |
| (r) | 2547 | 66,565 | 62,455 | 28,873 | 462 | 6,653 | 192,092 |
| (r) | 2548 | 67,677 | 63,906 | 30,649 | 480 | 6,922 | 212,152 |
| (r) | 2549 | 67,616 | 63,532 | 29,994 | 472 | 6,832 | 204,919 |
| (r) | 2550 | 70,187 | 66,681 | 32,482 | 487 | 11,271 | 366,105 |
| (r) | 2551 | 69,825 | 66,772 | 32,020 | 480 | 9,689 | 310,242 |
| (r) | 2552 | 72,720 | 69,626 | 32,396 | 465 | 9,973 | 323,085 |
| (r) | 2553 | 80,676 | 75,747 | 36,004 | 475 | 10,810 | 389,203 |
| (p) | 2554 | 83,329 | 74,652 | 38,091 | 510 | 11,841 | 451,036 |
| (f) | 2555 | 79,754 | 75,266 | 36,854 | 490 | 12,398 | 456,920 |

* r = ตัวเลขแก้ไขใหม่

* f = ตัวเลขจากการคาดคะเน

* p= ตัวเลขเบื้องต้น

ที่มา : สำนักงานเศรษฐกิจการเกษตร 2555



รูปที่ 2.22 ข้าวรวม (นาปี และนาปรัง) เนื้อที่เพาะปลูก พลผลิต และผลผลิตต่อไร่ปี 2546–2555

(2) ข้าวโพดเลี้ยงสัตว์ ในปี 2555 เนื้อที่เพาะปลูกในประเทศไทยมีประมาณ 7,367 ล้านไร่ เนื้อที่เก็บเกี่ยว 7,156 ล้านไร่ สร้างผลผลิตข้าวโพดเลี้ยงสัตว์ 4,956,000 ตัน คิดเป็น 694 กิโลกรัมต่อไร่ ราคาขาย 9.14 บาทต่อกิโลกรัม สร้างมูลค่าของผลผลิตตามที่เกษตรกรขายได้ 46,717 ล้านบาท (ตารางที่ 2.4 และรูปที่ 2.23)

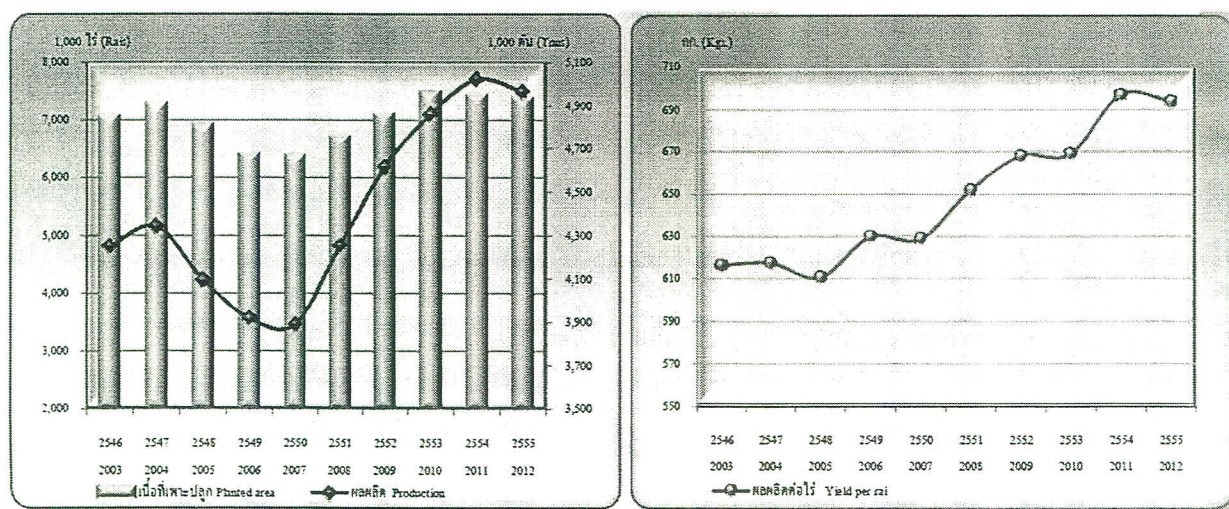
ตารางที่ 2.4 เนื้อที่ ผลผลิต และมูลค่าของข้าวโพดเลี้ยงสัตว์ ในช่วงระหว่างปี 2546–2555

| ปี | เนื้อที่เพาะปลูก (1,000 ไร่) Planted area (1,000 rai) | เนื้อที่เก็บเกี่ยว (1,000 ไร่) Harvested area (1,000 rai) | ผลผลิต (1,000 ตัน) Production (1,000 tons) | ผลผลิตต่อไร่ (กก.) Yield per rai (Kgs.) | ราคา ที่เกษตรกร ขายได้ (บาท/กก.) Farm price (Baht per kg.) | มูลค่าของผลผลิต ตามราคาที่ เกษตรกรขายได้ (ล้านบาท) Farm value (Million baht) |
|----------|--|--|---|--|---|---|
| 2546 | 7,067 | 6,895 | 4,249 | 616 | 4.43 | 18,823 |
| 2547 | 7,272 | 7,032 | 4,341 | 617 | 4.59 | 19,927 |
| 2548 | 6,906 | 6,704 | 4,094 | 611 | 4.78 | 19,569 |
| 2549 | 6,405 | 6,223 | 3,918 | 630 | 5.45 | 21,355 |
| 2550 | 6,364 | 6,187 | 3,890 | 629 | 6.89 | 26,804 |
| 2551 | 6,692 | 6,518 | 4,249 | 652 | 7.01 | 29,788 |
| 2552 | 7,099 | 6,905 | 4,616 | 668 | 5.43 | 25,065 |
| 2553 | 7,481 | 7,268 | 4,861 | 669 | 8.13 | 39,518 |
| (p) 2554 | 7,416 | 7,207 | 5,022 | 697 | 7.63 | 38,318 |
| (f) 2555 | 7,367 | 7,156 | 4,965 | 694 | 9.41 | 46,717 |

* f= ตัวเลขจากการคาดคะเน

* p= ตัวเลขเบื้องต้น

ที่มา : สำนักงานเศรษฐกิจการเกษตร 2555



รูปที่ 2.23 ข้าวโพดเลี้ยงสัตว์ เนื้อที่เพาะปลูก ผลผลิต และผลผลิตต่อไร่ปี 2546–2555

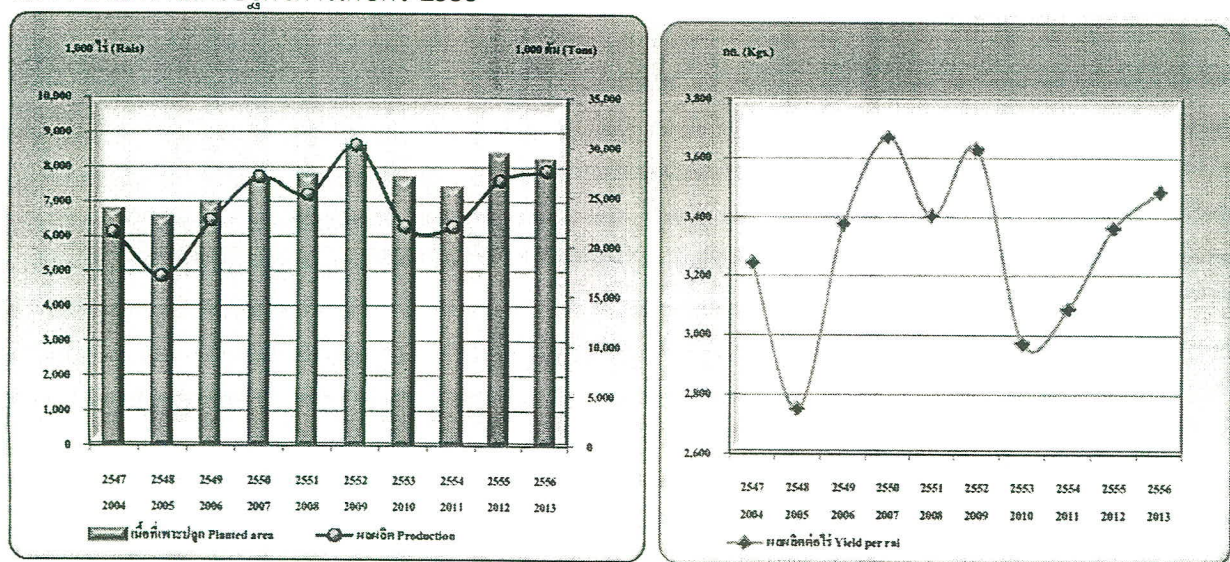
(3) มันสำปะหลังโรงงาน ในปี 2555 เนื้อที่เพาะปลูกในประเทศไทย มีประมาณ 9,254 ล้านไร่ เนื้อที่เก็บเกี่ยว 8,601 ล้านไร่ สร้างผลผลิต 29,410,000 ตัน คิดเป็น 3,419 กิโลกรัมต่อไร่ ราคาขาย 2.09 บาทต่อกิโลกรัม สร้างมูลค่าของผลผลิตตามที่เกษตรกรขายได้ 61,467 ล้านบาท (ตารางที่ 2.5 และรูปที่ 2.24)

ตารางที่ 2.5 เนื้อที่ ผลผลิต และมูลค่าของมันสำปะหลังโรงงาน ในช่วงระหว่างปี 2547–2556

| ปี | เนื้อที่เพาะปลูก (1,000 ไร่) Planted area (1,000 rais) | เนื้อที่เก็บเกี่ยว (1,000 ไร่) Harvested area (1,000 rais) | ผลผลิต (1,000 ตัน) Production (1,000 tons) | ผลผลิตต่อไร่ (กก.) Yield per rai (Kgs.) | ราคา ที่เกษตรกร ขายได้ (บาท/กก.) Farm price (Baht per kg.) | มูลค่าของผลผลิต ตามราคาที่ เกษตรกรขายได้ (ล้านบาท) Farm value (Million baht) |
|----------|---|---|---|--|---|---|
| | | | | | | |
| 2547 | 6,757 | 6,608 | 21,440 | 3,244 | 0.80 | 17,152 |
| 2548 | 6,524 | 6,162 | 16,938 | 2,749 | 1.33 | 22,528 |
| 2549 | 6,933 | 6,693 | 22,584 | 3,375 | 1.29 | 29,134 |
| 2550 | 7,623 | 7,339 | 26,916 | 3,668 | 1.18 | 31,760 |
| 2551 | 7,750 | 7,397 | 25,156 | 3,401 | 1.93 | 48,551 |
| 2552 | 8,584 | 8,292 | 30,088 | 3,629 | 1.19 | 35,805 |
| 2553 | 7,669 | 7,405 | 22,006 | 2,972 | 1.84 | 40,491 |
| 2554 | 7,400 | 7,096 | 21,912 | 3,088 | 2.68 | 58,725 |
| (p) 2555 | 9,254 | 8,601 | 29,410 | 3,419 | 2.09 | 61,467 |
| (f) 2556 | 8,777 | 8,437 | 27,135 | 3,216 | 2.11 | 57,255 |

* f= ตัวเลขจากการคาดคะเน * p= ตัวเลขเบื้องต้น

ที่มา : สำนักงานเศรษฐกิจการเกษตร 2555



รูปที่ 2.24 มันสำปะหลังโรงงาน เนื้อที่เพาะปลูก ผลผลิต และผลผลิตต่อไร่ปี 2546–2555

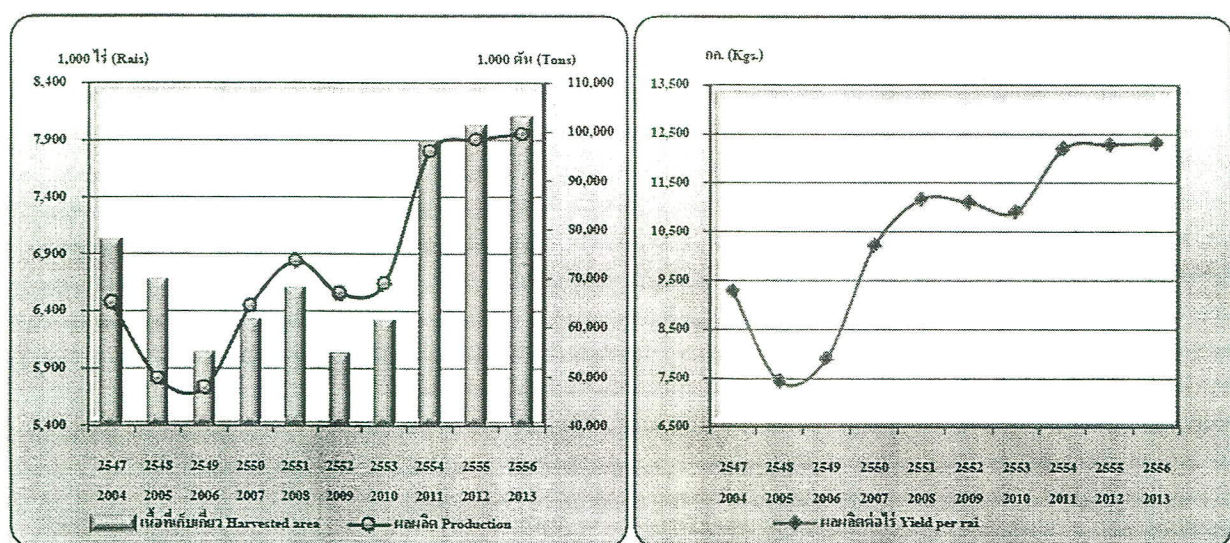
(4) อ้อยโรงงาน ในปี 2555 มีเนื้อที่เก็บเกี่ยว 8,013 ล้านไร่ สร้างผลผลิตอ้อยโรงงาน 98,400 ล้านตัน คิดเป็น 12,280 กิโลกรัมต่อไร่ ราคาขาย 954 บาทต่อล้าน สร้างมูลค่าของผลผลิตตามที่เกษตรกรขายได้ 93,874 ล้านบาท (ตารางที่ 2.6 และรูปที่ 2.25)

ตารางที่ 2.6 เนื้อที่ ผลผลิต และมูลค่าของอ้อยโรงงาน ในช่วงระหว่างปี 2547-2556

| ปี | เนื้อที่เก็บเกี่ยว (1,000 ไร่) Harvested area (1,000 rai) | ผลผลิต (1,000 ตัน) Production (1,000 tons) | ผลผลิตต่อไร่ (กก.) Yield per rai (Kgs.) | ราคา ที่เกษตรกร ขายได้ (บาท/ตัน) Farm price (Baht per ton) | มูลค่าของผลผลิต ตามราคาที่ เกษตรกรขายได้ (ล้านบาท) Farm value (Million baht) |
|----------|--|---|--|---|---|
| | | | | | |
| 2547 | 7,012 | 64,996 | 9,269 | 368 | 23,918 |
| 2548 | 6,670 | 49,586 | 7,434 | 520 | 25,785 |
| 2549 | 6,033 | 47,658 | 7,899 | 688 | 32,789 |
| 2550 | 6,314 | 64,365 | 10,194 | 683 | 43,962 |
| 2551 | 6,588 | 73,502 | 11,157 | 577 | 42,410 |
| 2552 | 6,023 | 66,816 | 11,094 | 700 | 46,772 |
| 2553 | 6,310 | 68,808 | 10,905 | 861 | 59,244 |
| 2554 | 7,870 | 95,950 | 12,192 | 908 | 87,123 |
| 2555 | 8,013 | 98,400 | 12,280 | 954 | 93,874 |
| (f) 2556 | 8,093 | 99,597 | 12,307 | 910 | 90,633 |

* f = ตัวเลขจากการคาดคะเน

ที่มา : สำนักงานเศรษฐกิจการเกษตร 2555



รูปที่ 2.25 มันสำปะหลังโรงงาน เนื้อที่เพาะปลูก ผลผลิต และผลผลิตต่อไร่ปี 2547-2556

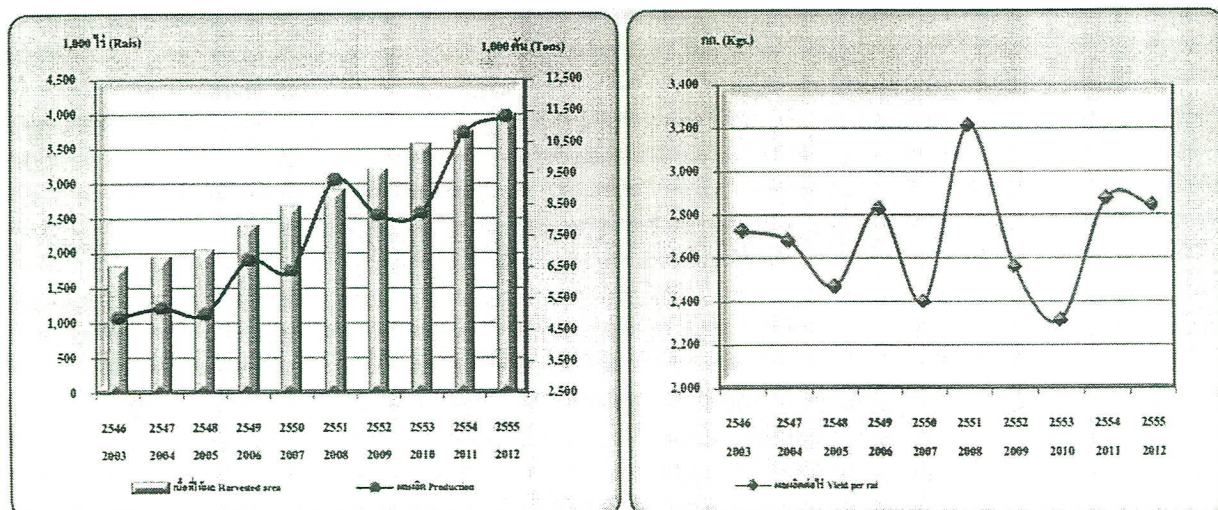
(5) ปาล์มน้ำมัน ในปี 2555 เนื้อที่เพาะปลูกในประเทศไทย มีประมาณ 4,316 ล้านไร่ เนื้อที่เก็บเกี่ยว 3,983 ล้านไร่ สร้างผลผลิตปาล์มน้ำมัน 11,327 ล้านตัน คิดเป็น 2,844 กิโลกรัมต่อไร่ ราคาขาย 4.91 บาทต่อ กิโลกรัม สร้างมูลค่าของผลผลิตตามที่เกษตรกรขายได้ 55,614 ล้านบาท (ตารางที่ 2.7 และรูปที่ 2.26)

ตารางที่ 2.7 เนื้อที่ ผลผลิต และมูลค่าของปาล์มน้ำมัน ในช่วงระหว่างปี 2546–2555

| ปี | เนื้อที่ยืนต้น (1,000 ไร่) Planted area (1,000 rais) | เนื้อที่หักผล (1,000 ไร่) Harvested area (1,000 rais) | ผลผลิต (1,000 ตัน) Production (1,000 tons) | ผลผลิตต่อไร่ (กก.) Yield per rai (Kgs.) | ราคา ที่เกษตรกร ขายได้ (บาท/กг.) Farm price (Baht per kg.) | มูลค่าของผลผลิต ตามราคาที่ เกษตรกรขายได้ (ล้านบาท) Farm value (Million baht) |
|----------|---|--|---|--|---|---|
| | | | | | | |
| 2546 | 2,057 | 1,799 | 4,903 | 2,725 | 2.34 | 11,472 |
| 2547 | 2,405 | 1,932 | 5,182 | 2,682 | 3.11 | 16,115 |
| 2548 | 2,748 | 2,026 | 5,003 | 2,469 | 2.76 | 13,807 |
| 2549 | 2,957 | 2,374 | 6,715 | 2,828 | 2.39 | 16,049 |
| 2550 | 3,200 | 2,663 | 6,390 | 2,399 | 4.07 | 26,007 |
| 2551 | 3,676 | 2,885 | 9,271 | 3,214 | 4.23 | 39,214 |
| 2552 | 3,890 | 3,188 | 8,163 | 2,561 | 3.64 | 29,712 |
| 2553 | 4,077 | 3,552 | 8,223 | 2,315 | 4.26 | 35,031 |
| 2554 | 4,176 | 3,747 | 10,777 | 2,876 | 5.34 | 57,549 |
| (p) 2555 | 4,316 | 3,983 | 11,327 | 2,844 | 4.91 | 55,614 |

* p= ตัวเลขเบื้องต้น

ที่มา : สำนักงานเศรษฐกิจการเกษตร 2555



รูปที่ 2.26 ปาล์มน้ำมัน เนื้อที่เพาะปลูก ผลผลิต และผลผลิตต่อไร่ปี 2546–2555

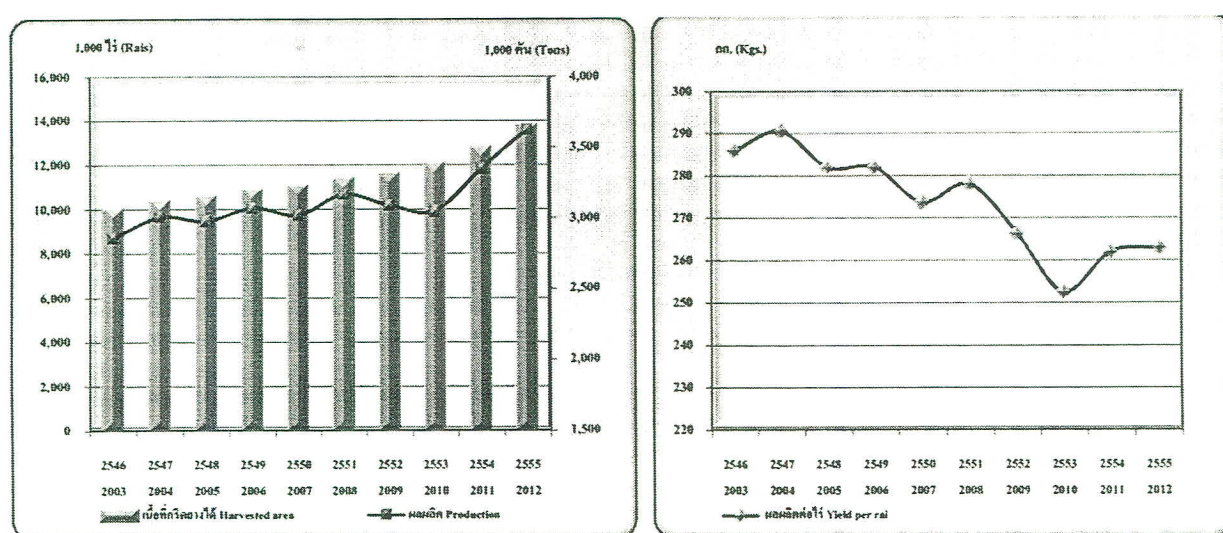
(6) ยางพารา ในปี 2555 เนื้อที่เพาะปลูกในประเทศไทย มีประมาณ 19,273 ล้านไร่ เนื้อที่เก็บเกี่ยว 13,807 ล้านไร่ สร้างผลผลิตยางพารา 3,625 ล้านตัน คิดเป็น 263 กิโลกรัมต่อไร่ ราคาขาย 87.15 บาทต่อ กิโลกรัม สร้างมูลค่าของผลผลิตตามที่เกษตรกรขายได้ 315,944 ล้านบาท (ตารางที่ 2.8 และรูปที่ 2.27)

ตารางที่ 2.8 เนื้อที่ ผลผลิต และมูลค่าของยางพารา ในช่วงระหว่างปี 2546-2555

| ปี | เนื้อที่ยืนต้น (1,000 ไร่) Planted area (1,000 rai) | เนื้อที่เก็บเกี่ยวได้ (1,000 ไร่) Harvested area (1,000 rai) | ผลผลิต (1,000 ตัน) Production (1,000 tons) | ผลผลิตต่อไร่ (kg.) Yield per rai (Kgs.) | ราคา ที่เกษตรกร ขายได้ (บาท/kg.) Farm price (Baht per kg.) | มูลค่าของ ผลผลิต ตามราคาที่ เกษตรกรขายได้ (ล้านบาท) Farm value (Million baht) |
|----------|--|---|---|--|---|---|
| 2546 | 12,619 | 10,004 | 2,860 | 286 | 37.76 | 107,994 |
| 2547 | 12,954 | 10,350 | 3,007 | 291 | 44.13 | 132,699 |
| 2548 | 13,609 | 10,569 | 2,980 | 282 | 53.57 | 159,639 |
| 2549 | 14,355 | 10,893 | 3,071 | 282 | 66.24 | 203,423 |
| 2550 | 15,362 | 11,043 | 3,022 | 274 | 68.90 | 208,216 |
| 2551 | 16,717 | 11,372 | 3,167 | 278 | 73.66 | 233,281 |
| 2552 | 17,254 | 11,600 | 3,090 | 266 | 58.47 | 180,689 |
| 2553 | 18,095 | 12,058 | 3,052 | 253 | 103.00 | 314,333 |
| 2554 | 18,761 | 12,766 | 3,349 | 262 | 124.00 | 415,263 |
| (p) 2555 | 19,273 | 13,807 | 3,625 | 263 | 87.15 | 315,944 |

* p= ตัวเลขเบื้องต้น

ที่มา : สำนักงานเศรษฐกิจการเกษตร 2555



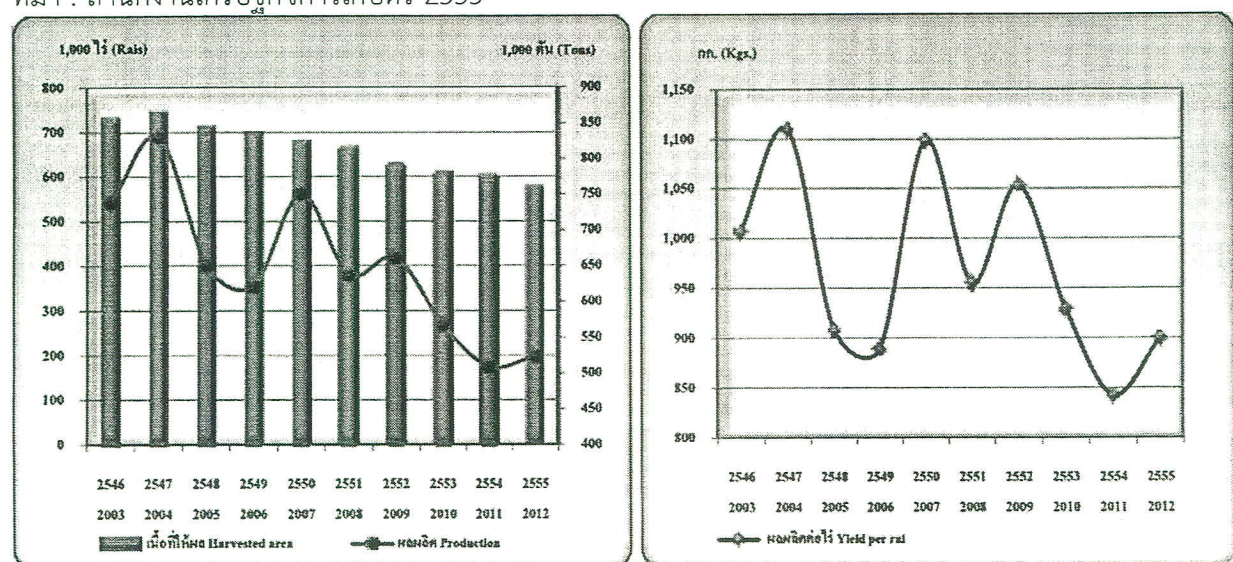
รูปที่ 2.27 ยางพารา เนื้อที่เพาะปลูก ผลผลิต และผลผลิตต่อไร่ปี 2546-2555

(7) ทุเรียน ในปี 2555 เนื้อที่เพาะปลูกในประเทศไทย มีประมาณ 637,737 ไร่ เนื้อที่เก็บเกี่ยว 581,554 ไร่ สร้างผลผลิตทุเรียน 527,327 ตัน คิดเป็น 907 กิโลกรัมต่อไร่ ราคาขาย 31.06 บาทต่อกิโลกรัม สร้างมูลค่าของผลผลิตตามที่เกษตรกรขายได้ 16,379 ล้านบาท (ตารางที่ 2.9 และรูปที่ 2.28)

ตารางที่ 2.9 เนื้อที่ ผลผลิต และมูลค่าของทุเรียน ในช่วงระหว่างปี 2546-2555

| ปี | เนื้อที่ปลูก (ไร่) Planted area (Rais) | เนื้อที่เก็บเกี่ยว (ไร่) Harvested area (Rais) | ผลผลิต (ตัน) Production (Tons) | ผลผลิตต่อไร่ (กก.) Yield per rai (Kgs.) | ราคาที่เกษตรกรขายได้ (บาท/กг.) Farm price (Baht per kg.) | มูลค่าของผลผลิตตามราคาที่เกษตรกรขายได้ (ล้านบาท) Farm value (Million baht) |
|------|--|--|--------------------------------------|---|--|--|
| 2546 | 855,535 | 733,685 | 738,801 | 1,007 | 18.25 | 13,483 |
| 2547 | 873,643 | 748,824 | 831,182 | 1,110 | 16.31 | 13,557 |
| 2548 | 832,483 | 716,809 | 650,960 | 908 | 16.29 | 10,604 |
| 2549 | 815,302 | 700,357 | 622,934 | 889 | 18.97 | 11,817 |
| 2550 | 771,345 | 683,044 | 750,683 | 1,099 | 16.75 | 12,574 |
| 2551 | 725,955 | 667,437 | 637,790 | 956 | 20.93 | 13,349 |
| 2552 | 680,927 | 628,244 | 661,665 | 1,053 | 21.52 | 14,239 |
| 2553 | 662,070 | 611,206 | 568,067 | 929 | 25.36 | 14,406 |
| 2554 | 659,042 | 604,417 | 509,381 | 843 | 27.76 | 14,140 |
| 2555 | 637,737 | 581,554 | 527,327 | 907 | 31.06 | 16,379 |

ที่มา : สำนักงานเศรษฐกิจการเกษตร 2555



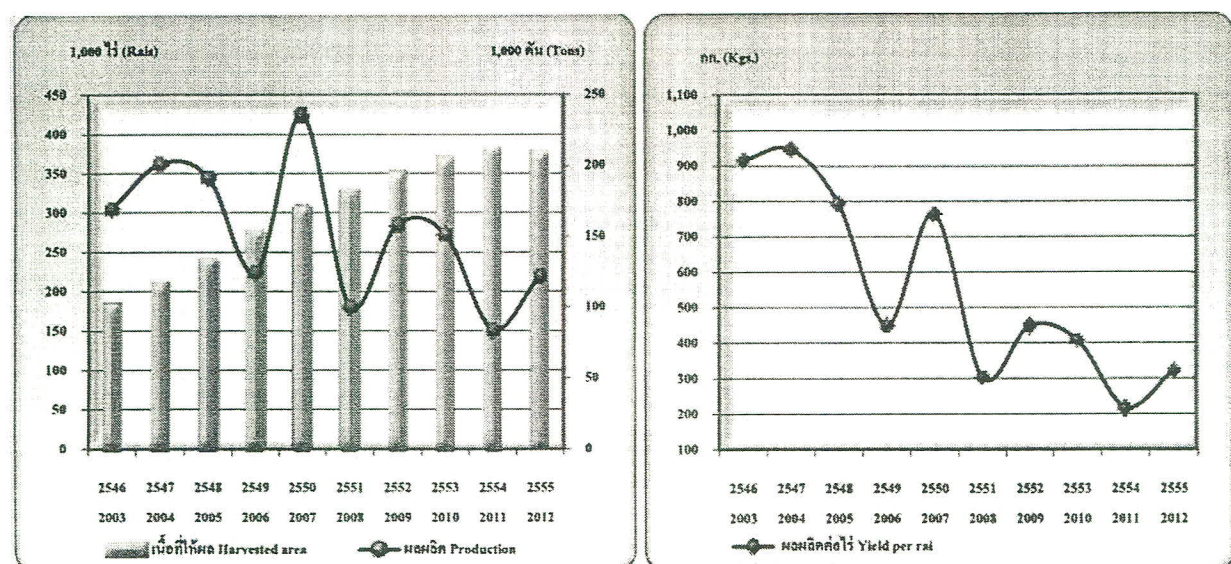
รูปที่ 2.28 ทุเรียน เนื้อที่เพาะปลูก ผลผลิต และผลผลิตต่อไร่ปี 2546-2555

(8) ลองกอง ในปี 2555 เนื้อที่เพาะปลูกในประเทศไทยมีประมาณ 435,073 ไร่ เนื้อที่เก็บเกี่ยว 379,405 ไร่ สร้างผลผลิตลงกอง 123,663 ตัน คิดเป็น 326 กิโลกรัมต่อไร่ ราคาขาย 21.75 บาทต่อกิโลกรัม สร้างมูลค่าของผลผลิตตามที่เกษตรกรขายได้ 2,690 ล้านบาท (ตารางที่ 2.10 และรูปที่ 2.29)

ตารางที่ 2.10 เนื้อที่ ผลผลิต และมูลค่าของลองกอง ในช่วงระหว่างปี 2546–2555

| ปี | เนื้อที่ยืนด้น (ไร่) Planted area (Rais) | เนื้อที่ให้ผล (ไร่) Harvested area (Rais) | ผลผลิต (ตัน) Production (Tons) | ผลผลิตต่อไร่ (กก.) Yield per rai (Kgs.) | ราคาที่เกษตรกรขายได้ (บาท/กก.) Farm price (Baht per kg.) | มูลค่าของผลผลิตตามราคาที่เกษตรกรขายได้ (ล้านบาท) Farm value (Million baht) |
|------|---|--|-----------------------------------|--|---|---|
| 2546 | 357,605 | 185,236 | 169,611 | 916 | 32.23 | 5,467 |
| 2547 | 392,546 | 212,747 | 201,450 | 947 | 25.47 | 5,131 |
| 2548 | 422,050 | 241,667 | 191,598 | 793 | 25.24 | 4,836 |
| 2549 | 446,802 | 277,606 | 124,678 | 449 | 29.26 | 3,648 |
| 2550 | 461,852 | 309,046 | 236,072 | 764 | 21.57 | 5,092 |
| 2551 | 461,043 | 331,216 | 100,583 | 304 | 26.22 | 2,637 |
| 2552 | 462,974 | 353,239 | 158,343 | 448 | 18.77 | 2,972 |
| 2553 | 461,224 | 371,220 | 151,806 | 409 | 20.76 | 3,151 |
| 2554 | 462,446 | 391,682 | 87,294 | 223 | 24.64 | 2,151 |
| 2555 | 435,073 | 379,405 | 123,663 | 326 | 21.75 | 2,690 |

ที่มา : สำนักงานเศรษฐกิจการเกษตร 2555



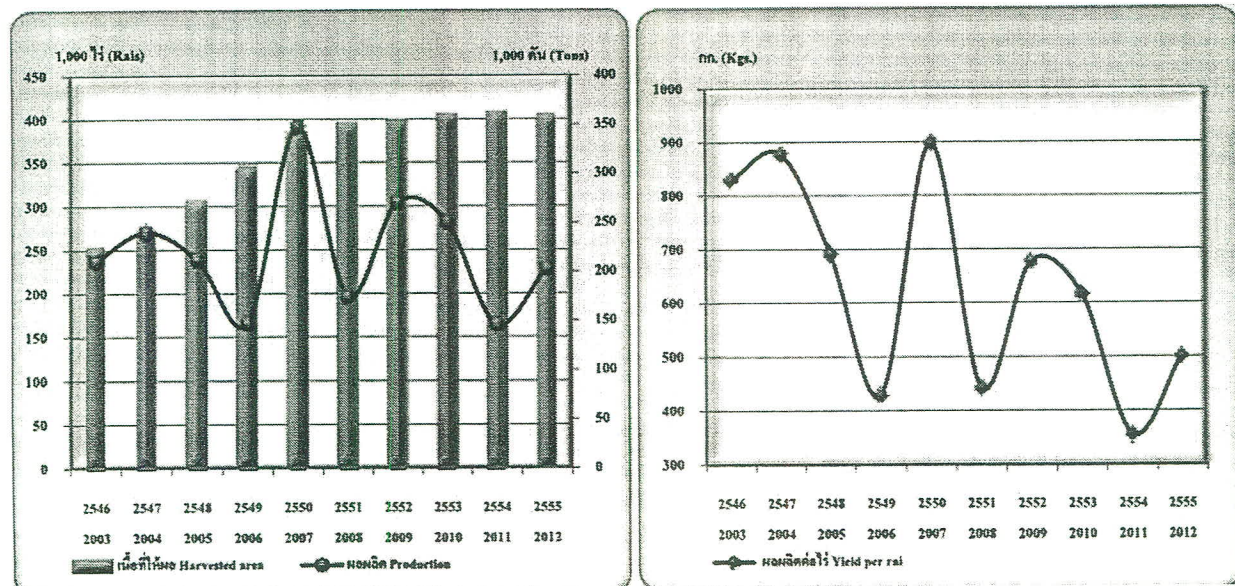
รูปที่ 2.29 ลองกอง เนื้อที่เพาะปลูก ผลผลิต และผลผลิตต่อไร่ปี 2546–2555

(9) มังคุด ในปี 2555 เนื้อที่เพาะปลูกในประเทศไทย มีประมาณ 460,396 ไร่ เนื้อที่เก็บเกี่ยว 406,532 ไร่ สร้างผลผลิตมังคุด 219,072 ตัน คิดเป็น 539 กิโลกรัมต่อไร่ ราคาขาย 17.04 บาทต่อกิโลกรัม สร้างมูลค่าของผลผลิตตามที่เกษตรกรขายได้ 3,733 ล้านบาท (ตารางที่ 2.11 และรูปที่ 2.30)

ตารางที่ 2.11 เนื้อที่ ผลผลิต และมูลค่าของมังคุด ในช่วงระหว่างปี 2546-2555

| ปี | เนื้อที่ปลูก (ไร่) Planted area (Rais) | เนื้อที่เก็บ Harvested area (Rais) | ผลผลิต Production (Tons) | ผลผลิตต่อไร่ Yield per rai (Kgs.) | ราคา ที่เกษตรกร ขายได้ (บาท/kg.) Farm price (Baht per kg.) | มูลค่าของ ผลผลิต ค่าน้ำค้าหี เบย์รวมรายได้ (ล้านบาท) Farm value (Million baht) |
|------|---|---------------------------------------|-----------------------------|--------------------------------------|--|---|
| 2546 | 432,896 | 254,525 | 210,989 | 829 | 18.53 | 3,910 |
| 2547 | 451,232 | 273,730 | 240,249 | 878 | 14.12 | 3,392 |
| 2548 | 464,528 | 306,725 | 212,129 | 692 | 11.46 | 2,431 |
| 2549 | 480,718 | 344,635 | 147,709 | 429 | 19.47 | 2,876 |
| 2550 | 492,294 | 387,292 | 348,181 | 899 | 9.84 | 3,426 |
| 2551 | 489,767 | 396,325 | 175,274 | 442 | 12.19 | 2,137 |
| 2552 | 487,405 | 399,438 | 270,554 | 677 | 9.81 | 2,654 |
| 2553 | 482,625 | 405,622 | 250,508 | 618 | 13.00 | 3,257 |
| 2554 | 481,564 | 410,266 | 146,315 | 357 | 25.01 | 3,659 |
| 2555 | 460,396 | 406,532 | 219,072 | 539 | 17.04 | 3,733 |

ที่มา : สำนักงานเศรษฐกิจการเกษตร 2555



รูปที่ 2.30 มังคุด เนื้อที่เพาะปลูก ผลผลิต และผลผลิตต่อไร่ปี 2546-2555

2.5.2 งานวิจัยภาคการเกษตรและพืชเศรษฐกิจของประเทศไทย

(1) งานวิจัยที่เกี่ยวข้องกับภูมิอากาศที่มีผลกระทบต่อข้าว

พวงผกา แก้วกลม และคณะ (2552) พบว่า ข้าวเป็นพืชประเภทหนึ่งที่มีลักษณะเหมือนพืชทางการเกษตรอื่นๆ ที่การเปลี่ยนแปลงของอุณหภูมิมีผลต่อการเจริญเติบโตของข้าว ตั้งแต่ระยะการเจริญเติบโต ข้าวต้องการช่วงอุณหภูมิที่เหมาะสมที่สุดสำหรับการเจริญเติบโต หมายถึง หากการเปลี่ยนแปลงสภาพภูมิอากาศส่งผลให้อุณหภูมิเพิ่มขึ้นหรือลดลงจะมีผลกระทบต่อสรีระวิทยาของข้าว และอาจจะทำให้การเจริญเติบโตผิดปกติ (Downton and Slatyer, 1972) อุณหภูมิที่สูงขึ้นนั้น มีผลกระทบต่อการเปลี่ยนแปลงผลผลิตของข้าวตามหลักการ 2 รูปแบบ ด้วยกัน คือ รูปแบบอุณหภูมิที่สูงขึ้นร่วมกับปริมาณความชื้นที่สูง มีผลทำให้รวงข้าวเป็นหมันและส่งผลกระทบต่อผลผลิตของข้าว รูปแบบที่สองนั้นก็คือ อุณหภูมิซึ่งกลางคืนที่เพิ่มสูงขึ้นมีผลทำให้การดูดซึม (Assimilated accumulation) ในกระบวนการทางชีววิทยาลดลง (Wassmann, 2009)

รูปแบบการตอบสนองของข้าวในแต่ละระยะของการเจริญเติบโตนั้น มีความแตกต่างกัน ขึ้นอยู่กับช่วงความทนทานต่ออุณหภูมิ (Temperature tolerance) ของข้าวในแต่ละระยะ ซึ่งช่วงของความทนทานต่ออุณหภูมิในแต่ละระยะของการเจริญเติบโต จะจะไม่มีผลต่อความทนทานต่ออุณหภูมิต่อ ในช่วงแรกของการเติบโตนั้น จะไม่มีความสัมพันธ์ต่อความทนทานในช่วงระยะข้าวออกดอกในสายพันธุ์ข้าวที่ให้ผลผลิตสูง (High-yielding rice variety) (Goto et al., 2008) ทั้งนี้ มีผลการวิจัยยืนยันว่า ความร้อนของอากาศในระยะการพัฒนาส่วนลำต้น (Vegetative stage) ไม่มีผลต่อข้าวในระยะสีบพันธุ์ (Reproductive stage) (Porter and Semenov, 2005)

ข้อมูลดังกล่าวข้างต้น สอดคล้องกับรายงานการสังเคราะห์และประมวลสถานภาพองค์ความรู้ด้านการเปลี่ยนแปลงภูมิอากาศของไทย ครั้งที่ 1 เล่ม 2 ประเด็นด้านความเสี่ยงของพืชเศรษฐกิจต่อปัจจัยทางภูมิอากาศในปัจจุบันและอนาคตได้รายงานว่า พืชแต่ละชนิดจะมีความอ่อนไหวต่อการเปิดรับต่อปัจจัยทางภูมิอากาศต่างๆ ขึ้นอยู่กับกระบวนการทางสรีระวิทยาของพืชนั้น ซึ่งจะทำให้พืชแต่ละชนิด มีความเสี่ยงต่อการได้รับผลกระทบจากการเปลี่ยนแปลงสภาพภูมิอากาศในลักษณะที่แตกต่างกัน (โดยพบว่าปัจจัยเปิดรับทางภูมิอากาศในภาคการเกษตรประกอบด้วย วันเริ่มต้นฤดูฝน อุณหภูมิสูงสุด-อุณหภูมิต่ำสุดรายวันและพายุหลังฤดู เป็นต้น ในรายงานยังได้ระบุว่า ข้าวบางสายพันธุ์ มีความอ่อนไหวต่อการเพิ่มขึ้นของอุณหภูมิ โดยทำให้ข้าวอายุสั้นลงและส่งผลให้ผลผลิตข้าวลดลง รวมทั้งอาจจะมีผลต่อการระบาดของแมลงและโรคของข้าว (Pinnschmidt et al., 1995; Savary et al., 2005) การขาดน้ำทำให้การผสมเกสรลดลงและลดผลผลิตข้าวได้ (Ekanayake et al., 1989)

ข้าวน้ำปีที่มีพื้นที่ปลูกส่วนใหญ่ในภาคกลางและภาคตะวันออกเฉียงเหนือโดยอาศัยน้ำฝนเป็นหลัก ในอนาคตถึงอุณหภูมิอากาศจะเพิ่มขึ้นแต่ข้าวส่วนใหญ่ก็ยังสามารถเจริญเติบโตและให้ผลผลิตได้ ปริมาณน้ำฝนรายปีที่อาจจะเพิ่มขึ้นในภาคตะวันออกเฉียงเหนือและลดลงในพื้นที่ภาคกลางอาจส่งผลกระทบต่อการผลิตข้าวบ้าง แต่ปัจจัยที่สำคัญ คือ การเริ่มต้นของฤดูฝน หากการแปรปรวนของภูมิอากาศทำให้ฝนมาล่าช้าจะทำให้เกษตรกรไม่สามารถเตรียมแปลงกล้าได้ ความแปรปรวนของภูมิอากาศและพายุที่อาจจะมีมากขึ้นอาจจะทำให้มีภาวะน้ำท่วมที่ไม่สามารถคาดการณ์ได้ รวมทั้งพื้นที่ดินเค็มในภาคตะวันออกเฉียงเหนือ ก็ยังคงมีความเสี่ยงต่อการสูญเสียผลผลิตข้าว (Clermont-Dauphin et al., 2010)

นอกจากนี้ ยังมีงานวิจัยที่ใช้แบบจำลองเพื่อประเมินความเสี่ยงต่อการเปลี่ยนแปลงสภาพภูมิอากาศต่อการปลูกข้าวทั้งนาปีและนาปรังมีมากกว่าพืชชนิดอื่นๆ ซึ่งสรุปว่า ผลผลิตมีแนวโน้มลดลงบ้างจากระดับของปัจจัย แต่อาจจะไม่มากนัก (Horie et al., 1995; Matthews et al., 1997; Knox et al., 2000; Masutomi et al., 2009; อรรถชัย จันทะเวช และคิม ซี เหงียน, 2545; เกริก ปั้นเหง่นเพ็ชร และคณะ, 2552)

(2) งานวิจัยที่เกี่ยวข้องกับภูมิอากาศที่มีผลกระทบต่อข้าวโพด

ภิรมย์ อ่อนเสิง (2523) ได้ทำการศึกษาภูมิอากาศที่มีผลต่อผลผลิตข้าวโพด ในพื้นที่ 5 จังหวัด (นครสวรรค์ เพชรบูรณ์ ลพบุรี สระบุรี และนครราชสีมา) โดยรวบรวมข้อมูลสถิติของปริมาณฝนรายวัน อุณหภูมิ สูงสุดรายวัน และผลผลิตข้าวโพดของเขตปลูกข้าวโพดเป็นระยะเวลา 11 ปี (2511-2521) โดยทำการวิเคราะห์ ความน่าจะเป็นของการเกิดฝนทึ่งช่วงและอุณหภูมิ ความสัมพันธ์ระหว่างผลผลิตข้าวโพดกับลักษณะฝนและ อุณหภูมิ โอกาสที่จะเกิดการย้อนกลับของปริมาณฝนและอุณหภูมิ และค่าสัมประสิทธิ์ความแปรปรวนของผลผลิต ข้าวโพด ลักษณะฝนและอุณหภูมิ ผลการศึกษาพบว่า ค่าความน่าจะเป็นของการเกิดฝนทึ่งช่วงมีค่าสูงสุดในเดือน พฤษภาคม รองลงไปคือเดือนมิถุนายน และจะลดลงในเดือนตุลาคมที่มีค่าต่ำสุดในเดือนกันยายน นอกจากนี้ ยังพบว่ามีความสัมพันธ์ระหว่างผลผลิตข้าวโพดกับปริมาณฝน จำนวนวันฝนตก ร้อยละของ วันที่ฝนทึ่งช่วง และค่าเฉลี่ยอุณหภูมิสูงสุดรายวัน ในช่วงเวลาต่างๆ กัน แต่ก็แสดงให้เห็นว่าความสัมพันธ์ระหว่าง ผลผลิตข้าวโพดกับลักษณะฝนและอุณหภูมิในเดือนกรกฎาคมมีค่าสูงกว่าในช่วงเวลาอื่น

ข้าวโพดเลี้ยงสัตว์ที่ปลูกโดยอาศัยน้ำฝนจะเปิดรับกับความไม่แน่นอนของวันเริ่มต้นของฤดูฝน ทำให้การ เริ่มต้นของฤดูปลูกไม่แน่นอน ความแปรปรวนของฝนในฤดูกาลผลิต อาจจะทำให้ข้าวโพดเสี่ยงต่อการระบาดของ แมลงและโรคข้าวโพดอีกด้วย อย่างไรก็ตาม จากการศึกษาของ เกริก ปั้นเหง่นเพ็ชร และคณะ (2552) รายงานว่า ผลผลิตข้าวโพดเลี้ยงสัตว์ในอนาคตอาจจะเปลี่ยนแปลงไม่มากนัก

(3) งานวิจัยที่เกี่ยวข้องกับภูมิอากาศที่มีผลกระทบต่อมันสำปะหลัง

รายงานการสังเคราะห์และประเมินสถานภาพองค์ความรู้ด้านการเปลี่ยนแปลงภูมิอากาศของไทย ครั้งที่ 1 เล่ม 2 ประเด็นด้านความเสี่ยงของพืชเศรษฐกิจต่อปัจจัยทางภูมิอากาศในปัจจุบันและอนาคตได้รายงานว่า การศึกษาการผลิตมันสำปะหลังเป็นระยะเวลายาว ทำให้ความเข้าใจด้านการตอบสนองต่อภูมิอากาศที่จะมีการ เปลี่ยนแปลงพอสมควร (Wongwiwatchai et al., 2002) การใช้แบบจำลองทำให้ทราบว่ามันสำปะหลังปลูกใน พื้นที่ตอนของพื้นที่ผลิตหลักในประเทศไทย มีการเปิดรับต่อปริมาณน้ำฝนที่อาจเพิ่มขึ้น ทำให้หัวมันสำปะหลังมีโอกาส เน่าเสียได้ง่ายขึ้นส่งผลให้ผลผลิตลดลง (เกริก ปั้นเหง่นเพ็ชร และคณะ, 2552)

อุณหภูมิและความชื้นในอากาศและдинที่เปลี่ยนแปลงในอนาคต อาจจะทำให้ศัตรูของมันสำปะหลังมี การเปลี่ยนแปลงไปจากเดิม ได้แก่ เพลี้ยแบ่ง แมลงหัวขาว ไรแดง ปลวกและแมลงนูนหลวง (Bellotti and van Schoonhoven, 1978; Srinivas, 1995) แต่ยังไม่มีการศึกษาเรื่องนี้โดยตรง

(4) งานวิจัยที่เกี่ยวข้องกับภูมิอากาศที่มีผลกระทบต่ออ้อย

ปรีชา กาเพ็ช และเกริก ปั้นเหง่นเพ็ชร (2555) รายงานว่าการเปลี่ยนแปลงของอากาศมีผลกระทบ โดยตรงต่อการผลิตพืช เนื่องจากการเพิ่มขึ้นของcarbon dioxide และอุณหภูมิ และส่งผลกระทบทางอ้อมต่อ ความแปรปรวนของสภาพภูมิอากาศ โดยเฉพาะปริมาณน้ำฝน อ้อยซึ่งถือเป็นพืชเศรษฐกิจที่สำคัญของประเทศไทย และมีพื้นที่ปลูกมากในภาคตะวันออกเฉียงเหนือ จึงได้ทำการประเมินผลกระทบของการเปลี่ยนแปลงสภาพ ภูมิอากาศต่อผลผลิตอ้อยในพื้นที่ จำกปี 2553-2592 ใช้ข้อมูลภูมิอากาศรายวันในอนาคตจากแบบจำลอง

ภูมิอากาศโลก ECHAM (European Center for Medium Range Weather Forecast/Hamburg for Climate Simulation) และประเมินภูมิอากาศในระดับภูมิภาคโดยแบบจำลอง PRECIS (Providing Regional Climates for Impacts Studies) ที่มีรายละเอียดเชิงพื้นที่ของการประเมิน 20×20 กิโลเมตร เป็นตัวป้อนของแบบจำลอง อ้อยในโปรแกรม DSSAT (Decision Support System for Agro technology Transfer) ผลการทดลอง พบว่า การเปลี่ยนแปลงของสภาพภูมิอากาศมีผลกระทบต่อการผลิตอ้อยในระยะยาวเพียงเล็กน้อย อย่างไรก็ตาม ค่าเฉลี่ยของผลผลิตมีความแปรปรวนสูงทั้งเชิงพื้นที่และเชิงเวลา ความแปรปรวนเชิงพื้นที่เกิดขึ้นจากความหลากหลายของ ชุดดินและสภาพภูมิอากาศ ขณะที่ความแปรปรวนเชิงเวลา เกิดจากความแปรปรวนของปริมาณน้ำฝน แนวทางการลดความแปรปรวนของผลผลิตอ้อย ทำได้โดยการพัฒนาการระบบการให้น้ำให้เพียงพอต่อฤดูกาล การคัดเลือกพันธุ์ทุนแล้งหรือมีประสิทธิภาพการใช้น้ำสูง

วิภาพร ฉิมณรงค์ (2552) ได้ศึกษาความสัมพันธ์ระหว่างข้อมูลสภาพภูมิอากาศกับผลผลิตอ้อยกรณีศึกษา พื้นที่ปลูกอ้อยในงานน้ำตามนิตรถูเขียว โดยวิเคราะห์แนวโน้มการเปลี่ยนแปลงข้อมูลสภาพภูมิอากาศ ได้แก่ ปริมาณน้ำฝน จำนวนวันที่ฝนตก อุณหภูมิสูงสุด อุณหภูมิต่ำสุด อุณหภูมิเฉลี่ย ความเยาวนานแสงแดด ความชื้น สัมพันธ์ ระหว่างปี 2501-2551 พร้อมทั้ง ศึกษาความสัมพันธ์ระหว่างข้อมูลภูมิอากาศและผลผลิตอ้อย จากพื้นที่ แปลงปลูกอ้อยที่ทำสัญญา กับ โรงงานน้ำตามนิตรถูเขียว ขนาดพื้นที่ 2,600 ไร่ โดยเป็นผลผลิตจากการประเมิน ผลผลิตอ้อยสำหรับปีการผลิต 2547/48 และ 2550/51 จำนวน 277 แปลง ทำการวิเคราะห์ข้อมูลด้วยสมการ ถดถอยพหุคุณ (Multiple Regression) และสหสัมพันธ์ (Correlation Kendall-tau) รวมถึงคาดการณ์ผลผลิต อ้อยเมื่อมีการเปลี่ยนแปลงอุณหภูมิ จากการศึกษาพบว่า ระหว่างปี 2501-2551 อุณหภูมิเฉลี่ย ($P<0.01$) อุณหภูมิ สูงสุด ($P<0.05$) อุณหภูมิต่ำสุด ($P<0.01$) มีแนวโน้มเพิ่มขึ้นอย่างมีนัยสำคัญ แต่ความเยาวนานแสง ($P<0.01$) มี แนวโน้มลดลงอย่างมีนัยสำคัญทางสถิติ จากการทดสอบความสัมพันธ์ระหว่างข้อมูลภูมิอากาศกับผลผลิตอ้อย พบว่า ปริมาณน้ำฝน ($P<0.01$) จำนวนวันที่ฝนตก ความเยาวนานแสง ($P<0.01$) ความชื้นสัมพันธ์ ($P<0.01$) อุณหภูมิเฉลี่ย ($P<0.01$) อุณหภูมิสูงสุด ($P<0.01$) และอุณหภูมิต่ำสุด ($P<0.01$) มีความสัมพันธ์อย่างมีนัยสำคัญ กับข้อมูลผลผลิตอ้อยสำหรับพันธุ์ K 84-200 และจำนวนฝนที่ตก ($P<0.01$) ความชื้นสัมพันธ์ ($P<0.01$) และ อุณหภูมิต่ำสุด ($P<0.05$) มีความสัมพันธ์กับผลผลิตอ้อยในพันธุ์ K 88-92 จากการคาดการณ์ผลผลิตด้วยโรงช่าย ประสิทธิภาพเตี้ยมด้วย Activation function transfer: Sigmoid, hidden nodes 15 และ leaning rate 10,000 มี ค่าความคลาดเคลื่อนของผลผลิตต่ำที่สุด (18.24%) ได้ผลผลิตรวมทุกประเภทอ้อย 2.86 ล้านตัน และหาก อุณหภูมิลดลง 1°C ในรอบ 100 ปี จะทำให้ผลผลิตอ้อยเพิ่มขึ้น 12.69% แต่หากอุณหภูมิเพิ่มขึ้น 1°C ในรอบ 100 ปี จะทำให้ผลผลิตอ้อยลดลง 11.67% ในขณะที่อุณหภูมิลดลง 3.5°C ในรอบ 100 ปี จะทำให้ผลผลิตอ้อย เพิ่มขึ้น 43.58% และเมื่ออุณหภูมิเพิ่มขึ้น 3.5°C ในรอบ 100 ปี ผลผลิตอ้อยจะลดลง 12.29%

นอกจากนี้ รายงานการสังเคราะห์และประเมินสถานภาพองค์ความรู้ด้านการเปลี่ยนแปลงภูมิอากาศ ของไทย ครั้งที่ 1 เล่ม 2 ประเด็นด้านความเสี่ยงของพืชเศรษฐกิจต่อปัจจัยทางภูมิอากาศในปัจจุบันและอนาคตได้ รายงานว่า อ้อยในงานที่ปลูกข้ามแล้ง จะเปิดรับกับช่วงหน้าแล้งที่ยาวนานขึ้นกว่าเดิม อ้อยอาจจะประสบปัญหา ขาดแคลนน้ำและทำให้ประชากรความอดนักของอ้อยต่อพื้นที่ลดลงและส่งผลกระทบให้ผลผลิตลดลงด้วย ทั้งนี้ ในกดุณซึ่งคาดว่าจะมีปริมาณฝนมากขึ้น อาจจะทำให้อ้อยเปิดรับต่อภาวะน้ำท่วมขัง ทำให้อ้อยชะงักการ เจริญเติบโตและพัฒนาการได้ (Jinrawet et al., 2000; Jinrawet and Pramanee, 2005) นอกจากนี้ ศัตตรุของ

อ้อย เช่น หนองกอก ด้วยหนวดยา และปลวกก็อาจจะมีการเปลี่ยนแปลงด้วยเช่นกัน (Long and Hensley, 1972)

(5) งานวิจัยที่เกี่ยวข้องกับภูมิอากาศที่มีผลกระทบต่อปาล์มน้ำมัน

สำหรับงานงานวิจัยที่เกี่ยวข้องกับภูมิอากาศที่มีผลกระทบต่อปาล์มน้ำมันมีไม่มาก จากการสืบค้นพบข้อมูลเบื้องต้นจากรายงานการสังเคราะห์และประมวลสถานภาพองค์ความรู้ด้านการเปลี่ยนแปลงภูมิอากาศของไทย ครั้งที่ 1 เล่ม 2 ประเด็นด้านความเสี่ยงของพืชเศรษฐกิจต่อปัจจัยทางภูมิอากาศในปัจจุบันและอนาคตได้รายงานผลการศึกษาที่เกี่ยวข้องกับปาล์มน้ำมัน พบว่า ผลผลิตในอนาคตอาจจะมีแนวโน้มคงที่จากระดับของปัจจุบัน (ปี ค.ศ.2000-2009)

(6) งานวิจัยที่เกี่ยวข้องกับภูมิอากาศที่มีผลกระทบต่อผลไม้ (ทุเรียน ลองกอง มังคุด)

ทุเรียน

ศิริพร วรกุล ดำรงชัย (2555) ได้ทำการศึกษาฐานแบบการแปรปรวนของสภาพภูมิอากาศต่อการผลิตทุเรียนในจังหวัดจันทบุรี โดยใช้การวิจัยเชิงคุณภาพ เก็บข้อมูลด้วยวิธีการสัมภาษณ์เชิงลึกในกลุ่มเกษตรกรผู้ปลูกทุเรียนในจังหวัดจันทบุรี 50 คนและสำรวจขนาดกลุ่มในผู้นำเกษตรกร 7 คนและผู้ทรงคุณวุฒิ 2 คน ประกอบกับการวิเคราะห์ข้อมูลสภาพภูมิอากาศในอดีต ปัจจุบันและอนาคตของจังหวัดจันทบุรีรวม 70 ปี (1980S-2040S) ผลการศึกษา พบว่าในศตวรรษที่ผ่านมา (2000s) ชนิดของความแปรปรวนของสภาพภูมิอากาศ ได้แก่ วัตถุภัย ภัยแล้งและน้ำท่วม เกิดขึ้นทุกปีแต่มีความรุนแรงเป็นบางปีเฉพาะในบางพื้นที่ และมีผลกระทบต่อการผลิตทุเรียนส่วนปัจจัยของสภาพแวดล้อม ได้แก่ อุณหภูมิ ความชื้นสัมพัทธ์และปริมาณน้ำฝนที่ไม่เหมาะสมในช่วงวิกฤตในแต่ละขั้นตอนการพัฒนาการของทุเรียน ก่อส่งผลกระทบต่อการผลิตทุเรียนเช่นเดียวกัน โดยเฉพาะในขั้นตอนการซักน้ำ การอุดกอก การติดผล การพัฒนาการของผลการเก็บเกี่ยวและคุณภาพของผลผลิตสำหรับแนวการเปลี่ยนแปลงสภาพภูมิอากาศในอนาคต 3 ศตวรรษหน้า (2020s-2040s) เมื่อเปรียบเทียบกับศตวรรษนี้ (2010s) พบว่า อุณหภูมิสูงสุดเฉลี่ย อุณหภูมิต่ำสุดเฉลี่ยและปริมาณน้ำฝนรวมรายปีมีแนวโน้มเพิ่มขึ้น 0.54°C , 0.57°C , 37.61 mm. ตามลำดับ ส่วนความชื้นสัมพัทธ์เฉลี่ยและจำนวนวันที่ฝนตก มีแนวโน้มลดลงเท่ากับร้อยละ 0.14 และ 1.3 วันตามลำดับ ย้อมส่งผลกระทบต่อการผลิตทุเรียนในด้านปริมาณและคุณภาพผลผลิตรวมทั้งการระบาดของโรครา肯เน่าและโคนเน่าที่จะมีเพิ่มขึ้นกว่าในปัจจุบัน

มังคุดและลองกอง

จักรพงศ์ จิระแพทย์ (2556) ได้ทำการศึกษาการพัฒนาในรอบปีและการเปลี่ยนแปลงของ气温ไปไกด์รีตในตรีเจนและฟอสฟอรัสในใบของมังคุดและลองกองที่จังหวัดราชบุรี โดยการวิจัยนี้ มีวัตถุประสงค์เพื่อศึกษาความสัมพันธ์ระหว่างฟีโนโลยีในรอบปีกับปริมาณคาร์บอไกด์รีต ธาตุในตรีเจนและฟอสฟอรัสในใบไม้ผล 2 ชนิด คือ มังคุดและลองกอง ณ วิทยาลัยเกษตรและเทคโนโลยีราชบุรี มหาวิทยาลัยราชภัฏราชบุรี ศรีราชา ช่วงเดือนตุลาคม 2550-กันยายน 2551 โดยเก็บข้อมูลสภาพภูมิอากาศ การเจริญเติบโตในรอบปีและวิเคราะห์หาปริมาณในตรีเจนฟอสฟอรัสและปริมาณคาร์บอไกด์รีตในใบ พบว่า พื้นที่ทดลองมีปริมาณน้ำฝนสะสมเท่ากับ 2,463.9 มิลลิเมตร การคายระเหยน้ำสะสมเท่ากับ 1,780 มิลลิเมตรและอุณหภูมิเฉลี่ยเท่ากับ 26.7°C องศาเซลเซียส โดยฟีโนโลยีในรอบปี 2551 พบว่า มังคุดมีการแตกใบอ่อน 1 ครั้งช่วงเดือนพฤษภาคม-ธันวาคม อุดกอกช่วงมกราคม-กุมภาพันธ์และสามารถเก็บเกี่ยวผลผลิตได้ในช่วงเดือนกรกฎาคม ส่วนลองกองมีการแตกใบอ่อน 2 ครั้ง คือตุลาคม-พฤษภาคม 2550 และกันยายน-ตุลาคม 2551 อุดกอกในช่วงมีนาคม-เมษายนและเก็บเกี่ยวผลผลิต

ประมาณกลางเดือนมิถุนายน เมื่อศึกษาปริมาณคาร์บอโนไดเรตในโตรเจนและฟอสฟอรัส พบว่า มังคุดมีปริมาณในโตรเจนในใบค่อนข้างคงที่ตลอดระยะเวลาการเจริญเติบโต ขณะที่ ลงกองมีปริมาณในโตรเจนในใบเพิ่มขึ้นเล็กน้อย ในระยะแรกแล้วลดลงต่ำสุดช่วงเดือนมกราคมก่อนจะเพิ่มขึ้นสูงสุดในระยะแทรกตากดอกเดือนกุมภาพันธ์ สำหรับปริมาณคาร์บอโนไดเรตและอัตราส่วนของคาร์บอโนไดเรตต่อโตรเจนที่พบในไม้ผลทั้ง 2 ชนิด มีค่าเพิ่มขึ้นในระยะแรกจนกระทั่งมีปริมาณคาร์บอโนไดเรตสูงสุดในช่วงการพัฒนาผลของมังคุด และระยะการแทรกตากดอกของลงกองก่อน จะลดลงในช่วงปลายฤดูกาล ส่วนปริมาณฟอสฟอรัส พบว่า ทุกช่วงของการเจริญเติบโตจะมีการสะสมฟอสฟอรัสเพิ่มขึ้นและลดลงสลับกันไปตลอดฤดูกาล

ลงกอง

พร้อมฯ อุไรพันธ์ (2552) ศึกษาผลกระทบของการเปลี่ยนแปลงภูมิอากาศต่อชีพลักษณะของลงกองในจังหวัดสงขลา โดยใช้สวนลงกอง 6 สวน คือ สวนที่อำเภอหาดทmor จำนวน 3 สวน และ สวนที่อำเภอตากสิน จำนวน 3 สวน ทำการวิเคราะห์คุณสมบัติทางสารเคมีและสภาพของดินที่ใช้ปลูกลงกอง สรีระวิทยา การออกดอก และคุณภาพผลผลิต ในช่วงเดือนมีนาคม 2551-เมษายน 2552 จากการศึกษา พบว่า สวนลงกองทั้ง 6 สวน ดินมีลักษณะเป็นดินร่วนปนทราย มีความอุดมสมบูรณ์ของดินต่ำ และในการประเมินความสมดุลของน้ำจากการคลายระหว่างน้ำและปริมาณน้ำฝนรายเดือน พบว่า บริเวณพื้นที่อำเภอหาดทmor ช่วงในเดือนกุมภาพันธ์ 2551 แสดงให้เห็นการขาดน้ำอย่างชัดเจน ซึ่งกระทั่งให้ลงกองทั้ง 3 สวนในอำเภอหาดทmor ออกดอก และเก็บผลได้ช่วงปลายเดือนกรกฎาคม – กันยายน 2551 แต่ที่อำเภอตากสินน้ำฝนตกในช่วงฤดูร้อน ทำให้เกิดสภาวะให้ผลเว้นปี (alternate bearing) เดือนกันยายน 2551 มีการทิ้งช่วงของฝน ซึ่งกระทั่งให้ลงกองมีการออกดอกออกฤดูกาล และเก็บเกี่ยวผลผลิตในช่วงเดือนมีนาคม-เมษายน 2552 โดยมีการพัฒนาของตากดอก 4 สปดาห์ และการพัฒนาของผลหลังออกบานจนถึงเก็บเกี่ยว 13-15 สปดาห์ แสดงให้เห็นว่ารูปแบบการกระจายตัวของฝนที่แตกต่างกันน่าจะมีผลทำให้ลงกองมีการออกดอกในฤดูกาลและนอกฤดูกาลในจังหวัดสงขลา ซึ่งคุณภาพผลผลิตที่ได้มีความแตกต่างกันระหว่างผลผลิตในฤดูกาลและนอกฤดูกาล แต่ทั้งนี้ คุณภาพผลผลิตทั้งสองฤดูยังเป็นที่ชื่นชอบของผู้บริโภคทั้งลักษณะภายนอก และรضاติจากความประปานของสภาพภูมิอากาศที่เกิดขึ้น อาจเป็นผลดีในอนาคตในการกำหนดเขตพื้นที่สำหรับการผลิตลงกองในฤดูกาลและนอกฤดูกาล เพื่อแก้ปัญหาผลผลิตล้นตลาดราคาผลผลิตตกต่ำให้แก่เกษตรกรอีกทางเลือกหนึ่ง

มังคุด

ยุวดี มนัสเกษม (2538) ได้ทำการศึกษาช่วงและระยะเวลาการเกิดใบ การเจริญเติบโตของใบ การออกดอก และติดผล (phonological cycle) ของมังคุด พร้อมกับศึกษาการเปลี่ยนแปลงเป็นปลายยอดหรือยอดอ่อน (apices) โดยการลอก (dissecting) ภายใต้กล้องจุลทรรศสเตอโรไฟ พบว่า การที่จะบังคับให้มังคุดออกดอกเร็วขึ้น ด้วยสารเคมีหรือปัจจัยอื่นๆ ควรทำเมื่อใบมังคุดชุดที่ 2 เป็นใบเพสاد คือ ระหว่างกลางถึงปลายเดือนกันยายน ทั้งนี้ สำหรับมังคุดที่ปลูกที่ศูนย์วิจัยพืชสวนจันทบุรีหรือบริเวณใกล้เคียง การซักนำให้เกิดตากดอกของมังคุดโดยอิทธิพลสภาพแวดล้อมหรือภูมิอากาศจะเริ่มตั้งแต่ต้นเดือนพฤษภาคมถึงกลางเดือนธันวาคม เมื่ออุณหภูมิสูงสุดของแต่ละวัน (เฉลี่ย 14 วัน) เท่ากับ 21°C และเมื่ออุณหภูมิต่ำสุดลดลงหรือเพิ่มขึ้นทุกๆ 1°C จาก 21°C จะทำให้เปอร์เซ็นต์การซักนำไปให้เกิดการออกดอกเพิ่มขึ้นหรือลดลง 10.5 เปอร์เซ็นต์ การเปลี่ยนแปลงของปลายยอดจาก การเจริญเติบโตทางลำต้นและใบเป็นไปทางดอกและผล เริ่มจากการที่ปลายยอดนูนเป็น 4 ส่วน แล้วเปลี่ยนเป็น

กลมุนประกบเข้าหากัน จนกันจะเป็นการพัฒนาของส่วนประกอบของดอก เช่น รังไข่ กลีบเลี้ยง และกลีบดอก จนกลายเป็นดอกที่สมบูรณ์ มั่งคุดก็จะออกดอกและติดผลต่อไป

อรอนงค์ บุญคล่อง (2548) ได้ตรวจสอบปัจจัยด้านภูมิอากาศที่เปลี่ยนแปลง (จำนวนวันที่ฝนตก จำนวนวันที่ฝนแล้ง อุณหภูมิสูงสุด และอุณหภูมิต่ำสุด) ที่ส่งผลกระทบต่อพื้นที่ที่ปลูกมั่งคุดทั้งสามพื้นที่ในประเทศไทย คือ ภาคใต้ ภาคตะวันออก และภาคตะวันออกเฉียงเหนือ พบว่า พื้นที่ภาคตะวันออกมีจำนวนวันที่ฝนตกลดลง และจำนวนวันที่ฝนแล้งเพิ่มมากขึ้นในช่วงที่ติดต่อกันมากกว่า 20 ปี แต่ในช่วงเวลาหนึ่งไม่มีแนวโน้มการเปลี่ยนแปลง จำนวนวันที่ฝนตกและจำนวนวันที่ฝนแล้งกับพื้นที่ภาคใต้และพื้นที่ภาคตะวันออกเฉียงเหนือและในช่วงเวลาหนึ่งมีแนวโน้มของการเปลี่ยนแปลงอุณหภูมิสูงสุดและอุณหภูมิต่ำสุดของทั้งสามพื้นที่ นอกจากอุณหภูมิต่ำสุดในพื้นที่ภาคตะวันออกที่มีแนวโน้มเพิ่มขึ้น การออกดอกของมั่งคุดในพื้นที่ภาคใต้มีแนวโน้มที่จะออกดอกก่อนฤดูหนาว ซึ่งทำให้มีช่วงเก็บเกี่ยวผลผลิตมั่งคุดเป็น 2 ช่วง คือ ในช่วงเดือนธันวาคมถึงเดือนกุมภาพันธ์และเดือนมิถุนายนถึงเดือนสิงหาคม และช่วงระยะเวลาเก็บเกี่ยวผลผลิตมั่งคุดพื้นที่ภาคใต้สั้นกว่าพื้นที่ภาคตะวันออก และอีกประเด็นหนึ่งจะเห็นว่าพื้นที่ในภาคตะวันออก มีฤดูกาลออกดอกของมั่งคุดและฤดูกาลเก็บเกี่ยวผลผลิตมั่งคุดเพียง 1 ครั้ง คือ ในช่วงเดือนกุมภาพันธ์ถึงเดือนเมษายน ปริมาณผลผลิตมั่งคุดในพื้นที่ภาคใต้ไม่แตกต่างไปจากปริมาณผลผลิตมั่งคุดในพื้นที่ภาคตะวันออก ความลึกของชั้นดินแต่ละชั้นในพื้นที่ภาคใต้น้อยกว่าพื้นที่ภาคตะวันออกเฉียงเหนือ และพบว่า ปริมาณน้ำพร้อมใช้ในชั้นดินลดลงและคงสภาพต่ำในช่วงก่อนออกดอกของมั่งคุดทั้งในพื้นที่ภาคใต้และภาคตะวันออก บางปีการออกดอกของมั่งคุดในพื้นที่ภาคใต้มี 2 ครั้ง เมื่อมีช่วงแล้งก่อนฤดูกาลออกดอกภาระน้ำเพียงพอ และผลผลิตมั่งคุดในพื้นที่ภาคใต้และภาคตะวันออกจะเพิ่มขึ้น หรือลดลงสอดคล้องกับระยะเวลาการทึงช่วงแล้งก่อนออกดอกของมั่งคุด

สายัณห์ สุดตี (2550) ได้ทำการศึกษา ผลของสภาวะโลกร้อนที่มีต่อการเปลี่ยนแปลงทางอุตุนิยมวิทยา และการพัฒนาการในรอบปีของมั่งคุดโดยใช้ต้นมั่งคุดที่ศึกษาจาก 4 สวนในอำเภอหาดใหญ่จังหวัดสงขลาโดยมีการศึกษาช่วงการบานของดอกและการพัฒนาของผลในรอบปีช่วงระหว่างปี 2540-2549 ช่วงดังกล่าวมีการเก็บข้อมูลทางอุตุนิยมวิทยา คือ อุณหภูมิสูงสุดและต่ำสุด ปริมาณน้ำฝนและการระเหยน้ำรายวัน พบว่ามีการเพิ่มขึ้นของอุณหภูมิในช่วง 10 ปีที่ผ่านมาขณะที่แนวโน้มของปริมาณน้ำฝนลดลงผลการศึกษาแสดงให้เห็นว่าการเปลี่ยนแปลงสภาวะโลกร้อนมีผลต่อการเปลี่ยนแปลงการพัฒนาในรอบปีของมั่งคุด

2.6 ยางพาราในภาคใต้และปัจจัยที่มีผลกระทบต่อการผลิตน้ำยาง

ยางพารา (*Hevea brasiliensis*) เป็นพืชใบเลี้ยงคู่ อยู่ในวงศ์ Eupobiaceae เป็นไม้ยืนต้นขนาดใหญ่ ทั่วโลก มีพื้นที่ปลูกยางพาราทั้งหมดในปี 2553 ประมาณ 72.21 ล้านไร่ ร้อยละ 76.4 เป็นพื้นที่ปลูกที่อยู่ในประเทศไทยล้วนๆ อาเซียน สภาพสวนยางส่วนใหญ่เป็นสวนยางขนาดเล็ก ใช้แรงงานในครัวเรือนเป็นหลัก อินโดเนเซีย เป็นประเทศที่มีพื้นที่ปลูกยางมากที่สุด จำนวน 21.53 ล้านไร่ รองลงมาไทย 18.76 ล้านไร่ และมาเลเซีย 6.38 ล้านไร่ ที่เหลือเป็นพื้นที่ปลูกยางของประเทศไทย สำหรับประเทศไทยมีพื้นที่ปลูกยางในปี 2553 ทั้งสิ้น 18,761,231 ไร่ โดยภาคใต้มีพื้นที่ปลูกยางมากที่สุด 11,906,882 ไร่ รองลงมาคือ ภาคตะวันออกเฉียงเหนือ 3,477,303 ไร่ ภาคตะวันออกเฉียงเหนือ 2,509,644 ไร่ และภาคเหนือ 867,402 ไร่ รวมทั้งสิ้น 67 จังหวัด ดังนั้นภาคใต้มีพื้นที่ปลูก 63.47% ของประเทศ (สถาบันวิจัยยาง, 2555) พื้นที่ที่เหมาะสมสำหรับปลูกยางพารา ควรเป็นพื้นที่ราบ ถ้าเป็นพื้นที่ลาดชันไม่ควรเกิน 35 องศา ควรมีระดับความสูงจากระดับน้ำทะเลไม่เกิน 600 เมตร

ความลึกของหน้าดินไม่น้อยกว่า 1 เมตร ดินคราเป็นดินร่วนเหนียวถึงดินร่วนทราย และครามีค่าความเป็นกรด-ด่าง ระหว่าง 4.5-5.5 มีปริมาณน้ำฝนรายปีมากกว่า 2,000 มิลลิเมตร มีค่าเฉลี่ยความแตกต่างของอุณหภูมิในรอบวันประมาณ 7 องศาเซลเซียสและมีจำนวนวันฝนตก 100-150 วัน และมีช่วงแล้งไม่เกิน 4 เดือน (Watson, 1989)

2.6.1 สภาพแวดล้อมที่เหมาะสมต่อการปลูกยางพารา

- เขตปลูกยาง ยางพารามีการเจริญเติบโตได้ดีในพื้นที่ที่อยู่ในเขตระหว่างเส้นรุ้งที่ 10 องศาใต้ – 15 องศาเหนือ แหล่งผลิตยางที่สำคัญอยู่ระหว่างเส้นรุ้งที่ 6 องศาเหนือและใต้ อายุราก 5 ปี ใบเขตร้อนชื้นระหว่างเส้นรุ้งที่ 28 องศาเหนือและใต้ ยางพาราสามารถเจริญเติบโตได้ดี (กรมส่งเสริมการเกษตร, 2533)

- ความสูงของพื้นที่ปลูกจากระดับน้ำทะเล โดยพื้นที่ที่เหมาะสมต่อการปลูกยางพาราควรสูงจากระดับน้ำทะเลไม่เกิน 600 เมตร และความสูงที่เพิ่มขึ้นในแต่ละ 100 เมตร อุณหภูมิจะลดลง 0.5 องศาเซลเซียส ทำให้ต้นยางพารามีการเจริญเติบโตช้า และมีลักษณะเป็นพื้นที่ราบที่มีความลาดชันน้อยกว่า 35 องศาเซลเซียส โดยการปลูกยางพาราในพื้นที่ที่มีความชันระหว่าง 9 -11 องศาทำให้ต้นยางพารา มีอัตราการเจริญเติบโตของลำต้นสูงสุด (เสานี้ย ก่อวุฒิกุลรังสี, 2546)

- ดิน ลักษณะดินที่เหมาะสมต่อการปลูกยางพารา ควรเป็นดินร่วน ดินร่วนเหนียวปนทรายและดินเหนียว มีความอุดมสมบูรณ์ปานกลาง ความเป็นกรดด่าง (pH) อยู่ระหว่าง 4.0 - 5.5 มีการระบายน้ำและการถ่ายเทอากาศดี รวมทั้งมีระดับน้ำใต้ดินต่ำกว่า 1 เมตร โดยไม่มีชั้นหินแข็งหรือดินดานที่เป็นอุปสรรคต่อการเจริญเติบโตของยางพารา

- ฝน เป็นปัจจัยที่สำคัญที่ส่งผลต่อการเจริญเติบโต และการให้ผลผลิตของต้นยาง ซึ่งมีความต้องการปริมาณน้ำฝนที่เหมาะสมเฉลี่ยไม่น้อยกว่า 2,000 มิลลิเมตรต่อปี มีจำนวนวันฝนตกเฉลี่ย 100-150 วันต่อปี และมีช่วงแล้งไม่เกิน 4 เดือน (Watson, 1989) ต้นยางมีการปรับตัวในช่วงฤดูแล้ง ในบางบริเวณ พบว่าต้นยางสามารถใช้น้ำที่เหลืออยู่จากช่วงฤดูฝนได้ (Moraes, 1977) ในประเทศไทยซึ่งมีช่วงแล้งนานกว่า 6 เดือน พบว่า ต้นยางถูกยับยั้งการเจริญเติบโตถึง 15 เปอร์เซ็นต์ (Saengruksowong et al., 1983) นอกจากนี้ สถาบันวิจัยยาง กรมวิชาการเกษตร ได้พิจารณาปัจจัยด้านภูมิอากาศ โดยเฉพาะด้านอุทกศาสตร์เป็นเกณฑ์เบื้องต้นแล้วนำไปประเมินความเหมาะสมของพื้นที่ร่วมกับแผนที่ความเหมาะสมของดิน นำมาจัดแบ่งเขตภูมิอากาศสำหรับยางพาราตามสภาพภูมิอากาศของประเทศไทย 6 เขต คือ เขตที่ 1 ปริมาณน้ำฝนต่ำกว่า 1,000 มิลลิเมตรต่อปี เป็นพื้นที่ที่ไม่แนะนำให้ปลูกยางพารา เขตที่ 2 ปริมาณน้ำฝนอยู่ระหว่าง 1,000-1,200 มิลลิเมตรต่อปี มีช่วงฤดูแล้งประมาณ 5 เดือน มีศักยภาพในการปลูกยางพาราต่ำ เขตที่ 3 ปริมาณน้ำฝนอยู่ระหว่าง 1,200-1,400 มิลลิเมตรต่อปี มีช่วงฤดูแล้งประมาณ 3-4 เดือน เป็นเขตที่เหมาะสมปานกลางสำหรับยางพารา การกระจายตัวของน้ำฝน เป็นปัจจัยสำคัญต่อผลผลิตยาง เขตที่ 4 เป็นเขตที่เหมาะสมมากสำหรับยางพารา มีปริมาณน้ำฝนอยู่ระหว่าง 1,500-2,200 มิลลิเมตรต่อปี มีช่วงฤดูแล้งประมาณ 1-3 เดือน ปัจจัยด้านอุทกศาสตร์ไม่เป็นปัจจัยจำกัด เขตที่ 5 เป็นเขตที่มีปริมาณน้ำฝนสูงมาก ปริมาณน้ำฝนอยู่ระหว่าง 2,300-3,000 มิลลิเมตรต่อปี ปริมาณน้ำฝนเป็นปัจจัยสำคัญที่เป็นปัจจัยจำกัดต่อการเก็บเกี่ยวผลผลิตยาง เขตที่ 6 เป็นเขตที่มีปริมาณน้ำฝนสูงมากเกินไป จนเป็นปัจจัยจำกัดที่รุนแรงสำหรับยางพาราทั้งในด้านโรคและการเก็บเกี่ยวผลผลิต

- ความชื้นสัมพัทธ์ของอากาศ เป็นปัจจัยที่มีความเกี่ยวข้องกับความสำเร็จในการปลูกยางพารา โดยยางพารา จะเจริญเติบโตและให้ผลผลิตสูงในพื้นที่มีความชื้นสัมพัทธ์ของอากาศอยู่ระหว่าง 65-90 เปอร์เซ็นต์ ต้น

ยางที่ปลูกใหม่หากได้รับการกระทำจากการมีแสงจัดหรือความชื้นในอากาศต่างเป็นเวลานานจะมีอัตราการตายสูงมาก (กรรมส่งเสริมการเกษตร, 2533)

- อุณหภูมิ อุณหภูมิที่เหมาะสมในการปลูกยางอยู่ระหว่าง 24-27 องศาเซลเซียส เป็นช่วงที่เหมาะสมที่สุดในการปลูกยาง หากอุณหภูมิต่ำกว่า 15 องศาเซลเซียส จะทำให้ต้นยางพาราซังกการเจริญเติบโต นอกจากนี้ อุณหภูมิที่สูงเกิน 35 องศาเซลเซียส มีผลให้ปากใบของใบยางพาราปิด ซึ่งทำให้อัตราการสังเคราะห์แสงของใบยางพาราลดลง (Rao et al., 1990) ถ้าอุณหภูมิสูงกว่า 37 องศาเซลเซียส ควบคู่กับการเกิดความเครียดของความชื้นในดิน (Soil Moisture Stress) ทำให้ใบเกิดความเสียหายและขอบใบไหม้ได้ รวมถึงอุณหภูมิสูงจะยับยั้งอัตราการไหลของน้ำยางและทำให้ผลผลิตของน้ำยางลดลง

2.6.2 การเกิดน้ำยาง

น้ำยาง เป็นของเหลวอยู่ในเซลล์ การไหลของน้ำยางอยู่ภายในเซลล์ท่อน้ำยางมีการเรียงตัวเป็นท่อยาวแต่ละท่อเชื่อมติดกันเป็นร่างแท้เป็น secondary phloem อยู่ในส่วนของเปลือกอ่อนใกล้เยื่อเจริญการเคลื่อนย้ายธาตุอาหารน้ำตาลและน้ำจากเซลล์ parenchyma และ sive tube ข้างเคียงเข้าสู่เซลล์ท่อน้ำยางผ่าน plasmalemma เข้าสู่กระบวนการสร้างน้ำยางซึ่งประสิทธิภาพในการสร้างน้ำยางขึ้นอยู่กับปริมาณน้ำตาลที่ได้จากการสังเคราะห์แสงพังงานน้ำและธาตุอาหารภายใต้สภาพแวดล้อมที่เหมาะสม (พิศมัย จันทุมานา, 2544) ต้นยางผลิตน้ำยางโดยนำเอาผลผลิตที่ได้จากการทำปฏิกริยาการสังเคราะห์แสง คือแป้งและน้ำตาล มาเป็นวัตถุดิบในการสร้างน้ำยางแป้งและน้ำตาลที่ได้จากการสังเคราะห์แสง นอกจากจะใช้เป็นวัตถุดิบในการสร้างน้ำยางแล้ว ยังถูกนำไปใช้ในกระบวนการอื่นเพื่อเสริมสร้างการเจริญเติบโตของต้นยาง และอีกส่วนหนึ่งถูกเก็บสะสมไว้ในรูปอาหารสำรองในกระบวนการสร้างน้ำยางต้องใช้พลังงานมาก 2.5 เท่าของการสร้างเนื้อเม้ม (Gohet and Chantuma, 1999) จากรายงานของ Silpi et al. (2004) พบว่า การกรีดยางมีผลทำให้การสะสมcarbohydrateเพิ่มขึ้น น้ำยางถือว่าเป็นผลผลิตสุดท้าย น้ำยางเป็นส่วนของไซโตพลาสซึมที่อยู่ภายในท่อน้ำยางของต้นยาง มีลักษณะเป็นของเหลวสีขาวเหมือนน้ำนมหรือสีครีม อยู่ในสภาพเป็นสารแขวนลอย อัตราการสังเคราะห์แสงจะขึ้นลงตามเวลาโดยมีอัตราการสังเคราะห์แสงสูงสุดในเวลาประมาณ 18.00 น. แสดงว่าต้นยางสะสมวัตถุดิบและพลังงานเอาไว้ในเวลากลางวัน และเมื่อการสังเคราะห์แสงลดลงในตอนเย็น การสังเคราะห์น้ำยางจะเพิ่มขึ้นถึงจุดสูงสุด การใช้ระบบกรีดที่เหมาะสมจะทำให้กรีดยางได้นาน เพราะในการกรีดยางแต่ละครั้งมีการสังเคราะห์น้ำยางทดแทนขึ้นมาใหม่ภายในต้นยางจนมีสภาพปกติภายในเวลา 48-72 ชั่วโมง น้ำยางมีส่วนประกอบของเนื้อยางแห้ง 30 - 40 เปอร์เซ็นต์ น้ำ 55 - 60 เปอร์เซ็นต์และส่วนประกอบอื่น ได้แก่ โปรตีน ไขมัน เรซิน เถ้า และน้ำตาล ในอัตราร่วมที่ครบ 100 เปอร์เซ็นต์ นอกจากนี้ เสานิย์ ก่อวุฒิกุลรังสี (2546) รายงานว่า น้ำยางมีความหนาแน่น 0.975 - 0.980 กรัมต่อมิลลิลิตร ค่า pH ประมาณ 6.5 - 7.0 ส่วนความหนืด มีค่าไม่แน่นอนขึ้นอยู่กับปัจจัยต่างๆ เช่น พันธุ์ยาง อายุต้นยาง ระบบกรีด ถุงยาง และส่วนประกอบในน้ำยาง

2.6.3. ปัจจัยที่เกี่ยวข้องกับผลผลิต

ผลผลิตของน้ำยางขึ้นอยู่กับองค์ประกอบหลัก 2 ประการคือ 1) การไหลและการหยุดไหลของน้ำยาง และ 2) การสร้างน้ำยางในช่วงระหว่างการกรีดครั้งแรกและครั้งที่ 2 ต้นยางนำแป้งและน้ำตาลจากปฏิกริยาการสังเคราะห์แสงมาเป็นวัตถุดิบในการสร้างน้ำยาง เสริมสร้างการเจริญเติบโตของต้นยาง และเก็บสะสมไว้ในรูปอาหารสำรอง ดังนั้น จึงต้องมีกลไกในการจัดสรรที่ดีเพื่อให้เกิดความสมดุลในต้นยาง พิศมัย จันทุมานา (2544) ได้รายงานว่า ผลผลิตของน้ำยางขึ้นอยู่กับองค์ประกอบหลัก 2 ประการ คือ การไหลของน้ำยาง อัตราการไหลและ

ระยะเวลาการให้เหลืองน้ำยาง การให้เหลืองน้ำยางขึ้นอยู่กับความดันภายในท่ออาหารและห้องน้ำย่างมีความสัมพันธ์โดยตรงระหว่างแรงดันกับการให้เหลืองน้ำยางในระหว่างการกรีดยาง น้ำยางเป็นส่วนที่ได้รับจากเปลือกของต้นยาง โดยการกรีด ซึ่งน้ำยางที่ให้เหลอกามีปริมาณเนื้อยางสูง (50 – 60%) น้ำยางจะมีความหนืดสูงเป็นสาเหตุทำให้น้ำยางไหลช้าลงและแข็งตัวที่รอยกรีด ในขณะที่ปริมาณเนื้อยางน้อย น้ำยางไหลต่อเนื่องเป็นเวลานาน 2 – 3 ชั่วโมง จนก้นจะค่อยๆลดน้อยลง การหยุดให้เหลืองน้ำยาง เนื่องจากการจับตัวของน้ำยางเกิดการอุดตันบริเวณหน้ากรีด ยาง ซึ่งการอุดตันข้าหรือเริ่วขึ้นอยู่กับพันธุ์ยางและระบบกรีดยาง

2.6.4. ผลกระทบจากการเปลี่ยนแปลงสภาพภูมิอากาศ

จากแนวโน้มการเปลี่ยนแปลงของบรรยายกาศ และสภาพภูมิอากาศในอนาคตคาดว่าอุณหภูมิของโลกจะสูงขึ้นประมาณ 3-5 องศาเซลเซียส ปริมาณกําชาร์บอนไดออกไซด์ เพิ่มขึ้นเป็นสองเท่าของปัจจุบัน อุณหภูมิสูงสุดจะเพิ่มสูงขึ้น ถูกแล้งส่งผลกระทบต่อหลายพื้นที่มากขึ้น บางพื้นที่มีปริมาณและการกระจายตัวของน้ำฝนเพิ่มสูงขึ้น (อรรถเดช ศรีบุตร และพัชรี แสนจันทร์, 2545; Justus and Fletcher, 2006) มีผลต่อประสิทธิภาพการใช้น้ำของพืช ซึ่งปัจจัยดังกล่าวจะมีผลต่อการเปลี่ยนแปลงการตอบสนองทางสรีรวิทยาด้านต่างๆ ของต้นพืช เช่น การสั่นเคราะห์แสงและการหายใจ ส่งผลต่อผลิตภาพของพืช แนวทางที่ใช้ในการประเมินผลกระทบจากการเปลี่ยนแปลงดังกล่าว นิยมใช้การประยุกต์แบบจำลองของพืช กับแบบจำลองการเปลี่ยนแปลงของสภาพอากาศเข้าด้วยกัน เพื่อใช้ในการประเมินและประมาณการเปลี่ยนแปลงทั้งสองระบบ (Allen et al., 1996; Luo et al., 2005) สำหรับยางพารา ได้มีการรวบรวมข้อมูลสภาพอากาศและปัจจัยการผลิตอื่นเพื่อนำไปสู่การพัฒนาแบบจำลอง เพื่อคาดคะเนผลผลิตยางพาราในประเทศไทย สมเจตน์ ประทุมมนทร์ และคณะ (2545) ได้ศึกษาประเมินสภาพพื้นที่ปลูกที่เหมาะสมต่อการเจริญเติบโตของยางพารา ซึ่งใช้วิธีการประเมินศักยภาพที่ดินร่วมกับการสำรวจข้อมูลระยะใกล้ และระบบสารสนเทศทางภูมิศาสตร์ จำแนกความเหมาะสมของพื้นที่ในการปลูกยางพาราและแบ่งเขตพื้นที่ปลูกที่มีศักยภาพในภาคใต้ ภาคตะวันออก ภาคตะวันออกเฉียงเหนือ และภาคเหนือ ของประเทศไทยได้ นอกจากนี้ สมเจตน์ ประทุมมนทร์ และคณะ (2546) ได้ศึกษาเพิ่มเติมโดยการนำแบบจำลองการผลิตพืชวิเคราะห์ร่วมกับการประเมินสภาพพื้นที่ปลูกยางพารา ทำให้สามารถคาดคะเนผลผลิตน้ำยางได้ใกล้เคียงกับในสภาพแปลงปลูกจริง ซึ่งแบบจำลองได้ใช้ 2 ปัจจัยที่สำคัญคือ

2.6.4.1 ปัจจัยด้านพันธุกรรม ยางแต่ละพันธุ์ให้ผลผลิตแตกต่างกัน ตามความแตกต่างทางพันธุกรรม (Simmonds, 1989) พันธุ์ยางที่เจริญเติบโตดีหรือมีศักยภาพในการสั่นเคราะห์แสงสูง มีความสามารถในการสร้างมวลชีวภาพได้ดี เช่น พันธุ์ RRIT 251 ที่เจริญเติบโตได้เร็วกว่าพันธุ์ RRIM 600 ในระยะก่อนเปิดกรีด และมีผลผลิตน้ำยางเฉลี่ย 10 ปีกรีด สูงกว่าถึง 60% (สถาบันวิจัยยาง, 2546a) เช่นเดียวกับการสะสมน้ำหนักแห้งในลำต้น ซึ่งพบว่า พันธุ์ RRIT 402 สามารถให้ปริมาตรเนื้อไม้ในส่วนท่อนชุงสูงกว่าพันธุ์ RRIM 600 ถึง 97% (สถาบันวิจัยยาง, 2546b) นอกจากนี้ ลักษณะทางสัณฐานวิทยา เช่น ขนาดทรงพุ่ม รูปทรงฉัตร และการจัดเรียงตัวของใบมีผลต่อประสิทธิภาพในการรับแสงและการสั่นเคราะห์แสงของยางพารา (สุทธศน์ ด้านสกุลผล, 2543)

2.6.4.2 ปัจจัยด้านสภาพแวดล้อม เนื่องจากสภาพแวดล้อมมีผลต่อกระบวนการทางสรีรวิทยาด้วย อันได้แก่ การเปลี่ยนแปลงในรอบวันของสภาพอากาศ เช่น ปริมาณแสง อุณหภูมิ ความชื้นสัมพัทธ์ และแรงดูดซับไอ้น้ำในบรรยายกาศ ที่ส่งผลต่อการเปิดปากใบ ศักย์ของน้ำในใบ การแลกเปลี่ยนคาร์บอนไดออกไซด์ และการสั่นเคราะห์แสงในแต่ละวันของยางพารา (ศรีประชญ์ รัตนศรีราษฎร์ และคณะ, 2544; Watson, 1989) รวมถึงความชื้นในดิน ความเป็นกรดด่างของดิน รากต่ออาหารในดิน โครงสร้างและลักษณะเนื้อดิน ความลาดชัน และความ

สูงต่ำของพื้นที่หรือพิกัดตำแหน่งบนพื้นโลก นอกจากส่งผลต่อการเจริญเติบโตและผลผลิตแล้ว ยังมีผลต่อความอยู่รอดของยางพาราด้วย นอกจากนี้ พลวัตรของน้ำในดิน เช่น การไหลป่า การระบายน้ำ การระบายน้ำ ระดับน้ำที่เป็นประโยชน์ต่อพืช มีผลต่อการดูดซึมน้ำของต้นยางพาราแตกต่างกันในรอบปีอีกด้วย (Pratummintra et al, 2002) ซึ่งเกี่ยวข้องกับกลไกการไหลของน้ำในดินสู่ราก จากรากสู่ส่วนต่าง ๆ ของต้น และการคายน้ำจากใบสู่บรรยายกาศ (Thornley, 1996) จากปัจจัยต่าง ๆ เหล่านี้ จึงส่งผลต่อการสร้างพื้นที่ในการสร้างมวลของกิ่งก้าน ลำต้น ราก ปริมาณน้ำยาง และการสะสมธาตุอาหารที่จำเป็นในต้นยางพารา เพราะพืชที่มีประสิทธิภาพในการสังเคราะห์แสง มีการสะสมน้ำแห้งหรือสร้างมวลชีวภาพได้ดี รวมถึงกระบวนการเจริญเติบโตและพัฒนาการของพืช ที่ดีในระยะต่อมา (Asaeda et al., 2005)

ทิศทางและแนวโน้มของการเปลี่ยนแปลงสภาพภูมิอากาศในประเทศไทยในอนาคตจะเปลี่ยนแปลงไปในทางที่มีฝนมากขึ้นในเกือบทุกภาคของประเทศไทย ส่วนอุณหภูมิสูงสุดและต่ำสุดในประเทศไทยจะไม่เปลี่ยนแปลงไปจากเดิมมากนัก อาจเพิ่มสูงขึ้นหรือลดลงประมาณ 1-2 องศาเซลเซียส แต่การเปลี่ยนแปลงในเชิงของอุณหภูมิที่สำคัญประการหนึ่ง คือ จำนวนวันที่อากาศเย็นในรอบปีจะลดลงอย่างเห็นได้ชัดและในทางกลับกัน จำนวนวันที่อากาศร้อนในรอบปีก็จะเพิ่มขึ้นมาก เช่นกัน ซึ่งหากจะกล่าวในอีกนัยหนึ่ง ก็คือแม้ว่าประเทศไทยโดยเฉลี่ยแล้วจะมีร้อนขึ้นมากนักแต่จะร้อนนานขึ้นกว่าเดิมมาก โดยที่ดูร้อนจะยาวขึ้นกว่าเดิมอย่างเห็นได้ชัดและถูกหน่วยในประเทศไทยจะหดสั้นลง นอกจากนี้ จำนวน ชิดไดรสง (2553) พบร่วม 56 ปีที่ผ่านมาปริมาณฝนทั่วทั้งประเทศไทย มีค่าแปรปรวนกว่าค่าปกติ อีกประเด็นหนึ่งที่มีความสำคัญคือความแปรปรวนหรือความแตกต่างระหว่างฤดูต่อฤดูหรือในระหว่างปีต่อปีอาจเพิ่มสูงขึ้นด้วยเช่นกัน

สำหรับการนำแบบจำลองการผลิตพืช มาประยุกต์ใช้ในการผลิตยางพารานั้น หากนำข้อมูลพื้นฐานจากปัจจัยที่มีผลกระทบต่อการเจริญเติบโตเหล่านี้ และใช้สมการทางคณิตศาสตร์อธิบายการเปลี่ยนแปลงทางสิริวิทยา สามารถคาดคะเนการให้ผลผลิตยางได้โดยอาศัยสมการพื้นฐาน ตามวิธีของสมเจตน์ ประทุมมินทร์ และคณะ (2545); Pratummintra et al (2002) ได้สร้างแบบจำลอง 3 แบบ ดังนี้

1. แบบจำลองศักยภาพการผลิตจากพลังงานแสงและความร้อน (Radiation-thermal production potential simulation model; RPP) แบบจำลองนี้ ใช้หลักสมมติฐานจากสมการพื้นฐานความสมบูรณ์ของต้นพืช โดยไม่มีข้อจำกัดจากปัจจัยอื่น ๆ ที่ส่งผลกระทบต่อการเจริญเติบโต เช่น ความสมบูรณ์ของปริมาณธาตุอาหาร โรคแมลง หรือปริมาณน้ำ ในการประยุกต์ใช้สร้างเป็นแบบจำลอง RPP ของยางพาราถือว่า ต้นยางพารามีประสิทธิภาพในการสังเคราะห์แสงสูงสุด ผลผลิตหรือมวลชีวสังเคราะห์ที่สามารถสังเคราะห์ได้ในแต่ละวัน จะถูกนำมาเปรียบเทียบกับผลผลิตยางในสภาพแเปลงจริง ทั้งนี้ แบบจำลองจะมีความผันแปรจากสภาพภูมิอากาศ เป็นปัจจัยสำคัญในการวิเคราะห์ผลผลิต เช่น ปริมาณแสงแดดที่ต้นยางพาราได้รับในแต่ละวัน อัตราการดูดซึมน้ำ และเปลี่ยนควรบอนไดออกไซด์ในทรงฟุ่ม ซึ่งมีผลต่ออัตราการผลิตมวลชีวภาพสูงสุดของยางพารา (ศรีประชญ์ รัตนศรีราษฎร์คุณ และคณะ, 2544)

2. แบบจำลองศักยภาพการผลิตที่จำกัดน้ำ (Water limited production potential simulation model; WPP) แบบจำลองนี้ พัฒนาจากการนำแบบจำลอง RPP มาวิเคราะห์ร่วมกับข้อมูลความอุดมสมบูรณ์เชิงพื้นที่ปลูกที่เหมาะสมต่อการปลูกยางพารา โดยใช้หลักสมดุลของน้ำในดิน เป็นปัจจัยสำคัญในการพัฒนา สามารถคาดคะเนระดับความเป็นประโยชน์ของน้ำในดิน และการใช้น้ำของยางพาราในแต่ละช่วงของฤดูกาลได้ โดยอาศัยปัจจัยพื้นฐานจากอัตราการระเหย และคายน้ำทั้งในสภาพแเปลงจริงและการประเมินทางทฤษฎี ทำให้สามารถ

ประเมินค่าดัชนีพื้นที่ใบสูงสุดของต้นยางพารา และอัตราการสังเคราะห์แสงสูงสุดในรอบวันได้แม่นยำขึ้น จึงทำให้แบบจำลอง WPP สามารถประเมินผลผลิตยางพาราใกล้เคียงกับผลผลิตในแปลงจริงสูงขึ้น

3. แบบจำลองศักยภาพการให้ผลผลิตสูงสุด (Maximum production potentialsimulation model; MPP) จากผลการประเมินผลผลิตยางที่ได้จากแบบจำลอง RPP และ WPP พบร่วมกัน มีความแม่นยำในการเปรียบเทียบกับผลผลิตจริงในแปลงค่อนข้างสูง คือ $y_{RPP} = 1.525x - 242.66$ ($r^2 = 0.76$) และ $y_{WPP} = 1.495x - 560.18$ ($r^2 = 0.84$) ตามลำดับ อย่างไรก็ตาม เมื่อนำปัจจัยบางประการที่ส่งผลต่อการให้ผลผลิตยางพารามาวิเคราะห์เพิ่มเติม ได้แก่ ระบบกรีด และดัชนีจำนวนวันกรีดยางที่ต้องสูญเสียเนื่องจากวันฝนตก เนื่องจากจำนวนวันฝนตกมีผลต่อช่วงเวลาในการกรีดและการเก็บน้ำยาง ทำให้ผลผลิตน้ำยางรวมคลาดเคลื่อนได้ (Watson, 1989) ทำให้ได้ค่าการประเมินผลผลิตยาง และผลผลิตยางในแปลงจริงมีความแม่นยำสูงขึ้น คือ $y_{MPP} = 1.421x - 558.63$ ($r^2 = 0.90$) จึงแสดงให้เห็นว่า การใช้สมการพื้นฐานในการประเมินประสิทธิภาพการสังเคราะห์แสงและผลผลิตมวลรวมของพืช สามารถนำไปประเมินการให้ผลผลิตของยางพาราได้ อย่างไรก็ตาม การประเมินผลผลิตยางจากทั้ง 3 แบบจำลอง ให้มีความแม่นยำสูงขึ้น จำเป็นต้องมีการวิเคราะห์ปัจจัย ที่มีผลต่อการตอบสนองต่อผลผลิตยางพารา เพิ่มด้วย ซึ่งในปัจจุบัน การศึกษาแบบจำลองในยางพารา ยังคงเป็นการวิเคราะห์ปัจจัยสำคัญบางประการเท่านั้น เช่น สมดุลของน้ำในดิน รวมถึงระบบกรีดและจำนวนวันกรีด ทั้งที่ในสภาพปกติแล้ว ยางพาราจะได้รับผลกระทบจากปัจจัยอื่น ๆ ที่มีผลต่อการให้ผลผลิตน้ำยางและไม่ทั้งทางตรงและทางอ้อมด้วย ได้แก่ การจัดการในสวน การเข้ามาลายของโรคที่สำคัญทางชนิด เช่น โรคใบร่วงจากเชื้อ *Phytophthora*spp. โรคราแป้ง โรคเส้นดำ (สถาบันวิจัยยาง, 2544) รวมถึงอาการผิดปกติทางสรีรวิทยาที่เกี่ยวกับการให้ผลของน้ำยาง เช่น อาการหน้ายางแห้ง และเปลือกแห้ง (Nandris et al., 2004) ราตุอาหารที่จำเป็นต่อการสร้างเนื้อไม้ เช่น แคลเซียม รวมถึงปัจจัยทางสังคมที่อาจส่งผลต่อกระบวนการตัดสินใจและระบบการผลิต (จินตนา บางจัน และสุนทรี ยิ่งชัวลย์, 2544; Somboonsuke et al., 2002) ซึ่งจำเป็นต้องศึกษาหรือพัฒนาให้ครอบคลุมเพิ่มขึ้น เพื่อให้ได้แบบจำลองที่สามารถคาดคะเนผลผลิตน้ำยาง ได้ใกล้เคียงกับสภาพจริงมากที่สุด และนำไปสู่การพัฒนาเป็นแบบจำลองการผลิตยางพาราที่มีประสิทธิภาพในอนาคตได้ (ระวี เจียรวิภา, 2550)

การคำนวณแบบจำลองทั้ง 3 แบบ ใช้ตัวแปรเป็น input ใน การคำนวณแบบจำลองที่เป็นปัจจัยสำคัญคือ แนวโน้มของสภาพอากาศที่จำเพาะกับพื้นที่นั้นๆ ที่เข้ามามีบทบาทสำคัญโดยเฉพาะอย่างยิ่งสภาพภูมิอากาศในอนาคตที่มีการเปลี่ยนแปลงเนื่องจากภาวะโลกร้อน ซึ่งได้แก่ 1) อุณหภูมิ อุณหภูมิเหมาะสมกับการปลูกยางพาราทั่วไปควรอยู่ระดับ $18-35^{\circ}\text{C}$ อุณหภูมิที่สูงหรือต่ำสูงเกินไป มีผลต่อความเจริญเติบโตของต้นยางพารา และอาจทำให้ต้นยางเสียหายได้ 2) ฝน เป็นปัจจัยตรงที่มีความสำคัญต่อการเจริญเติบโตของยางพารา นอกจากน้ำฝนจะช่วยละลายธาตุอาหารจากดิน ช่วยปรับระดับความเข้มข้นของสารละลายดินให้เหมาะสมที่รากยางพาราจะนำธาตุอาหารต่างๆ ไปใช้แล้ว น้ำยางเป็นส่วนประกอบที่สำคัญของเซลล์อีกด้วย

2.6.5 โรคที่เป็นปัจจัยสำคัญของยางพารา

โรคยางพาราที่สำคัญส่วนใหญ่เกิดจากเชื้อรา โดยการระบาดของโรคมีความสัมพันธ์กับสภาพภูมิอากาศทั้งปริมาณและการกระจายตัวของฝน ความชื้นสัมพัทธ์ และอุณหภูมิ รวมทั้งการปฏิบัติที่ไม่ถูกต้อง ซึ่งโรคที่เป็นปัจจัยสำคัญของยางพารา (สถาบันวิจัยยาง, 2551) มีดังนี้

2.6.5.1 โรคใบจุดที่เกิดจากเชื้อคอลเลโทตريคัม (*Collectotrichum leaf spot*) เกิดจากเชื้อรา *Collectotrichum gloeosporioides*(Penz.) Sacc. และ *Collectotrichum* sp. มีลักษณะอาการ คือ ใบยางอ่อน

ที่ถูกเชื้อร้าเข้าทำลาย ปลายใบจะบิดงอ เหี้ยวเหง้งและร่วงหล่นเหลือแต่ก้านใบ ในระยะใบเพสลาด ใบบางส่วนอาจบิดงอและพับจุดแพลสีน้ำตาล ขอบแพลสีเหลือง ขนาดประมาณ 1-2 มิลลิเมตร เมื่อใบย่างอายุมากขึ้น จุดเหล่านี้จะนูน เนื้อยื่นออกทางแพลงอาจทะลุเป็นรู ถ้าระบาดรุนแรงอาจพบแพลงบนก梗อ่อนหรือยอดอ่อน และทำให้เกิดอาการตายจากยอดได้ ส่วนต้นยางเล็กที่เจริญในพื้นที่ดินขาดความอุดมสมบูรณ์ เช่น ดินราย ดินด่าง หรือพื้นที่ที่การระบายน้ำไม่ดี พบรอยแพลงสีน้ำตาลบนใบ ตั้งแต่ขนาดเล็กจนถึงขนาดใหญ่ กลางแพลงมีสีน้ำตาลอ่อนขอบแพลงมีรอยหยักเป็นคลื่น ไม่สม่ำเสมอ มีสีน้ำตาลเข้มและมีวงสีเหลืองล้อมรอบรอยแพลง เนื้อยื่นออกทางรอยแพลงยุบตัวลงเป็นชั้นๆ อาการในขั้นรุนแรงใบจะเหลืองและร่วง บริเวณลำต้นที่มีสีเขียวบรอยแพลงช้ำสีน้ำตาล เริ่มจากรอยแพลงเป็นร่องลึกแล้วขยายใหญ่ขึ้น จนกระทั้งแพลงหลายๆ แพลงขยายมาชนกัน เกิดเป็นแพลงขนาดใหญ่ลุกลามไปครอบต้นทำให้ต้นยางตาย ระบาดรุนแรงกับยางที่แตกใบอ่อน ในช่วงที่มีฝนตกชุก ความชื้นสูงเชื้อร้าระบาดโดยน้ำฝน ลมและแมลง

2.6.5.2 โรคราแป้ง (Powdery mildew) เกิดจากเชื้อร้า *OidiumheveaeSteinm.* มีลักษณะอาการคือ เชื้อร้าเข้าทำลายใบอ่อน ทำให้ใบย่างบิดงอ เน่าด้ำ และร่วง ในระยะเพสลาดจะสังเกตเห็นกลุ่มของเส้นใยและสปอร์สีขาว-เทา ที่เชื้อร้าสร้างขึ้นบริเวณผิวใบ โดยเฉพาะผิวใบด้านล่าง เนื้อยื่นบริเวณที่เชื้อเจริญจะค่อยๆ เปลี่ยนจากสีเหลืองเป็นสีน้ำตาล รูปร่างไม่แน่นอนตามขนาดและขอบเขตของบริเวณที่เชื้อราเจริญอยู่ก่อน จุดแพลงนี้จะปรากฏบนใบจนกว่าใบย่อยจะหลุดร่วง หากเชื้อเข้าทำลายรุนแรงใบจะร่วงเกือบทดตัน ก梗แข็งบางส่วนแห้งตายถ้าเชื้อทำลายดอกจะทำให้หัดกรรวง เหลือแต่ก้านดอก ระบาดรุนแรงในช่วงยางผลลัพธ์ใหม่ มักแพร่ระบาดในสภาพอากาศกลางวันค่อนข้างร้อน กลางคืนอากาศเย็น มีความชื้นสูง มีหมอกในตอนเช้า หรือมีฝนตกปะปอด ในบางวันเชื้อแพร่ระบาดโดยลมและแมลง

2.6.5.3 โรคใบจุดก้างปลา (Corynespora leaf disease) เกิดจากเชื้อร้า *Corynesporacassiicola* (Burk. & Curt.) Wei. มีลักษณะอาการ คือใบใบที่พบริสุทธิ์แต่จุดแพลงลักษณะกลม หรือรูปร่างไม่แน่นอนทั้งขนาดใหญ่และขนาดเล็ก กลางแพลงมีสีน้ำตาลอ่อน ขอบแพลงสีน้ำตาลเข้ม และมีวงสีเหลืองล้อมรอบรอยแพลง แพลงอาจขยายลุกลามเข้าไปตามเส้นใบ ทำให้แพลงมีลักษณะคล้ายก้างปลา หากระบาดรุนแรงจะทำให้ใบอ่อนไหม้ แห้งเหี้ยว ใบร่วง เมื่อแตกยอดใหม่ก็จะถูกเชื้อเข้าทำลายและใบร่วงซ้ำอีก ทำให้ต้นยางชะงักการเจริญติดโถ เชื้อสามารถทำให้เกิดรอยแพลงสีดำบนก้านใบ ก梗แข็งและลำต้นที่เป็นสีเขียว มีลักษณะยาวเรียวยาวไปตามความยาวของลำต้น เนื้อยื่นออกทางแพลงบุ่มลง ถ้าสภาพอากาศเหมาะสมจะขยายขนาดและลุกลาม จนทำให้กึงหรือยอดที่เป็นโรคแห้งตาย เชื้อร้าจะแพร่ระบาดโดยลม และฝน โรคระบาดรุนแรงในสภาพอากาศร้อน และมีความชื้นสูง

2.6.5.4 โรคใบร่วงที่เกิดจากเชื้อร้าไฟ拓ปอโรรา (Phytophthora leaf fall) เกิดจากเชื้อร้า *PhytophthorabotryoseChee, P. Palmivora* (Butl.), *P. Nicotianae* Van Breda de Haan var. *Parasitica*(Dastur) Waterhouse มีลักษณะอาการเด่นชัดที่ก้านใบ โดยปรากฏรอยแพลงช้ำสีน้ำตาลเข้มถึงดำตามความยาวของก้านใบ แพลงบริเวณที่เป็นทางเข้าของเชื้อมีหยอดน้ำยางเล็กๆ เกาะติดอยู่ เมื่อนำใบย่างเป็นโคนมาสะบัดเบาๆ ใบย่อยจะหลุดออกจากก้านใบโดยง่าย ทำให้ใบร่วงทั้งที่ยังเขียวสดอยู่ เชื้ออาจเข้าทำลายปลายใบหรือขอบใบ เกิดแพลงสีน้ำตาล มีลักษณะช้ำน้ำข่ายติดต่อกันเป็นแพลงใหญ่ ในสภาพอากาศเหมาะสมยางพันธุ์อ่อนแอในช่วงรุ่งหมวด และผลผลิตลดลงอย่างชัดเจน เชื้อยังสามารถเข้าทำลายฝักยางได้ทุกรายละเอียด ทำให้ฝักเน่า ถ้าความชื้นในอากาศสูงจะพบเชื้อร้าสีขาวเจริญปกคลุมฝัก ฝักที่ถูกทำลายจะเน่าดำค้างอยู่บนต้น ไม่แตกและร่วงหล่นตามธรรมชาติกลายเป็นแหล่งเชื้อร้าสืบทอด การแพร่ระบาดเชื้อร้าแพร่ระบาดโดยลมและฝน ความรุนแรงของโรค

ขึ้นอยู่กับปริมาณน้ำฝน และจำนวนวันฝนตก เชื่อว่าต้องการน้ำเพื่อการขยายพันธุ์ จึงจะระบาดได้ต้องในสภาพอากาศเย็น ฝนตกชุก มีความชื้นสูงต่อเนื่องกันอย่างน้อย 4 วัน โดยที่มีแสงแดดน้อยกว่า 3 ชั่วโมงต่อวัน

2.6.5.5 โรคเส้นดำ (Black stripe) เกิดจากเชื้อรา *Phytophthora botryoseChee, P. palmivora* (Butl.) Butl. มีลักษณะอาการ คือ เหนือรอยกรีดมีลักษณะเป็นรอยช้ำ ต่อมากลายเป็นรอยบุ๋มสีดำหรือสีน้ำตาลตามแนวยาวของลำต้น เมื่อเอียนเปลือกบริเวณรอยบุ๋มสีดำจะเห็นลายเส้นดำบนเนื้อไม้ และอาจลุกลามลงใต้รอยกรีดถ้าอาการรุนแรง เปลือกบริเวณที่เป็นโรคปริเน่า มีน้ำยางไหล เปลือกเน่าหลุดออกมาน้ำเข้าทำลายของเชื้อไม้รุนแรง เปลือกใหม่จะเป็นปุ่มปม แพร่ระบาดโดยเชื้อบนผักและใบที่เป็นโรคถูกจะล้างโดยน้ำฝนลงมาที่หน้ากรีดพบรอบรุนแรงเมื่อกรีดยางติดต่อกันในฤดูฝนโดยไม่มีการป้องกันรักษาหน้ากรีด โดยเฉพาะเมื่อความชื้นสูงกว่า 90% หน้ากรีดจะเปียกอยู่ตลอดเวลา หมายเหตุการขยายพันธุ์ของเชื้อ

2.6.5.6 โรค根腐病 (White root disease) เกิดจากเชื้อรา *Rigidoporus lignosus* (Klotzsch) Imazeki มีลักษณะอาการ คือ เชื้อโรค根腐病สามารถเข้าทำลายต้นยางได้ทุกระยะการเจริญเติบโต ตั้งแต่อายุ 1 ปี ขึ้นไป เมื่อระบบ rak ทำลายจะแสดงอาการให้เห็นที่ทรงพุ่ม ซึ่งเป็นระยะที่รุนแรงและไม่สามารถรักษาได้ บริเวณรากที่ถูกเชื้อเข้าทำลายจะปรากฏกลุ่มเส้นใยสีขาวเจริญแตกสาขาปกคลุมและเกาะแน่นกับผิวราก เมื่อเส้นใยอายุมากขึ้นจะกล้ายเป็นเส้นกลมมูนสีเหลืองชี้ด เนื้อไม้ของรากที่เป็นโรคในระยะแรกจะแข็งกระด้างเป็นสีน้ำตาลชี้ด ในระยะรุนแรงจะกล้ายเป็นสีครีม ถ้าอยู่ในที่ชื้นและจะอ่อนนิ่ม dok เห็นมีลักษณะเป็นแผ่นคริ่งวงกลมแผ่นเดียวหรือซ้อนกันเป็นชั้นๆ ผิวด้านบนมีสีเหลืองส้ม โดยมีสีเข้มสีอ่อนเรียงสลับกันเป็นวง ผิวด้านล่างมีสีส้มแดงหรือสีน้ำตาล ขอบดอกเหตุมีสีขาว ระบาดรวดเร็วในช่วงฤดูฝนซึ่งมีฝนตกชุก ความชื้นสูง

จากปัจจัยดังกล่าวแสดงให้เห็นว่าสภาพภูมิอากาศมีความสำคัญต่อสรีรวิทยาของยาง รวมไปถึงการเกิดโรคที่ส่งผลกระทบต่อการให้ผลผลิตของยางพารา